

საქართველოს ტექნიკური უნივერსიტეტი

გ. ლაპარაკი

გ. ლაპარაკი

დალური ელექტრონიკა. განგარიშების საფუძვლები. დამხმარე სახელმძღვანელო.
თბილისი, 2008

დამხმარე სახელმძღვანელოში განხილულია თანამედროვე ელექტრონული მოწყობის
ლობების ელექტრული კვების წაროვები. გადმოცემულია კვების ბლოკების შესრულების
მეთოდები და განგარიშების საფუძვლები. აღწერილია თანამედროვე ელექტრულ ბაზაზე
შესრულებული აუდიო და ვიდეო აპარატების, პერსონალური კომპიუტერების და სხვა ტი-
კური კვების ბლოკების სქემოტექნიკა. დასკვნითი თავი მიძღვნილია უწყვეტი კვების წა-
როვების აგების საკითხების მიმართ.

დამხმარე სახელმძღვანელო განკუთვნილია ენერგეტიკისა და ტელეკომუნიკაციის ფა-
სულტების სტუდენტებისათვის.

პალური ელექტრონიკა.

განგარიშების საფუძვლები

თბილისი

2008

შპსაბალი

თანამედროვე ელექტრონული აპარატურის (აუდიო და ვიდეო რადიოელექტრონული აპარატურა, პერსონალური კომპიუტერები და სხვა) შემადგენლობაში შედის ძალური კვანძები და ბლოკები. პირველ რიგში მათ მიეკუთხება ელექტრული კვების ბლოკები. კვების ბლოკები წარმოადგენ მეორეული ელექტროკების წყაროებს (მემ), რომელიც მიუერთდებიან რა ელექტრული ენერგიის პირველ წყაროებს (გალვანური ელემენტი, აგუმულატორი, მხის ბატარეა, ცვლადი დენის სამრწველო ქსელი), გარდამნიან პირველადი კვების წყაროს ძაბვას. რის შედეგადაც მათ გამოსახვლებზე მიიღება ელექტრონული აპარატურის ნორმალური ფუნქციონირების უზრუნველყოფი ძაბვათა კომპლექტი.

მეცნ ჩაითვება პირველადი კვების წყაროსა და დატვირთვას შორის, რის გამოც მასზე ზემოქმედებას ახდენს როგორც პირველადი წყაროს, ისე დატვირთვის მახასიათებლების ცვალებადობასთან დაკავშირებული სხვადასხვა ფაქტორი. ამიტომ მექტ-ის შემადგენლობაში, საკუთრივ კვების წყაროს გარდა, როგორც წესი, შედის დამატებითი მოწყობილობები, რომელიც უზრუნველყოფებ მის ნორმალურ მუშაობას სხვადასხვა გარეგანი ზემოქმედების დროს.

არც თუ ისე დიდი ხნის წინ ელექტრონული აპარატურის კვების ბლოკების აგება ძირითადად ხდებოდა ტრადიციული სქემის მიხედვით: ძალური ტრანსფორმატორი-გამმართველი-უწყვეტი ქმედების (წრფივი) ძაბვის სტაბილიზატორი. ბოლო პერიოდში, რადიოჭრებრონული აპარატურის მინიატურიზაციის სფეროში მიღწეული პროგრესის შედეგად, ტრადიციული სქემის მიხედვით აგებული კვების ბლოკების ხევდრითი მასა, მოცულობა და მოხმარებული სიმძლავრე გაუმართლებლად დიდი აღმოჩნდა საკუთრივ ელექტრონული აპარატურის იგივე მაჩვენებლებთან შედარებით.

კვების ბლოკების მასის, გაბარიტული ზომებისა და ენერგომოხმარების შემცირების პრობლემის გადაჭრა შესაძლებელი გახდა იმპულსურ რეჟიმში მომუშავე კვების ბლოკების გამოყენებით. ასეთ კვების ბლოკებში გამოყენებული მარგულირებელი ელემენტების გასაღებისებურ რეჟიმში ჩაყვენება უზრუნველყოფს იმპულსური კვების ბლოკების მაღალი მარგი ქმედების კოფიციენტის მიღებას ($0,8...0,85$, ნაცვლად $0,4...0,6$ -ისა ტრადიციულ სქემებში). მეორეს მხრივ, იმპულსური კვების ბლოკების მარგულირებელი ელემენტის (ტრანზისტორის) მიერ გაბნეული სიმძლავრის შემცირების გამო, მცირდება მისი რადიატორის მასა, ხოლო სითბური რეჟიმის გაუმჯობესების შდეგად იზრდება მთლიანად მოწყობის მუშაობის საიმედოობა.

იმპულსური კვების ბლოკების ზომებისა და მასის შემცირება განპირობებულია აგრეთვე იმით, რომ სამრწველო ცვლადი დენის ქსელის სიხშირეზე მომუშავე ტრანსფორმატორის ნაცვლად მასში გამოყენებულია მაღალ სიხშირეზე (რამდენიმე

თუმცა კილოჰერცი) მომუშავე მცირე ზომის იმპულსური ტრანსფორმატორი. ასეთი სიხშირის დროს ადარაა საჭირო ფილტრებში დიდი ტევადობის ელექტროლიტური კონდენსატორების გამოყენება, რომელთაც მოცულობის მიხედვით მეორე ადგილი გაავათ (ძალური ტრანსფორმატორის შემდეგ) ტრადიციულ სქემებში.

მეორეული კვების წყაროები, მათი მუშაობის სპეციფიკიდან გამომდინარე, მიეკუთვნებიან ძალურ ელექტრონულ მოწყობილობათა ჯგუფს. ძალური ელექტრონიკა არის ელექტრონული ტექნიკის სწრაფად განვითარებადი მიმართულება. მისი უპირველესი მიზანია ელექტრონული აპარატურის კვების ბლოკების მასისა და გაბარიტული ზომების მინიმიზაცია.

1. მეორეული გლობალური კვების წყაროების აბინდის პრინციპები

1.1. მეორეული გლობალური კვების წყაროების კლასიფიკაცია

მეორეული კლასიფიკაციის წყაროების (მეტი) კლასიფიკაცია შეიძლება განხორციელდეს შემდგომ ნიშნების მიხედვით: მოქმედების პრინციპი, დანიშნულება, გამოსავალი ძაბვების არსების რაოდგომა, გამოყენებული პირველადი წყაროების სახეობა და სხვა.

მეტის კლასიფიკაციისათვის გამოყენებული პირველადი წყაროების სახეობის მიხედვით მათი დაყოფა შესაძლებელია ინგერტორულ და კონგრტორულ ჯგუფებად. ინკორტორული მეტ ახდენს კლასიფიკაციის წყაროების პირველადი წყაროების მატების როგორც სიდიდის, ისე სახის შეცვლას. ინგერტორულ მეტ-ს მიეკუთვნება გამმართველი, რომელიც ცვლადი დენის ქსელის ძაბვას გარდაქმნის მუდმივ ძაბვად. ამავე ჯგუფში შედის გარდამშნელი, რომელიც პირველადი ენერგიის წყაროს (მაგალითად აუმულატორი) მუდმივ ძაბვას გარდაქმნის დატეროვასათვის საჭირო მასასიათებლების მქონე ცვლად ძაბვად.

კონკრეტორული მეტ გამოიყენება ძაბვის მხოლოდ სიდიდის შესაცვლელად. მაგალითად, მუქმიერი ძაბვის კონკრეტორის შეიძლება მიგაკუთხოვთ მუდმივი ძაბვის ჩვეულებრივი კლასიფიკაციის სტაბილურობით, სოდო ცვლადი ძაბვის კონკრეტორს - ტრანსფორმატორი. აქვე უნდა აღინიშნოს, რომ კონკრეტორის შემაღებელობაში შესაძლებელია შედიოდეს ინგენტორი და, პირიქით, ინგენტორის შემაღებელობაში შესაძლებელია შედიოდეს კონკრეტორი.

მოქმედების პრინციპის მიხედვით მეტ-ები შეიძლება დაიყოს ორ ჯგუფად: ტრანსფორმატორიანი და უტრანსფორმატორო. ტრანსფორმატორიან მეტ-ში ცვლადი დენის ქსელის ძაბვა ტრანსფორმატორის საშუალებით შეიცვლის სიდიდეს, სოდო შემდეგ გამართება და დასტაბილურდება. უტრანსფორმატორო მეტ-ში, პირიქით, ქსელის ცვლადი ძაბვა თავადპირველად გაიმართება, ხოლო შემდეგ გარდაიქმნება მაღალი სიხშირის ცვლად ძაბვად. მოქმედების პრინციპითან გამომდინარე ასეთ მეტ-ებს შეიძლება ვუწოდოთ აგრეთვე მეტ-ები ტრანსფორმატორიანი და უტრანსფორმატორო შესაცვლელით. მისი გამო, რომ უტრანსფორმატორო მეტ-ში გარდამქმნელი იმპულსურ რეჟიმში მუშაობს, ამ სახის მეტ-ს იმპულსურ მეტ-საც უწოდებენ.

მეტის გამოსაცვლელზე მიღებულ ძაბვათა რაოდგომის მიხედვით, მათ დაყოფას ახდენდნენ ერთარხიან და მრავალარხიან მეტ-ებად. იმ შემთხვევაში, როდესაც მრავალარხიანი მეტის თითოეულ არხში ძაბვის სტაბილურიაცია ხდება ცალკე სტაბილიზატორით, საქმე გვაქმნს მრავალარხიან მეტ-თან ინდივიდუალური სტაბილიზაციით. მრავალარხიანი მეტის ყველა არხის გამოსავალი ძაბვის სტაბილიზაცია შეიძლება განხორციელდეს ერთი სტაბილიზატორის საშუალებით. ასეთ შემთხვევაში მას უწოდებენ მეტ-ს ჯგუფური სტაბილიზაციით.

მეტის გამოსაცვლელზე მიღებული სიმძლავრის მიხედვით მათ დაყოფას ახდენენ შემდეგ ჯგუფებად: მიკრო სიმძლავრის (1 ვტ-მდე), მცირე სიმძლავრის (1 ვტ-დან 100 ვტ-მდე), საშუალო სიმძლავრის (100 ვტ-დან 1კვტ-მდე) და დიდი სიმძლავრის (1 კვტ-ზე მეტი) მეტ-ებად.

1.2. მეტ-ების ძირითადი მახასიათებლები

მეტ-ების მახასიათებლები და პარამეტრები შეიძლება დაიყოს სამ ძირითად ჯგუფად: შესაცვლელის, გამოსაცვლელის და საექსპლუატაციო.

მეტ-ების შესაცვლელის ძირითად მახასიათებლების მიეკუთვნება:

- პირველადი კლასიფიკაციის წყაროს ძაბვის სიდიდე და სახეობა. მაგალითად, ცვლადი დენის ძალური ქსელი ან აკუმულატორი;
- მკვებავი ძაბვის არასტაბილობა $\delta_{\text{ა}} = \frac{\Delta U_{\text{ა}}}{U_{\text{ა}}}$;
- მკვებავი ძაბვის სიხშირე და მისი არასტაბილობა;
- ცვლადი ძაბვის წყაროს ფაზათა რიცხვი;
- მკვებავი ძაბვის პერსისის (პარმონიკათა) დასაშებები კოუფიციენტი.

მეტ-ის გამოსაცვლელის ძირითადი მახასიათებლებია:

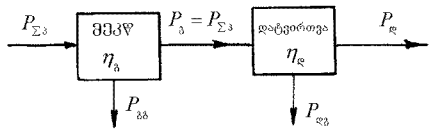
- გამოსავალი ძაბვების მნიშვნელობები;
- გამოსავალი ძაბვების არასტაბილობა $\delta_{\text{ა}} = \frac{\Delta U_{\text{ა}}}{U_{\text{ა}}}$;
- არხის დატეროზვის დენი ან გამოსავალი სიმძლავრე;
- შესავალ და გამოსავალ წრედებს შორის გლებერული (გალვანური) ისოლაციის არხებობა (კლასიფიკაციი გართვა).
- გადატერიზოფისგან ან გადამეტაბებისგან დაცვის არხებობა,

მეტ-ების საექსპლუატაციო მახასიათებლებია:

- მუშა ტემპერატურული დიაპაზონი;
- ფარდობითი სინესტის დასაშებები მნიშვნელობა;
- გარემოს წნევის ცვლილების დასაშებები დიაპაზონი;
- მექანიკური დატერიზვების დასაშებები სიდიდე;
- მეტ-ის მარგი ქმედების კოუფიციენტი (მქ);
- ხელდროითი სიმძლავრე;
- საიმედოობა.

მეტ-ების საექსპლუატაციო პარამეტრებიდან განსაკუთრებული ყურადღება ექვევა მძპ-ს, ხელდროით სიმძლავრესა და საიმედოობას.

შემთხვევაში გამოიყენოთ 1.1 სურათზე ნაჩვენები სქემა.



სურ. 1.1. დატვირთული მმპ-ის გამარტივებული სქემა

პირველადი კვების წყაროდან მმპ-ის შესასვლელს მიეწოდება სიმძლავრე. ამ სიმძლავრის ნაწილი P_{aa} გაიბნება მმპ-ში, ხოლო მეორე ნაწილი P_{δ} მიეწოდება დატვირთვას. მმპ-ის (გარდამქმნელის) მქმ η_{δ} შესაძლებელია განისაზღვროს ფორმულით:

$$\eta_{\delta} = \frac{P_{\delta}}{P_{\sum}} = \frac{P_{\delta}}{P_{\delta} + P_{\text{aa}}}. \quad (1.1)$$

დატვირთვისადმი გადაცემული სრული სიმძლავრე P_{\sum} მმპ-ის გამოსავალი სიმძლავრის P_{δ} ტოლია. ამ სიმძლავრის ნაწილი გაიბნება დატვირთვაში, ხოლო მეორე ნაწილი P_{ε} წარმოადგენს დატვირთვის სასარგებლო სიმძლავრეს. დატვირთვის მქმ შეიძლება განისაზღვროს ფორმულით:

$$\eta_{\varepsilon} = \frac{P_{\varepsilon}}{P_{\sum}} = \frac{P_{\varepsilon}}{P_{\varepsilon} + P_{\text{aa}}}. \quad (1.2)$$

დატვირთვასა და მმპ-ში (გარდამქმნელში) გაბნეული სიმძლავრები შესაძლებელია განვსაზღვროთ გამოსახულებიდან:

$$P_{\text{aa}} = P_{\varepsilon} \frac{1 - \eta_{\varepsilon}}{\eta_{\varepsilon}}, \quad P_{\text{aa}} = P_{\delta} \frac{1 - \eta_{\delta}}{\eta_{\delta} \eta_{\varepsilon}}. \quad (1.3)$$

კვების სისტემაში გაბნეული ჯამური სიმძლავრე

$$P_{\text{aa}} = P_{\text{aa}} + P_{\text{aa}} = P_{\varepsilon} \frac{1 - \eta_{\varepsilon} \eta_{\delta}}{\eta_{\varepsilon} \eta_{\delta}}. \quad (1.4)$$

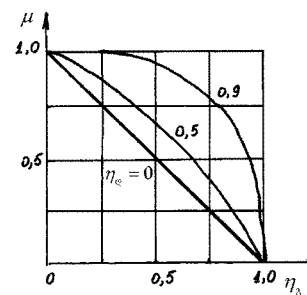
მმპ-ს ეფექტურობა შესაძლებელია განისაზღვროს მასში გაბნეული სიმძლავრის ფარდობით სისტემაში გაბნეულ ჯამურ სიმძლავრესთან

$$\mu = \frac{P_{\text{aa}}}{P_{\sum}} = \frac{1 - \eta_{\delta}}{1 - \eta_{\varepsilon} \eta_{\delta}}, \quad (1.5)$$

რაც საშუალებას იძლევა მიახლოებით შეფასდეს სისტემის საერთო ზომების ფარგლებში მმპ-ს ზომების ფარდობითი სიდიდე.

$\mu = f(\eta_{\delta})$ დამოკიდებულების გრაფიკი η_{δ} -ს სხვადასხვა მნიშვნელობის დროს მოცემულია 1.2 სურათზე.

$\eta_{\delta} = 0$ შესაბამისი წრფეში შეესაბამება ისეთი ტიპის დატვირთვას, რომელშიც სრული მოთხოვნილი სიმძლავრე თითქმის მთლიანად სითბური ენერგიის სახით გამოიყოფა (მაგალითად ეგმ). ასეთ შემთხვევაში, რაც უფრო მაღალია მმპ-ს ეფექტურობა, მით უფრო მცირება მისი მოცულობა სისტემის სრული მოცულობის ფარგლებში. თუ დატვირთვის მქმ $\eta_{\delta} = 0,75$, ხოლო მმპ-ში მქმ $\eta_{\delta} = 0,75$, მაშინ მმპ-ში გაბნეული სიმძლავრე შეადგენს საერთო გაბნეული სიმძლავრის დაახლოებით 57%-ს და მმპ-ს ზომები ვერ იქნება დატვირთვის ზომებზე ნაკლები, რადგან მმპ-ში ხდება მხოლოდ 7%-ით მეტი სიმძლავრის გაბნევა, ვიდრე დატვირთვაში.



სურ. 1.2 მმპ-ს ეფექტურობისა და მქმ-ის დამოკიდებულების გრაფიკი

უნდა აღინიშნოს, რომ მმპ-ში მქმ-ის 0,5-დან 0,7-მდე გაზრდა იშვებს მასში სითბური დანაკარგის თითქმის 3-ჯერ შემცირებას, თუ $\eta_{\delta} = 0$. ამის პროპორციულად მოხდება მმპ-ს მოცულობის შემცირებაც, რადგან გაბნეული სიმძლავრე P_{aa} გაგრილების ზედაპირული ფართის სიდიდით განისაზღვრება. ამავე დროს, მმპ-ში მქმ-ის შეზღუდვას განაპირობებს სხვა ფაქტორების გავლენაც. ასე, მაგალითად, უწყვეტი ქვედების (წრფივი) სტაბილიზატორების მქმ დამოკიდებულია გამოსავალი ძაბვისა და შესასვლებების მაქმედი ძაბვის ფარდობაზე

$$\eta = \frac{U_{\varepsilon}}{U_{\text{aa}}}, \quad (1.5)$$

ხოლო იმპულსური სტაბილიზატორების მქმ – შესასვლებები მოქმედი ძაბვის მინიმალური და მაქსიმალური მნიშვნელობების ფარდობაზე

$$\eta \approx \frac{0,78 U_{\text{min}}}{U_{\text{max}}}. \quad (1.6)$$

(1.6)-ის თანახმად, თუ $U_{\text{min}} = U_{\text{max}}$, მაშინ $\eta \approx 0,78$.

მექანიკური სიმძლავრე განისაზღვრება დატვირთვისადმი გადაცემული სიმძლავრისა და მექანიკური მოცულობის ფარდობით

$$P_{\text{მ}} = \frac{P_{\text{ა}}}{V}. \quad (1.7)$$

მექანიკური მოცულობა გამაგრილებული ზედაპირის ფართობის პროპორციულია

$$V = aS, \quad (1.8)$$

სადაც a - პროპორციულობის კოეფიციენტია;

S - გამაგრილებული ზედაპირის ფართობი.

გაგრილებისათვის საჭირო ზედაპირული ფართი მექანიკული სიმძლავრის $P_{\text{მ}}$ სიდიდესა და გაგრილების პირობებზეა დამოკიდებული

$$S = S_0 P_{\text{მ}}, \quad (1.9)$$

აქ $S_0 = 1$ ებრ სიმძლავრის განეცისათვის საჭირო ზედაპირის ფართობია.

მასაშადამე

$$P_{\text{მ}} = \frac{P_{\text{ა}}}{a S_0 P_{\text{ა}}} = \frac{1}{a S_0} \cdot \frac{\eta_{\text{ა}}}{1 - \eta_{\text{ა}}}. \quad (1.10)$$

თანამედროვე მექანიკის საუკეთესო ნიმუშების მქმ აღწევს 0,9-მდე, ხოლო ხელდრითი სიმძლავრე ~250 ებრ/დნგ-მდე.

კლებტროკების წყაროების გაზრდილი მოთხოვნები წაეყინებათ მუშაობის საიმედო-ობაზე მექანიკის მტკუნება შეიძლება გამოიწვიოს: სქემის ელემენტების კატასტროფულმა მტკუნებამ, არასწორმა მოთხოვნებმა შესავალი (მკეცავი) და გამოსავალი ძაბვების ხარისხის მიმართ, სქემის შერჩევისა და ცალკეული კვანძების დაპროცესტების დროს დაშვებულმა შეცდომებმა, მექანიკური უსარისხო დამზადებამ და არასწორმა ექსპლუატაციამ.

მექანიკური მუშაობისთვის საჭირო საფუძვლის ჩაქრა მისი დამუშავების ეტაპზე უნდა მოხდეს. ამისათვის აუცილებელია:

- მექანიკური სტრუქტურული სქემის გულდასმითი და დასაბუთებული შერჩევა;
- ელემენტთა ბაზის დასაბუთებული შერჩევა. ზღვრული რეჟიმებისა და პარამეტრების გათვალისწინება;
- სითბოარინების უზრუნველმყოფი კონსტრუქციის შექმნა. კონსტრუქციაში გაერთიანებულ ელემენტებთან და კვანძებთან თავისუფალი შეღწევის უზრუნველყოფა;
- კლიმატურ და მექანიკურ ზემოქმედებაზე მაკეტის ყოველმხრივი გამოცდის ჩატარება;

მექანიკური სტრუქტურული სქემის შერჩევა უნდა განხორციელდეს მუშაობის სიმძლოებაზე გაზრდილი მოთხოვნების მიხედვით. გათვალისწინებული უნდა იქნას მისი აღჭურვა დაცვის მოწყობილობებით, რომელიც არ მონაწილეობენ მექანიკური მუშა რეჟიმის

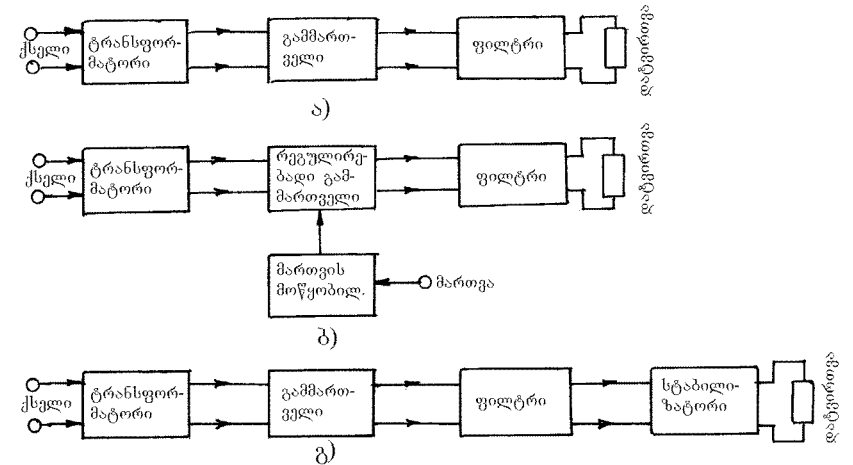
უზრუნველყოფაში, მაგრამ ემსახურებიან მუშაობის საიმედოობის გაზრდას. მათ ფუნქციაში შედის:

- ძალური ელემენტების – ტრანზისტორები, დიოდები, ტირისტორები და სხვა. დაცვა;
- მექანიკური მოცულება ჩართვისგან ან დატვირთვის სრული გათოშვისგან დაცვა;
- მკეცავი (ჰესავალი) ძაბვის შესაძლო ამაღლებისგან ან შემცირებისგან დაცვა;
- გარემოს ტემპერატურის მომატების დროს დაცვის განხორციელება.

1.3. მექანიკური სტრუქტურული სქემები

მექანიკური სტრუქტურა ელექტრული ენერგიის პირველადი წყაროს სახეობაზეა დამოკიდებული. პირველადი წყაროები შეიძლება დაგენერიროვთ თუ ჯგუფად; ცვლადი ძაბვის წყაროები და მუდმივი ძაბვის წყაროები. ცვლადი ძაბვის წყაროები ჩვეულებრივ გამოიმუშავებენ პარმონიული (სინუსოდენიური) ფორმის 50,400 ან 1000 ჸ�� სიხშირისა და 110; 127, 220 ან 380 ვ ცვლად ძაბვებს. მუდმივი ძაბვის წყაროდ გამოიყენება აკუმულატორის ბატარეა ან მზის ბატარეა. აკუმულატორის ბატარეები წევულებრივ იძლევიან 6,12,24 ან 48 ვ-ის ტოლი მუდმივი ძაბვის ფიქსირებულ სიდიდეებს.

1.3 სურათზე მოცემულია მექანიკური სტრუქტურული სქემები, როდესაც ელექტრული ენერგიის პირველად წყაროდ ცვლადი დენის ქსელია გამოყენებული. ამ სახის მექანიკური შეიძლება დაიყოს სამ ჯგუფად: არარევულირებადი, რევულირებადი და სტაბილიზებული.

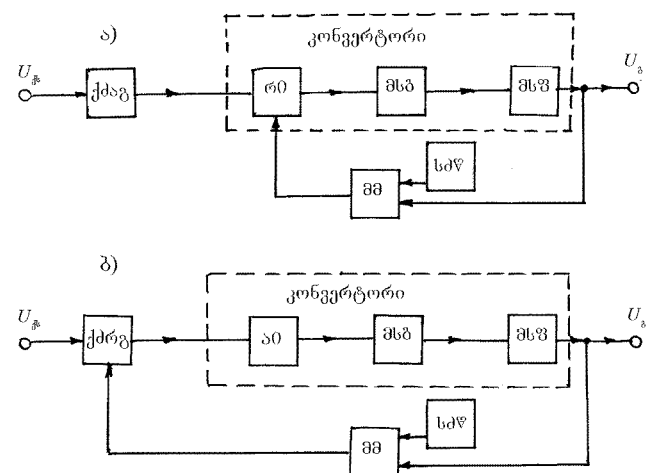


სურ. 1.3 ქსელის ტრანსფორმატორის მექანიკური სტრუქტურული სქემები: არარევულირებადი გამართველით (ა), რევულირებადი გამართველით (ბ), სტაბილიზატორით (გ)

არარეგულირებადი მეპტ-ს სტრუქტურულ სქემაში (სურ. 13, а) შედის: ქსელის ძალური ტრანსფორმატორი, არარეგულირებადი გამმართველი და პულსაციათა ფილტრი. ეს არის უმარტივესი სქემა და იგი გამოიყენება მხოლოდ ისეთი მეპტ-ების შესაქმნელად, რომელთაც არ წაკენაბათ გაზრდილი მოთხოვები ხელირით სიმძლავრის სიდიდისა და გამოსავალი ძაბვის ხარისხს უზრუნველყოფს.

როდესაც მეპტ-ს გამოსავალი ძაბვის სიდიდის შეცვლაა საჭირო, მაშინ სტრუქტურულ სქემაში აუცილებელია რეგულირებადი გამმართველის გამოყენება (სურ. 13, ბ). გამოსავალი ძაბვის სარეგულირებლად ძირითადად ტირისტორული გამმართველი გამოიყენება. ასეთი მეპტ-ს ნაკლია ის, რომ ქსელის ძაბვის შეცვლის დროს გამოსავალი ძაბვის პერიოდული შესწორება უნდა მოახდინოს ოპერატორმა. ეს ნაკლია აღმოფხვრილია მეპტ-ს სტაბილიზაციონი სტრუქტურულ სქემაში, რომელიც 13, გ სურათზეა მოცემული. ასეთი სქემის მიხედვით აწყობილი მეპტ-ს ნაკლია ხელირით სიმძლავრის დაბალი სიდიდე, რაც გამოწვეულია ქსელის ტრანსფორმატორისა და უწყვეტი ქმედების სტაბილიზაციონის დიდი გაბარიტული ზომებით.

მეპტ-ების მქპ-ისა და ხელირითი სიმძლავრის გაუმჯობესებისაკენ მისწოდებამ განაპირობა იმპულსური მეპტ-ების შექმნა. ასეთი მეპტ-ების სტრუქტურული სქემები 1.4 სურათზეა მოცემული



სურ. 14. იმპულსური მეპტ-ების სტრუქტურული სქემები: რეგულირებადი ინვერტორით (ა), ქსელის ძაბვის რეგულირებადი გამმართველით (ბ)

14, ა სურათზე ნაჩვენები სტრუქტურულ სქემაში გამოყენებულია ქსელის ცვლადი ძაბვის არარეგულირებადი გამმართველი (ძმაბ) და გამართული ძაბვის კონვერტორი.

ინვერტორი შედგება მაღალ სიხშირეზე (20...100 ჰეც) მომუშვევე რეგულირებადი ინვერტორისაგან (რი), მაღალი სიხშირის გამმართველისაგან (მბბ) და მაღალი სიხშირის ფილტრისაგან (მსც). გამოსავალი ძაბვის სტაბილიზაციას ანხორციელებს უკუკავშირის წრედში ჩართული მართვის მოწყობილობა (მმ).

მართვის მოწყობილობა ძაბვების მეპტ-ს გამოსავალი ძაბვის შედარებას საყრდენი ძაბვის წყაროს (სტაბილური ძაბვის წყარო) ძაბვასთან. ამ ძაბვათა სხვაობა, რომელისაც გაუთანხმოების ძაბვას უწოდება, გამოიყენება რი-ის სიხშირის სარეგულირებლად ($f = \text{var}$) ან იმპულსთა სიმებრის სარეგულირებლად უცვლელი სიხშირის დროს.

14, ბ სურათზე ნაჩვენები სტრუქტურულ სქემაში გამოყენებულია ქსელის ძაბვის რეგულირებადი გამმართველი (ძმბბ) და არარეგულირებადი ინვერტორი (ბი). ამ სქემის სხვა კვანძების ფუნქცია რჩება იგივე, როგორიც ეს იყო სურათზე სქემაში. გამოსავალი ძაბვის სტაბილიზაციას ასეთ სქემაში უზრუნველყოფს ძმრბ, რომელიც ა-0-ს აწყდის უკუკავშირის წრედში ჩართული მართვის მოწყობილობით ნაკარანაცეცებების გაბარიტული ძაბვებით.

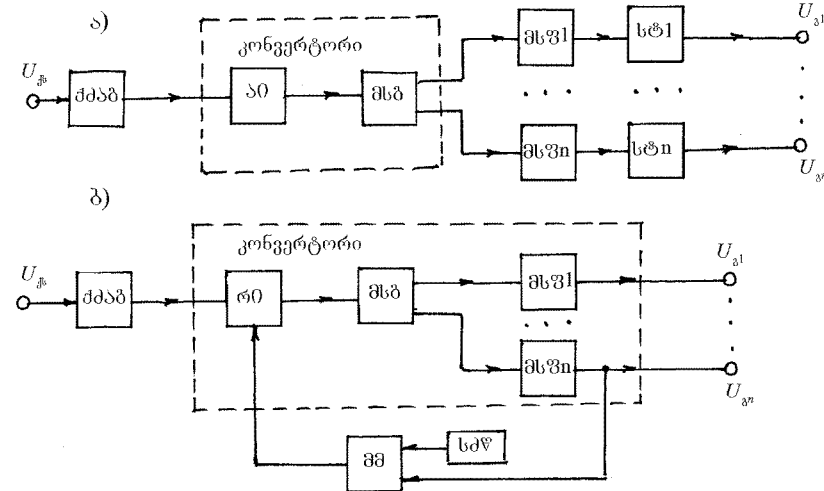
14, ა სურათზე წარმოდგენილი სტრუქტურული სქემის მიხედვით აწყობილი მეპტ-ზე ინვერტორის გაანგარიშება უნდა მოხდეს ქსელის ძაბვის (220 ვ/380 ვ) გამართვის შედეგად მიღებული ძაბვის შესაბამისად, რომელიც ერთფაზა ქსელის შემთხვევაში დაბალოებით 300 ვ-ის ტოლია, ხოლო სამფაზა ქსელის შემთხვევაში დაბალოებით - 530 ვ. გარდა ამისა, რი-ს სიხშირის ან იმპულსთა სიმებრის ცვლაბალობა იწვევს გამოსავალი ძაბვის ფილტრაციის ხარისხის გაუარესებას. ამის გამო, იზრდება მსგავს გაბარიტული ზომები, რადგან ფილტრის კლემენტთა პარამეტრების განვითარება, დატვირთვის დენის უწყვეტობის შესანარჩუნებლად, უნდა მოხდეს იმპულსთა შეცვების კოეფიციენტის მინიმალური სიდიდის γ_{\min} მიხედვით.

14, ა სურათზე წარმოდგენილი სქემის დირსებაა ის, რომ აქ შეთავსებულია გამართული ძაბვის გარდაქნა და გამოსავალი ძაბვის სტაბილიზაცია. ამთ მარტივდება მართვის მოწყობილობის (მმ) სქემა ძალური მართვადი გასაღებების რაოდენობის შემცირების ხარჯზე. გარდა ამისა, პაუზის არსებობის შედეგად გამოირიცხება ინვერტორის გასაღებებში გამჭვილებული დენების აღმართვის შესაძლებლობა.

14, ბ სურათზე ნაჩვენები სტრუქტურული სქემის ლირსებაა ინვენტორის შემცირებულ ძაბვაზე მუშაობის შესაძლებლობა (130... 200 ვ), რაც მნიშვნელოვნად ამსუბუქებს ინვერტორში გამოყენებული ტრანზისტორული გასაღებების მუშა რეაიმს. გარდა ამისა, სქემას შეცვლია იმუშაოს იმპულსთა შეცვების კოეფიციენტის მაქსიმალური სიდიდის γ_{\max} პირობებში, როთაც უმჯობესდება გამოსავალი ძაბვის ფილტრაციის პირობები და მცირდება ფილტრის გაბარიტული ზომები.

15 სურათზე მოცემულია მრავალარხისი მეპტ-ების სტრუქტურული სქემები. ორივე სქემაში გამოყენებულია ქსელის ძაბვის არარეგულირებადი გამმართველი (ძმაბ).

15. ა სურათზე ნაჩვენებ სტრუქტურულ სქემაში გამოყენებულია არარეგულირებადი ინვერტორი (აი) და არხების ინდიკირებულერი სტაბილიზატორები (სტ. სტ). ასეთი სქემა გამოიყენება გამოსავალი არხების მცირე რაოდენობის დროს. დიდი რაოდენობის არხების შემთხვევაში ეს სქემა არაეკონიმიურია.



სურ. 15. მრავალმხრიანი მეპუ-ს სტრუქტურული სქემები: ინდიკირებულერი სტაბილიზაციით (ა), ჯგუფური სტაბილიზაციით (ბ)

15. ბ სურათზე ნაჩვენები სქემა შემაობს გამოსავალი ძაბვების ჯგუფური სტაბილიზაციის პრინციპზე. ამ მიზნით სქემაში გამოყენებულია რეგულირებადი ინვერტორი (რ0), რომლის მართვას ანხორციელებს ერთ-ერთი არხის ძაბვა. სხვა არხების გამოსავალი ძაბვების სტაბილიზაცია ამ შემოხვევაში უარესდება უკუკავშირის არარეგულირებადი გამო. ამ არხებში ძაბვის სტაბილიზაციის ხარისხის გასაუმჯობესებლად შეიძლება გამოყენებულ იქნეს ინდიკირებულერი სტაბილიზატორები ისევ, როგორც ეს 15. ა სურათზე ნაჩვენები.

2. მაბპის სტაბილიზატორები და მათი შესრულების სტაბილიზირება

2.1 სტაბილიზატორების სახეები, მასასიათებლები და პარამეტრები

ძაბვის სტაბილიზატორი ეწოდება მოწყობილობას, რომელიც უზრუნველყოფს დაბეჭდოვაზე ძაბვის უცვლელი სიდიდის შენარჩუნებას (განსაზღვრული სიზუსტი). დაბეჭდოვაზე ძაბვის ცვლილება შეიძლება გამოწვეული იყოს სხვადასხვა მიზეზით. პირველადი კვების წყაროს ძაბვის ცვლილებით, დაბეჭდოვის ცვლილებით, გარემო სივრცის ტემპერატურის ცვლილებით და სხვა.

მოქმედების პრინციპის მიხედვით ერთმანეთისგან უნდა განვასხვაოთ პარამეტრული და კომპენსაციური სტაბილიზატორები. თავის მხრივ, პარამეტრული სტაბილიზატორები შესაძლებელია იყოს ერთკასადანი, მრავალკასადანი და ბოლური. კომპენსაციური სტაბილიზატორები შესაძლებელია იყოს უწყვეტი და იმპულსური რეგულირებით, როგორც მიმღერობითი, ისე პარალელური ტიპის.

პარამეტრული სტაბილიზაციის ძაბვის სტაბილიზაციას ახდენენ შემდეგი ნახვარებამტარული ხელსაწყოების პარამეტრების (წინაღობის) ცვლილების ხარჯზე: სტაბილიტონები, სტაბისტორები, ტრანზისტორები და სხვა.

კომპენსაციური სტაბილიზატორები წარმოადგენენ დატვირთვაზე ძაბვის მარეგულირებელ შეკრულ სისტემებს. ასეთი სტაბილიზატორების გამოსავალი ძაბვა იმ სტაბილიური საყრდენი ძაბვის ტოლი ან პროპორციულია, რომელიც მიიღება ერთ-ერთი ტიპის პარამეტრული სტაბილიზატორის საშუალებით. კომპენსაციურ სტაბილიზატორში გამოიყენება მარეგულირებელი ელემენტი (ჩვეულებრივ ტრანზისტორი), რომელიც ჩაირთვება დატვირთვის მიმღერობით ან პარალელურად. მარეგულირებელი ელემენტი შესაძლებელია მუშაობდეს უწყვეტ ან გასაღებისგურ რეჟიმში. იმპულსურ სტაბილიზატორებში გამოიყენება მარეგულირებელი ელემენტის გასაღებისებური რეჟიმი. უწყვეტი ქვედვის (წრფივი) სტაბილიზატორებში მარეგულირებელი ელემენტი უწყვეტი (მაძლიერებელი) რეჟიმში მუშაობს.

გამოსავალი სიმძლავრის მიხედვით სტაბილიზატორები შეიძლება დაიყოს სამ ჯგუფად: მცირე სიმძლავრის (1 ვტ-მდე), საშუალო სიმძლავრის (1 ვტ-დან 250-მდე) და დიდი სიმძლავრის (250 ვტ-ზე მეტი). მცირე სიმძლავრის სტაბილიზატორები გამოიყენება გამხომ ტემპერატურის, ანალოგურ-ცოდნულ და ცოდნულ-ანალოგურ გარდამშემნებელებში. საშუალო სიმძლავრის სტაბილიზატორები გამოიყენება მცირე ეგზ-ისა და სხვადასხვა მცირე სიმძლავრის რადიოგლექტონული აპარატურის კვებისათვის. დიდი სიმძლავრის სტაბილიზატორები გამოიყენება ლაზერული დანადგარების, ელექტრონული მიკროსკოპის და სხვა კვებისათვის.

დატვირთვაზე ძაბვის უცვლელი შენარჩუნების სიზუსტის მიხედვით არსებობს პრეციზიული (ძაბვის ცვლილება არ აღმატება 0,005%-ს), ზუსტი (ძაბვის ცვლილება 0,1-

დან 0,005%-მდე) და დაბალი სიზუსტის (ძაბვის ცვლილება 1-დან 0,1-მდე). პრეციზიულ სტაბილიზატორებში ძაბვის უცვლელი სიდიდის მაღალი სიზუსტით შენარჩუნებისათვის გამოყენებულია სპეციალური მოწყობილობა, რომელიც გამორიცხავს გარემო სივრცის ტემპერატურის ცვლილების გავლენას (ორმოსტატები ან კრიოსტატები).

მაგვის სტაბილიზატორების აარამეტობი. აარამეტრების მიხედვით ხედება ძაბვის სტაბილიზატორების შესაბამის ხარისხის შეფასება და შერჩევა ელექტრონული აპარატურის მიერ კვების წყაროს მიმართ წაკიტებული მოთხოვნების შესაბამისად. ძაბვის სტაბილიზატორების ძირითადი საექსპლუატაციო პარამეტრებია: გამოსავალი ძაბვის ნორმალური მნიშვნელობა $U_{\text{a},\text{r}}$, შესასვლელზე მოქმედი ძაბვის მინიმალური U_{min} და მაქსიმალური U_{max} მნიშვნელობები, დატვირთვის დენის ცვალებადობის დიაპაზონი $U_{\text{e,min}}$ და $U_{\text{e,max}}$, მარგი ქმედების კოეფიციენტი (მქ3) η_{e} , ძაბვის არასტაბილობის კოეფიციენტი K_{st} და დენის არასტაბილობის კოეფიციენტი K_{v} , ჰულსაციის გასწორების (გაგლუვების) კოეფიციენტი K_{a} და სწრაფებება.

საექსპლუატაციო პარამეტრების გარდა, სტაბილიზატორების დაპროტექტების დროს გამოიყენება მათი საანგარიშო პარამეტრები. ეს პარამეტრებია: გამოსასვლელის დიფერენციალური წინაღობა r_{d} , ძაბვის ტემპერატურული კოეფიციენტი (ძტ), ხმაურის ძაბვა U_{v} , გამოსავალი ძაბვის დროითი დრეფი Δu_{v} .

სტაბილიზაციის ნორმალური ძაბვა $U_{\text{a,r}}$ - ესაა სტაბილიზატორის გამოსავალი ძაბვა მისი ნორმალური პირობებში ექსპლუატაციის დროს (შესავალი ძაბვის განსაზღვრული მნიშვნელობა, დატვირთვის დენის მოცემული სიდიდე, გარემო სივრცის დატყორებული ტემპერატურა). თუ სტაბილიზატორი გამოსავალი ძაბვის რეგულირების საშუალებას იძლევა, მაშინ უნდა მიეთითოს გამოსავალი ძაბვის რეგულირების (ცვლილების) შესაძლო დიაპაზონი U_{min} და U_{max} .

შესავალი ძაბვის u_{a} ცვლილების დიაპაზონი საშუალებას იძლევა დადგინდეს სტაბილიზატორის შესავალი ძაბვის მაქსიმალური და მინიმალური მნიშვნელობები, რომლის დროსაც შენარჩუნებულია გამოსავალი ძაბვის სტაბილობა (დამაქმაყოფილებელი სიზუსტით).

დატვირთვის დენის I_{e} ცვლილების დიაპაზონი განსაზღვრავს დატვირთვის დენის ცვლილების საზღვრებს, რომლის დროსაც შენარჩუნებულია სტაბილიზატორის გამოსავალი ძაბვის სტაბილობა (დამაქმაყოფილებელი სიზუსტით).

სტაბილიზატორის მქ3 - ესაა სტაბილიზატორის მიერ დატვირთვისადმი გადაცემული სიმძლავრის შეფარდება კვების პირველადი წყაროდან მოთხოვნილ სრულ სიმძლავრესთან P :

$$\eta_{\text{e}} = \frac{P_{\text{e}}}{P}.$$

გამოსავალი ძაბვის არასტაბილობის კოეფიციენტი K_{st} - ესაა გამოსავალი ძაბვის ფარდობითი ცვლილების $\Delta U_{\text{a}} / U_{\text{a}}$ შეფარდება ამ ცვლილების გამომწვევი შესავალი ძაბვის ცვლილებასთან ΔU_{a} :

$$K_{\text{st}} = \Delta U_{\text{a}} / (U_{\text{a}} \Delta U_{\text{a}}), \% / 3.$$

გამოსავალი დენის არასტაბილობის კოეფიციენტი K_{v} - ესაა გამოსავალი ძაბვის ფარდობითი ცვლილების $\Delta U_{\text{v}} / U_{\text{v}}$ შეფარდება ამ ცვლილების გამომწვევი დატვირთვის დენის ფარდობით ცვლილებასთან $\Delta I_{\text{e}} / I_{\text{e}}$:

$$K_{\text{v}} = \Delta U_{\text{v}} / (U_{\text{v}} \Delta I_{\text{e}}).$$

ჰულსაციის გასწორების კოეფიციენტი K_{a} - ესაა შესავალი ძაბვის ჰულსაციის მაქსიმალური (ამპლიტუდური) მნიშვნელობის შეფარდება გამოსავალი ძაბვის ჰულსაციის მაქსიმალური (ამპლიტუდური) მნიშვნელობასთან:

$$K_{\text{a}} = U_{\text{a}} / U_{\text{a},\text{r}}.$$

სტაბილიზატორის სწრაფქედება განისაზღვრება დროის ინტერვალით, რომელიც ესაჭიროება გამოსავალ ძაბვას დამყარებულ მნიშვნელობამდე მისაღწევად შესავალი ძაბვის ან დატვირთვის დენის ნახტომისებური ცვლილების დროს.

სტაბილიზატორის გამოსასვლელის დიფერენციალური წინაღობა r_{d} - ესაა გამოსავალი ძაბვის დაბვის დაზღვრების Δu_{v} შეფარდება დატვირთვის დენის ნაზღდონი ΔI_{e} :

$$r_{\text{d}} = \Delta U_{\text{v}} / \Delta I_{\text{e}}$$

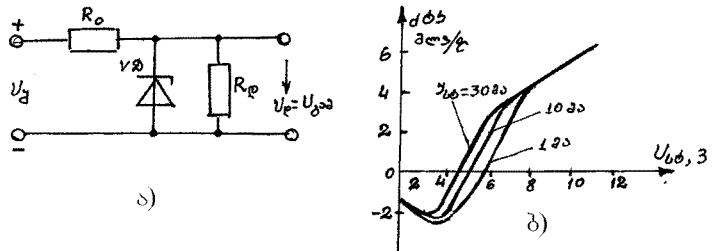
ძაბვის ტემპერატურული კოეფიციენტი - ესაა გამოსავალი ძაბვის ფარდობითი ცვლილების შეფარდება ამ ცვლილების გამომწვევი გარემო სივრცის ტემპერატურის ცვლილებასთან ΔT :

$$\delta T = \Delta U_{\text{v}} / (\Delta T U_{\text{v}}), \% / ^{\circ}\text{C}.$$

2. ძაბვის პარამეტრული სტაბილიზატორები

ძაბვის პარამეტრული სტაბილიზატორის ძირითადი მუშა ელემენტია სტაბილიტორი ან სტაბისტორი. ძაბვის სტაბილიზაციის მიზნით გამოიყენებულია სტაბილიტორის ვოლტ-ამპერული მახასიათებლის უკუტო ან სტაბისტორის ვოლტ-ამპერული მახასიათებლის პირდაპირი შტო.

სტაბილიტრონისათვის მუშა რეჟიმს კლექტორნული ზგავური გარღვევის რეჟიმი წარმოადგენს, რომლის დროსაც სტაბილიტრონის დენის ფართო დიაპაზონში ცვლილების დროს მასზე არსებული ძაბვის გარდნა უმნიშვნელოდ იცვლება. გარღვევის რეჟიმში სტაბილიტრონში გამავალი დენის შეზღუდვის მიზნით მის მიმღვრობით ჩაირთვება დენის შემცნებით წინაღობა. სტაბილიტრონის ჩართვის ტიპური სქემა ნაჩვენებია 2.1 სურათზე.



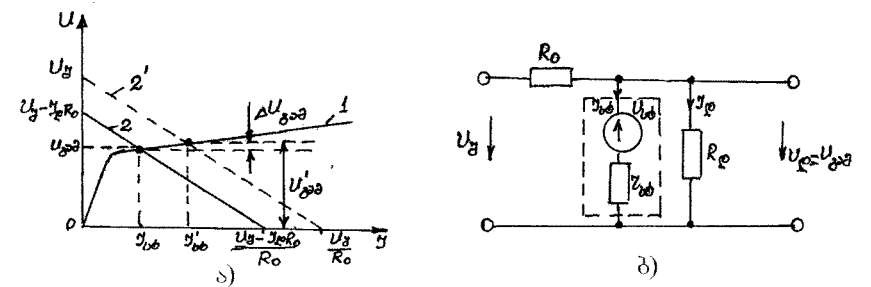
სურ. 2.1. სტაბილიტრონის ჩართვის ტიპური სქემა (ა), სტაბილიტრონის ძრავის დამოკიდებულება სტაბილიტრონის დენისა და ძაბვაზე

სტაბილიზაციის ძრავის დამოკიდებულია როგორც სტაბილიტრონში გამავალი დენის სიდიდეზე, ისე სტაბილიზაციის ძაბვაზე. ამ დამოკიდებულების სასიათო ნაჩვენებია 2.1, ბ სურათზე, საიდნაც ჩანს, რომ სტაბილიზაციის ძაბვის მცირე სიდიდეების დროს (5 გ-ზე ნაკლები) ძრავი უარყოფითი ნიშნისა და დაახლოებით 10 მა დენის დროს შეადგენს - 2,1 მგ/°C-ს. 6 გ-ზე მეტი სიდიდის სტაბილიზაციის ძაბვის დროს ძრავი დადგებითი ნიშნისა და $U_{\text{z}} = 10$ გ-ის დროს იგი უტოლდება 6 მგ/°C-ს. სტაბილიტრონის დენის სათანადო შერჩევის შედეგად შესაძლებელია მიღწეული იქნეს ძრავის ნულოვანი ნიშვნებით.

2.1. ა სურათზე ნაჩვენები ერთკასკადიანი პარამეტრული სტაბილიზატორის მოქმედების პრინციპი შემდეგში მდგრადარეობს. შესავალი ძაბვა U_{z} შემცნებით R_{z} წინაღობის საშუალებით მიეწოდება პარალელურად შეერთებულ ID სტაბილიტრონსა და R_{z} დატვირთვას. იმის გამო, რომ ძაბვა სტაბილიტრონზე უმნიშვნელოდ იცვლება, უმნიშვნელოდ უნდა შეიცვალოს დატვირთვაზე მოქმედი ძაბვაც. შესავალი ძაბვის შეცვლისას შესაბამისი ძაბვის ნაზრი $\pm \Delta U_{\text{z}}$ პრაქტიკულად მოლიანად R_{z} წინაღობას გადაეცემა და გამოიწვევს მასში გამავალი დენის შესაბამის ცვლილებას. დენის ნაზრი გაიფლის სტაბილიტრონში, ხოლო დატვირთვაში გამავალი დენი პრაქტიკული უცვლელი დარჩება.

სტაბილიზატორის პარამეტრების გაანგარიშება მოვახდნოთ გრაფო-ანალიზური მეთოდის გამოყენებით. 2.2 სურათზე ნაჩვენებია სტაბილიტრონის ვოლტ-ამპერული მასა-სიათებები (წირი 1) და დატვირთვის წრფე (წირი 2).

როდესაც დატვირთვა გათიშველია (ე. ი. $I_{\text{e}} = 0$), მაშინ დატვირთვის წრფე (2¹) ერთმანეთთან აერთებს $U = U_{\text{z}}$ და $I = \frac{U_{\text{z}}}{R_{\text{z}}}$ წერტილებს. დატვირთვის მიერთების შემდეგ ($I_{\text{e}} \neq 0$) ეს წრფე გადაადგილდება საწყისი მდებარეობის პარალელურად ქვემოთაკენ და დაიკავებს 2 წრფის მდებარეობას. დატვირთვის წრფე ამ შემთხვევაში შეაერთებს $U = U_{\text{z}} - I_{\text{e}} R_{\text{z}}$ და $I = (U_{\text{z}} - I_{\text{e}} R_{\text{z}})/R_{\text{z}}$ წერტილებს



სურ. 2.2. ერთქასკადიანი სტაბილიზატორის ვოლტ-ამპერული მასა-სიათებები (ა) და მისი ჩანაცვლების სქემა (ბ)

სტაბილიტრონის მუშა მდგრადარეობა განისაზღვრება სტაბილიტრონის ვოლტ-ამპერული მასა-სიათებებისა (1) და დატვირთვის წრფის (2) გადაკვეთის წერტილით. ამ წერტილის მიხედვით განისაზღვრება გამოსავალი ძაბვის U_{z} და სტაბილიტრონში გამავალი დენის ნიშვნელობები. თუ სტაბილიტრონს შეცვლით ძაბვის წყაროთი და მის მიმღვრობით შეერთებული წინაღობით, მაშინ 2.2, ბ სურათზე ნაჩვენები ჩანაცვლების სქემისთვის შეიძლება ჩაიწეროს შემდეგი განტოლებები:

$$\begin{cases} U_{\text{z}} = (I_{\text{b}} + I_{\text{e}})R_{\text{z}} + U_{\text{a}}, \\ U_{\text{b}} = U_{\text{z}} - I_{\text{b}}r_{\text{b}}. \end{cases} \quad (2.1)$$

ამ განტოლებიდან გამომდინარეობს, რომ

$$U_{\text{z}} = U_{\text{a}} \frac{r_{\text{b}}}{r_{\text{b}} + R_{\text{z}}} + U_{\text{b}} \frac{R_{\text{z}}}{r_{\text{b}} + R_{\text{z}}} - I_{\text{e}} \frac{r_{\text{b}}R_{\text{z}}}{r_{\text{b}} + R_{\text{z}}},$$

სადაც $I_{\text{e}} = U_{\text{z}}/R_{\text{z}}$, ამიტომ

$$U_{\text{z}} = U_{\text{a}} \frac{r_{\text{b}}R_{\text{z}}}{R_{\text{z}}(r_{\text{b}} + R_{\text{z}}) + r_{\text{b}}R_{\text{z}}} + U_{\text{b}} \frac{R_{\text{z}}R_{\text{a}}}{R_{\text{z}}(r_{\text{b}} + R_{\text{z}}) + r_{\text{b}}R_{\text{z}}}. \quad (2.2)$$

(2.2) გამოსახულებიდან შეგვიძლია გიმოვთ ერთქასკადიანი სტაბილიზატორის გამოსახულების წირი 2

$$R_{\delta} = -\frac{\partial U_{\delta}}{\partial I_{\text{e}}} = \frac{r_{\text{b}\delta} R_0}{r_{\text{b}\delta} + R_0}. \quad (2.3)$$

იმის გამო, რომ ჩვეულებრივ $r_{\text{b}\delta} \ll R_0$, გამოსახვლების წინაღობა $R_{\delta} \approx r_{\text{b}\delta}$.

პულსაციის გასწორების კოეფიციენტი

$$K_{\delta\delta} = \frac{\partial U_{\delta}}{\partial U_{\delta}} = \frac{R_{\text{e}}(r_{\text{b}\delta} + R_0) + r_{\text{b}\delta} R_0}{r_{\text{b}\delta} R_{\text{e}}} \approx \frac{R_0}{r_{\text{b}\delta}}, \quad (2.4)$$

საიდანაც გამომდინარეობს, რომ ერთასებრივი ძაბვის სტაბილიზატორში ΔU_{δ} აბსოლუტური ცვლილება მცირდება $R_0 / r_{\text{b}\delta}$ -ჯერ.

ერთასებრივი სტაბილიზატორის ძაბვის არასტაბილობის კოეფიციენტი

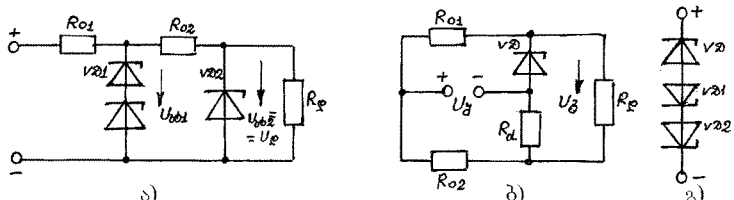
$$k_{\text{st}} = \frac{1}{U_{\delta}} \frac{\partial U_{\delta}}{\partial U_{\text{e}}} \approx \frac{1}{U_{\delta}} \cdot \frac{r_{\text{b}\delta}}{R_0}. \quad (2.5)$$

დანის მიხედვით არასტაბილობის კოეფიციენტი

$$k_{\text{st}} = -\frac{I_{\text{e}}}{U_{\delta}} \frac{\partial U_{\delta}}{\partial I_{\text{e}}} \approx \frac{R_{\delta}}{R_{\text{e}}}. \quad (2.6)$$

მრავალკასპადიანი პარამეტრული სტაბილიზატორი. შესავალი ძაბვის ცვლილებისას, გამოსავალი ძაბვის არასტაბილობის შემცირების მიზნით, გამოიყენება მრავალკასტაბილი პარამეტრული სტაბილიზატორები. ასეთ სტაბილიზატორებში პირველი კასკადის გამოსახვლები მიერთებულია მეორე კასკადის შესასვლელთან და ა.შ.

მაგალითად, ორკასებრივი პარამეტრულ სტაბილიზატორში (სურ. 2.3, а) უნდა შესრულდეს პირობა $U_{\delta} > U_{\text{b}\delta 1} > U_{\text{b}\delta 2}$. ასეთი სქემის ნაკლია შემთხვევაში უნდა გამოსახვლები სიდიდე (ერთასებრივი პარამეტრულ სტაბილიზატორთან შედარებით), რადგან ასეთი სტაბილიზატორის შესასვლელზე მისაწოდებელი ძაბვა უნდა გაიზარდოს.



სურ. 2.3 ორკასებრივი პარამეტრული სტაბილიზატორის (ა) და ბოგური სტაბილიზატორის (ბ) სქემები. ტემპერატურული სტაბილიზაციის სქემა (გ)

ორკასებრივი სტაბილიზატორის პარამეტრების განსაზღვრა შესაძლებელია შემდეგი ცორმულიდან:

$$R_{\delta} \approx r_{\text{b}\delta}; \quad K_{\delta\delta} \approx K_{\delta\delta 1} K_{\delta\delta 2} = \frac{\partial U_{\delta}}{\partial U_{\text{b}\delta 1}} \cdot \frac{\partial U_{\text{b}\delta 1}}{\partial U_{\delta}}; \quad (2.7)$$

$$K_{\text{st}} \approx K_{\text{st}1} K_{\text{st}2}; \quad K_{\text{st}} \approx \frac{r_{\text{b}\delta}}{R_{\text{e}}}.$$

ამ გამოსახულებებიდან ჩანს, რომ ორკასებრივი სტაბილიზატორში მნიშვნელოვნად იზრდება $K_{\delta\delta}$ და K_{st} პარამეტრები. ამავე დროს, R_{δ} და K_{st} პარამეტრების მნიშვნელობები განისაზღვრება მხოლოდ მეორე კასკადით და თითქმის არ არის დამოკიდებული პირველი კასკადის პარამეტრებზე.

ბოგური პარამეტრული სტაბილიზატორი. პარამეტრული სტაბილიზატორის ამ სახის სქემაში (სურ. 2.3, ბ) გამოიყენება უდია სტაბილიზატორის სტაბილიზაციის ძაბვის ცვლილების კომპენსაცია R_d მაკომენსირებელ რეზისტორზე ძაბვის საწინააღმდეგო მიმართულებით შეცვლის ხარჯზე. ასეთი სტაბილიზატორის გამოსავალი ძაბვა VD სტაბილიტორის სტაბილიზაციის ძაბვისა და R_d წინაღობაზე ძაბვის ვარდნის სხვაობის ტოლია.

U_{δ} ძაბვის გაზრდის შემთხვევაში გაიზრდება VD სტაბილიტორის ძაბვაც. ამავე დროს, გაიზრდება R_d წინაღობაზე ძაბვის ვარდნა. თუ R_d წინაღობა ისევა შერჩევდება, რომ სტაბილიტორზე ძაბვის ნაზრდი R_d წინაღობაზე ძაბვის ვარდნის ტოლია, მაშინ გამოსავალი ძაბვა თითქმის არ შეიცვლება. ამისათვის უნდა შესრულდეს შემდეგი პირობა: $r_{\text{b}\delta} / R_{\text{b}1} = R_d / R_{\text{b}2}$.

ბოგური პარამეტრული სტაბილიზატორის პარამეტრების განსაზღვრის დროს შესაძლებელია ვისარგებლოთ ფორმულებით:

$$R_{\delta} = r_{\text{b}\delta} + R_d; \quad K_{\delta\delta} = \left(\frac{r_{\text{b}\delta}}{R_{\text{b}1}} - \frac{R_d}{R_{\text{b}2}} \right)^{-1}; \quad K_{\text{st}} = \frac{1}{U_{\delta}} \left(\frac{r_{\text{b}\delta}}{R_{\text{b}1}} - \frac{R_d}{R_{\text{b}2}} \right). \quad (2.8)$$

(2.8)-ის მიხედვით კომპენსაციის პირობის შესრულების შემთხვევაში $K_{\delta\delta} \rightarrow \infty$, ხოლო $K_{\text{st}} \rightarrow 0$. პრაქტიკულად კი შესაძლებელი ხდება $K_{\delta\delta}$ -ს მხოლოდ 5-ჯერ გაზრდა ერთასებრივინი სტაბილიტორის იგივე პარამეტრებთან შედარებით. ბოგური სტაბილიზატორის ნაკლად უნდა ჩაითვალოს გამოსავალი წინაღობის გაზრდილი სიდიდე.

პარამეტრული სტაბილიზატორის ტემპერატურული სტაბილიზაცია. პარამეტრული სტაბილიზატორის ტემპერატურული სტაბილიზაცია შესაძლებელია განხორციელდეს ძაბვის ტემპერატურული კოეფიციენტის (მტბ) კომპენსაციის გზით, როგორც ეს 2.3, გ სურათება ნაჩვენები. იმის გამო, რომ სტაბილიტორნებს, რომელთა სტაბილიზაციის ძაბვა 6 გ-ს აღემატება, გააჩნია დაახლოებით +4 მლგ/°C მტბ, ხოლო პირდაპირ მიმართულებით

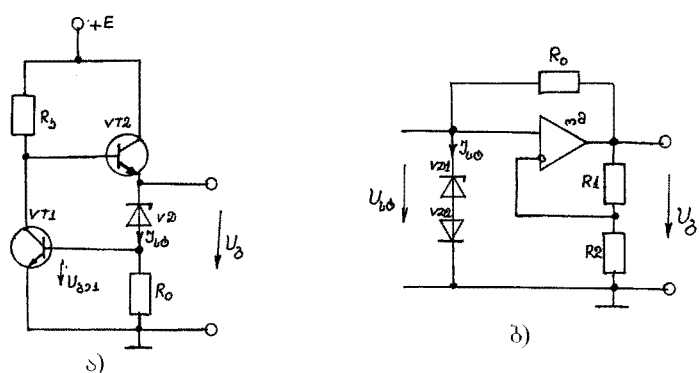
ჩართული დიოდების მტკ უარყოფითი ნიშნისაა (დაახლოებით - 2 მლგ⁰C), ამიტომ ასეთი სტაბილიტრონისა და ორი (ან მეტი) დიოდის მიმღევრობით შეერთების შედეგად უზრუნველყოფილი იქნება სტაბილიტრონის ძაბვის ტემპერატურული სტაბილიზაცია. ასე, მაგალითად, D818E ტიპის სტაბილიტრონებში (დამსადების დროს) მიმღევრობით ჩართულია ორი დიოდი. ასეთი სტაბილიტრონის გამოსავალი ძაბვა 9 ვ-ს ტოლია, ხოლო მტკ არ აღემატება ამ ძაბვის 0,001%-ს.

სტაბილიტრონის ძაბვის სტაბილიზაციის სარისხეული ტემპერატურის გარდა, გავლენას ახდენს მასში გამავალი დენის ცელილებაც. ასე, მაგალითად, D818E ტიპის სტაბილიტრონში, რომლის დიფერენციალური წინაღობა 18 მმ-ის ტოლია, დენის 1 მა-ით შეცვლა სტაბილიზაციის ძაბვის 18 მლგ-ით შეცვლას გამოიწვევს, მაშინ, როდესაც იგივე სტაბილიტრონის ტემპერატურის 100⁰C შეცვლისას გამოსავალის ძაბვა მხოლოდ 9 მლგ-ით შეიცვლება. ამიტომ, თერმულად კომპენსირებული სატბილიზატორის ძაბვის მაღალი სტაბილობა იმ შემთხვევაში იქნება გარანტირებული, თუ უზრუნველყოფულ მის კვებას სტაბილური დენით.

თერმულად კომპენსირებული სტაბილიზატორის სქემა, სტაბილიტრონის სტაბილური დენით კვების დროს, 24, ა სურათზეა ნაჩვენები. სქემაში ჩნიშნებულოვნება შემცირებული სტაბილიტრონის დიფერენციალური წინაღობა უარყოფითი უკუკაგშირის არსებობის გამო. აქ სტაბილიტრონის დენი არ არის დამოკიდებული კვების ძაბვაზე E_{β} და განისაზღვრება ფორმულიდან

$$I_{\beta} = U_{\beta} / R_{\beta}$$

სადაც $U_{\beta} = VT_1 - VT_2$ ტრანზისტორის ბაზასა და ემიტერს შორის ძაბვაა.



სურ. 24. უარყოფითი უკუკაგშირიანი საყრდენი ძაბვის სტაბილიტრონული წყაროს სქემები: ა) ტრანზისტორზე (ა); ბ) თერმულ მაძლივრებლზე (ბ)

სტაბილიზატორის გამოსავალი ძაბვა

$$U_z = U_{\beta} + U_{\beta 1},$$

სადაც U_{β} - სტაბილიტრონის ძაბვა, $I_{\beta} = const$ -ის ტოლი. სქემა უზრუნველყოფს გამოსავალი ძაბვის ტემპერატურულ სტაბილიზაციას. თუ გამოსავალი ძაბვა დაახლოებით 7 ვ-ის ტოლია, მაშინ სტაბილიტრონშე არსებული ძაბვა 6,2 ვ-ის ფარგლებშია, ხოლო მისი მტკ ეტოლება 2,2 მლგ⁰C-ს. მეორეს მხრივ, $U_{\beta 1}$ ძაბვის ტემპერატურული კოეფიციენტი - 2,2 მლგ⁰C-ის ტოლია. მაშასადამეც გამოსავალი ძაბვის ჯამური ტემპერატურული კოეფიციენტი ნულს უადლოვდება. ეს სქემა გამოირჩევა სიმარტივით, რაც მის ლირსებაზე მიაიზუნებს. სქემის ნაკლი კი ისაა, რომ გამოსავალი ძაბვის სტაბილიზაცია უზრუნველყოფილია მხოლოდ $U_z \approx 7$ ვ-ის ტოლი.

ზემოაღნიშნული ნაკლი აღარ გააჩნია 18, ბ სურათზე ნაჩვენებ სქემას. თერმული მაძლიერებლის გამოყენების შედეგად გამოსავალი ძაბვა შეიძლება შეიცვალოს საკმაოდ ფართო საზღვრულში. ეს ძაბვა განისაზღვრება ფორმულიდან.

$$U_z = U_{\beta} \left(1 + \frac{R_1}{R_2} \right),$$

სადაც U_{β} - თერმულად კომპენსირებული სტაბილიტრონის ძაბვაა;

R_1, R_2 - უარყოფითი უკუკაგშირის წრედში ჩართული ძაბვის გამოყოფის წინაღობებია.

სტაბილიტრონის დენი უცვლელად შენარჩუნდება შემდეგი ფორმულით განსაზღვრულ დონეზე

$$I_{\beta 1} = (U_z - U_{\beta}) / R_{\beta}$$

სადაც R_{β} - დადგებითი უკუკაგშირის წრედში ჩართული წინაღობაა.

მაგალითად, თუ $U_{\beta} = 9$ ვ, ხოლო $U_z = 10$ ვ უნდა შესრულდეს შემდეგი პირობა:

$R_2 = 9R_1$ (როცა $R_1 = 1$ გომ, მივიღებთ $R_2 = 9$ გომ). $I_{\beta 1} = 10$ მა დენის მისაღებად საჭიროა შეირჩებს $R_{\beta} = 100$ ომ.

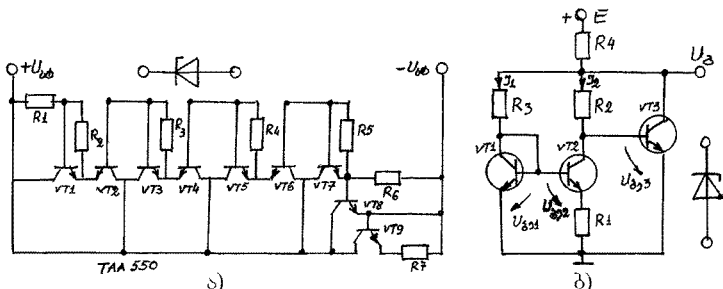
სტაბილიტრონული ინტენსიურული მიკროსქემები. დისკრეტული შესრულების (ჩვეულებრივი) სტაბილიტრონი ვერ აკმაყოფილებს საყრდენი (ეტალონური) ძაბვის წყაროების (სმწ) მიმართ წაყვენებულ მკაცრ მოთხოვნებს, რამაც გამოიწვია ინტეგრალური შესრულების სტაბილიტრონის შექმნის აუცილებლობა. მას აქვს ჩვეულებრივი სტაბილიტრონის ფუნქციური დანიშნულება, თუმცა წარმოადგენს სხვადასხვა აქტიური და პასიური ელემენტებისაგან შედგენილ ინტეგრალურ მიკროსქემას ორი (ზოგჯერ 3) გამომყვანით (ელექტროდიო). პრატიკაში გავრცელებული ამ სახის სტაბილიტრონები შეიძლება დაიყოს სამ ჯგუფად:

• ტემპერატურული კომპენსაციის მქონე სტაბილიტონული ინტეგრალური მიკროსექტერი (სიმს);

• ტემპერატურული სტაბილიზაციის მქონე საყრდენი ძაბვის წყაროები;

• საყრდენი ძაბვის წყაროები აკრძალული ზონის სიგანის შესაბამისი გამოსაგადი ძაბვით („Bandgap“ სტრ).

ტემპერატურული კომპენსაციის მქონე სიმს შეიცავს სტაბილიტონულს, ტრანზისტორებს, დიოდებს და პასიურ ელემენტებს, რომელიც უზრუნველყოფენ დენის სტაბილიზაციას და ტემპერატურულ კომპენსაციას. ასეთ ინტეგრალურ მიკროსექტერა აქვს წვეულებრივი სტაბილიტონის ანალოგიური კონსტრუქციული გაფორმება და გააჩნია ორი საკონტრაქტო გამომყვანი.



სურ. 25. TAASSO სიმს-ის გამარტივებული სქემა (ა) და „Bandgap“ პრინციპული მომუშავე სტაბილიზატორის სქემა (ბ);
თითოეული სქემის გვერდით – პირობითი სქემური აღნიშვნა

მიკროსექტერა შეიცავს სამ ტრანზისტორულ ჯგუფს (VT2-VT3, VT4-VT5 და VT6-VT7). თითოეული ტრანზისტორული ჯგუფი გათვალისწინება 10 გ-ის ტოლი ძაბვის სტაბილიზაციაზე. დენის სტაბილიზაცია ხორციელდება VT1 ტრანზისტორით, ხოლო VT8 და VT9 ტრანზისტორები მუშაობენ დენის გაძლიერების რეჟიმში. სიმს უზრუნველყოფს 31...35 გ ძაბვის სტაბილიზაციას, გააჩნია 10 ომის ტოლი დიფერენციალური წინაღობა $I_{b\beta} = 5$ მა დენის დროს, ძტპ = 0,006%/°C. ასეთი სიმს გამოიყენება ტემპერატურულისა და რადიომიზებების აწყობის კონტროლის კვებისათვის.

2.5. ბ სურათზე ნაჩვენებია „Bandgap“ სტრ სქემა. ასეთი ძაბვის წყაროს შექმნის იდეალური დაფუძნებულია ისეთი საყრდენი ძაბვის შექმნაზე, რომლის დადგბითი ძტპ სიდიდით ტრანზისტორის ბაზა-ემიტერის ძაბვის უარყოფითი ტემპერატურული კოეფიციენტის ტოლია. ძაბვა სქემის გამოსახულებზე

$$U_\vartheta = U_{\vartheta\beta} + I_2 R_2, \quad (29)$$

სადაც $U_{\vartheta\beta} - VT3$ ტრანზისტორის ბაზა-ემიტერის ძაბვაა;

$$I_2 = \frac{U_{\vartheta\beta} - U_{\vartheta\beta}}{R_1} - VT2 \text{ ტრანზისტორის კოლექტორის დენი.}$$

ტემპერატურის ΔT სიდიდით შეცვლისას გამოსავალი ძაბვის ცვლილება შეიძლება განისაზღვროს შემდეგი გამოსახულებიდან

$$\Delta U_\vartheta = \Delta U_{\vartheta\beta} + \frac{\Delta U_{\vartheta\beta} - \Delta U_{\vartheta\beta}}{R_2} R_2. \quad (2.10)$$

ბიპოლარული ტრანზისტორის $U_{\vartheta\beta}$ ძაბვა და კოლექტორის დენი დაკავშირებულია კრომანეტოთან მოლებელის განტოლებით

$$U_{\vartheta\beta} = K T / e \ln \left(I_\vartheta / I_s \right),$$

ამიტომ VT1 და VT2 ტრანზისტორების ბაზა-ემიტერის ძაბვის ნაზრდები შეიძლება ჩაიწეროს შემდეგი განტოლებების სახით

$$\Delta U_{\vartheta\beta} = K \Delta T / e \ln \left(I_1 / I_s \right); \Delta U_{\vartheta\beta} = K \Delta T / e \ln \left(I_2 / I_s \right), \quad (2.11)$$

სადაც K – ბოლცმანის მუდმივა;

e – ელექტრონის მუხტია;

I_s – ტრანზისტორის გავერების დენია;

ΔT – n-p გადასახვლების ტემპერატურის ნაზრია.

(2.11)-ის (2.10)-ში ჩასმის შედეგად მიიღება

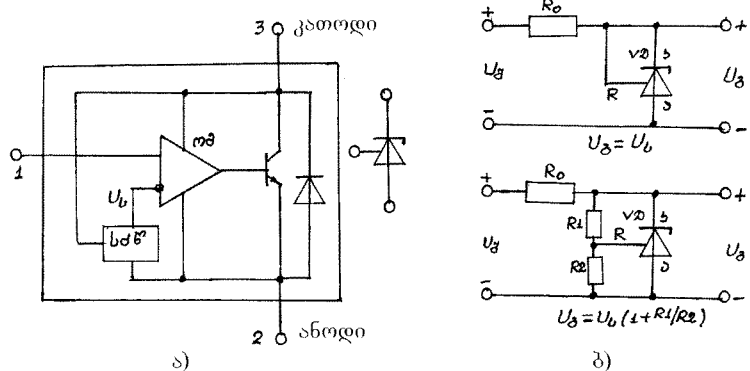
$$\Delta U_\vartheta = \Delta U_{\vartheta\beta} + \frac{K \Delta T / e \ln \left(I_1 / I_2 \right)}{R_2} R_2 \quad (2.12)$$

თუ $I_1 > I_2$ (ჩვეულებრივ შეირჩევენ $I_1 = 10I_2$), მაშინ $\ln \left(I_1 / I_2 \right) > 0$, ე.ო. (2.12)-ის მეორე წევრს ექნება დადგბითი ძტპ. ამიტომ, როდესაც $\Delta U_{\vartheta\beta}$ -ის ძაბვის ტემპერატურული გოგიციენტი უარყოფითია, I_1 , R_1 და R_2 მნიშვნელობათა შერჩევით შესაძლებელია სქემის ნულოვანი ტემპერატურული კოეფიციენტის მიღება n-p გადასახვლების ტემპერატურის ფართო დიაპაზონში ცვლილების დროს.

ამ სერიული ძაბვის წყარომ ასეთი დასახლება („Bandgap“ სტრ) მიიღო იმის გამო, რომ U_ϑ ძაბვის ჯამური მნიშვნელობა, ძტპ-ის ნულოვანი სიდიდის დროს, სილიციუმის აკრძალული ზონის სიგანის შესაბამისი ძაბვის (დაახლოებით 1,22 გ) ტოლია. გამოსაგადი ძაბვის განსხვავებული სიდიდების მისაღებად უნდა გამოვიყენოთ 2.4, ბ სურათზე ნაჩვენები სქემა.

მაგალითად, ამ პრინციპზე აგებული TL431 ტიპის (ფირმა Texas Instruments) რეგულირებადი პრეციზიული ინტეგრალური სტაბილიტონი (მისი ანალოგია 142EH19). ამ სიმს-ის გამარტივებული სქემა ნაჩვენებია 2.6, ბ სურათზე. მისი მირთადი ელემენტებია

„Bandgap“ სქემის (სურ. 2.5, ბ) მიხედვით შესრულებული საყრდენი ძაბგის წყარო და ოპერაციული მაძლიერებელი, რომელიც R_1, R_2 გარეშე ძაბგის გამოყოფის საშუალებით (სურ. 2.6, ბ) უზრუნველყოფს საჭირო სიდიდის გამოსავალი ძაბგის მიღებას. ამ ინტეგრალური სტაბილიტრონის მახასიათებლები



სურ. 2.6. TL431 ინტეგრალური სტაბილიტრონის

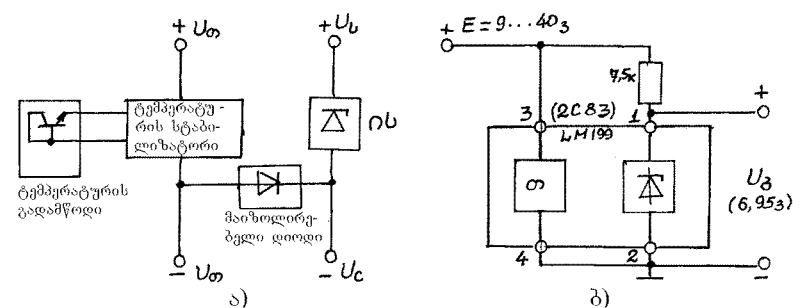
გამარტივებული სქემა და პირობითი აღნიშვნა (ა); მართვის სქემა (ბ)

მნიშვნელოვნად ჯონის ჩვეულებრივი სტაბილიტრონების მახასიათებლების:

- ძაბგის ტემპერატურული კოეფიციენტია $0.0003\%/\text{^{\circ}C}$;
- გამოსავალი ძაბგა რეგულირებადია 2.5-დან 36 ფმდე ფარგლებში;
- დიფერენციალური წინაღობაა 0.2 მმ;
- დატემპერატურის მაქსიმალური დენია 100 გა.

ტემპერატურული სტაბილიზაციის მქონე საყრდენი ძაბგის წყარო შეიცავს ინტეგრალურ სტაბილიტრონს, რომელიც შესრულებულია ზემოთ განხილული ერთ-ერთი სქემის მიხედვით და პრეციზიულ თერმოსტატს, რომლის მართვა ხორციელდება ტრანზისტორის ბაზა-ემიტერის ტემპერატურის გადამწოდით. თერმოსტატი უზრუნველყოფს ინტეგრალური სტაბილიტრონის კრისტალის უცვლელ ტემპერატურას. ასეთი მიკროსქემის მტკ $0.00002\%/\text{^{\circ}C}$ -ის ტოლია, რაც ერთი რიგით ნაკლებია ნებისმიერი სხვა ინტეგრალური სტაბილიტრონის იგივე კოეფიციენტზე.

LM199 ტიპის (ფირმა National Semiconductor) საყრდენი ძაბგის წყაროს სტრუქტურული სქემა ნაჩვენების 2.7 სურათზე.



სურ. 2.7. ტემპერატურული სტაბილიზაციის მქონე სტრუქტურული სტაბილიტრონის მქონე სტრუქტურული სქემა (ა) და LM199 ტიპის სტრუქტურული სქემა (ბ)

მიკროსქემა შედგება შემდეგი ფუნქციური კვანძებისაგან: ინტეგრალური სტაბილიტრონი (სიმბ.), კრისტალის ტემპერატურის სტაბილიზატორი და ტემპერატურის გადამწოდი (ტპ). კვლება ეს კლემენტი შესრულებულია ერთ კრისტალზე და აქვთ ერთმანეთიან სითბური კავშირი. ტემპერატურული სტაბილიზაციის მქონე საყრდენი ძაბგის წყაროს სტაბილიტრონის დიფერენციალური წინაღობა 0.5 მმ-ზე ნაკლებია, გააჩნია ხმაურის ძალზე დაბალი დონე და ძალზე მაღალი სტაბილურობა, იმს-ის ჩართვის სქემა 2.7, ბ სურათზე ნაჩვენები.

2.3. ძაბგის კომპენსაციური სტაბილიზატორები

2.3.1. კომპენსაციური სტაბილიზატორების შუშაობის ზოგადი საკითხები

ძაბგის კომპენსაციური სტაბილიზატორის სტრუქტურული სქემა ნაჩვენებია 2.8 სურათზე. სტაბილიზატორის გამოსავალი ძაბგა U_β ძაბგის გამოყოფის (ძბ) საშუალებით მიეწოდება გაუთანხმოების სიგნალის მაძლიერებელს (ბსმ), სადაც იგი შევდრება საყრდენი ძაბგის წყაროს ძაბგას. ბსმ-ის გამოსავალი სიგნალი მიეწოდება მარეგულირებელ კლემენტს (მმ). ეს სიგნალი შეცვლის მარეგულირებელი კლემენტის წინაღობას, რის გამოც შეიცვლება შესავალი ძაბგის (U_β) გადაცემის კოეფიციენტი.

2.8 სურათზე ნაჩვენები სტრუქტურული სქემის მიხედვით შესაძლებელია ჩაიწეროს კომპენსაციური სტაბილიზატორის განტოლება

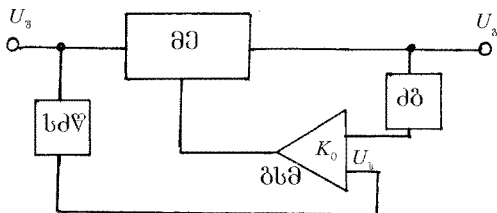
$$K_\alpha(U_\beta - K_\beta U_\beta) = U_\beta, \quad (2.13)$$

სადაც U_β – სტრუქტურული სქემის მიხედვით შესაძლებელია ჩაიწეროს

U_β – სტაბილიზატორის გამოსავალი ძაბგა;

K_β – ძაბგის გამოყოფის გადაცემის კოეფიციენტი;

K_o – გაუთანაბრების სიგნალის მაძლიერებლისა და მარტივლირებელი ელემენტის გაძლიერების კოეფიციენტი.



სურ. 2.8. მაბფის კომპენსაციური სტაბილიზატორის გამარტივებული სტრუქტურული სქემა

(2.13)-დან მივიღებთ სტაბილიზატორის გამოსავალი მაბფის მნიშვნელობას

$$U_d = U_b K_o / (1 + K_o K_d). \quad (2.14)$$

თუ პარ-ის გაძლიერების კოეფიციენტი საკმაოდ დიდი სიდიდისა, მაშინ $K_o K_d \ll 1$ პირობის შესრულებაში (2.14)-დან მივიღებთ

$$U_d = U_b / K_d \quad (2.15)$$

როგორც (2.15)-დან ჩანს, კომპენსაციური სტაბილიზატორის გამოსავალი მაბფის U_d ცვლილებაზე და საყრდენი მაბფის U_b პროპორციულია. სხვა სიტყვებით რომ ვთქვათ, კომპენსაციური სტაბილიზატორის გამოსავალი მაბფის U_d სტაბილობა მხოლოდ უკუკავშირის წრედში ჩართული ელემენტების პარამეტრთა არასტაბილობაზე დამოკიდებული და მასზე გავლენას არ ახდენს პირდაპირი გადაცემის წრედის ელემენტთა პარამეტრების არასტაბილობა. საყრდენი მაბფის წყაროდ კომპენსაციური სტაბილიზატორებში გამოიყენება ადრე განხილული პარამეტრულ სტაბილიზატორთა ერთ-ერთი სახეობა.

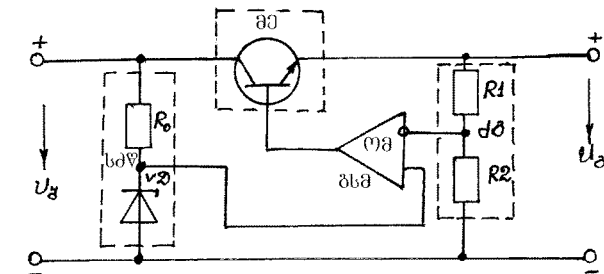
მაბფის გამოყოფის საშუალებით კომპენსაციური სტაბილიზატორის გამოსასვლელზე მიიღება საყრდენი მაბფისაგან განსხვავებული სიდიდის მაბფი. სტაბილიზატორის შესასვლელზე მიწოდებული მაბფი უნდა აღემატებოდეს გამოსასვლელზე მისაღებ მაბფის მარტივლირებელ ელემენტზე არსებულ მაბფის ვარდნაზე არა ნაკლები სიდიდით. რაც ნაკლებია მარტივლირებელ ელემენტზე მაბფის ვარდნა, მით მაღალია სტაბილიზატორის მდგ. მაშასადამე, კომპენსაციური სტაბილიზატორის ნორმალური ფუნქციონირებისათვის აუცილებელია შემდეგი პირობის შესრულება:

$$U_d > U_d > U_b.$$

მოქმედების პრინციპის მიხედვით მაბფის კომპენსაციური სტაბილიზატორები შეიძლება დაიყოს ორ ჯგუფად: უწყვეტი და იმპულსური რეგულირებით. ამ ორი სახის კომპენსაციურ სტაბილიზატორს შორის განსხვავება მარტივლირებელი ელემენტის მუშაობის რეჟიმებს შორის განსხვავებაში გამოიხატება: უწყვეტი ქმედების სტაბილიზატორში მარტივლირებელი ელემენტი მუშაობს უწყვეტ რეჟიმში (ე.ი. როგორც რეგულირებადი წინაღობა), ხოლო იმპულსური რეგულირების შემთხვევაში მარტივლირებელი ელემენტი მუშაობს გასაღებისებურ რეჟიმში.

2.3.2. უწყვეტი ქმედების მაბფის კომპენსაციური სტაბილიზატორი

უწყვეტი ქმედების მაბფის კომპენსაციური სტაბილიზატორის ფუნქციური სქემა მოცემულია 2.9 სურათზე.



სურ. 2.9. უწყვეტი ქმედების მაბფის კომპენსაციური სტაბილიზატორის ფუნქციური სქემა

ამ სქემაში გამოსავალი მაბფის გაყოფას ახდენს R_1 და R_2 რეზისტორები. მაბფის ასეთი გამყოფის გადაცემის კოეფიციენტი

$$K_d = R_2 / (R_1 + R_2) \leq 1$$

საყრდენი მაბფის წყაროს წარმოადგენს VD სტაბილიტორი R_0 ღენის შემზღვედ წინაღობასთან ერთად. სტაბილიტორიდ შესაძლებელია გამოყენებული იქნეს ერთ-ერთი სტაბილიტორნული იმს. გაუთანხმოების სიგნალის მაძლიერებლად (მსმ) გამოყენებულია თპერაციული მაძლიერებელი (ომ). მარტივლირებელი ელემენტის (მმ) ფუნქციას ასრულებს ემიტერული მამეორებლის რეჟიმში მომუშავე ტრანზისტორი VT. მისი გადაცემის კოეფიციენტი ერთის მახდობლობაშია.

(2.15) გამოსახულების თანახმად სტაბილიზატორის გამოსავალი მაბფა ეტოლება

$$U_d = U_b (R_1 + R_2) / R_2.$$

ცხადია, გამოსავალი ძაბვა ვერ იქნება U_ϑ ძაბვაზე უფრო სტაბილური. სტაბილიტონში გამავალი ღენის სტაბილობის შემთხვევაში პარამეტრულ და კომპენსაციურ სტაბილიზატორებს ძაბვის არასტაბილობის ერთნაირი კოეფიციენტი ექნებათ. მოუხედავად ამისა, კომპენსაციურ სტაბილიზატორს მნიშვნელოვანი უპირატესობა გააჩნია პარამეტრული სტაბილიზატორის მიმართ. კერძოდ, კომპენსაციური სტაბილიზატორის გამოსავალი ღენი შეზღუდულია მხოლოდ მარეგულირებელი კლემენტის შესაძლებლობით და გაცილებით მეტი შეძლება იყოს, ვიდრე პარამეტრული სტაბილიზატორის ღენი. VD სტაბილიტონი სქემაში ფაქტიურად მუშაობს უქმი სვლის რეჟიმში, რადგან იგი მიერთებულია დიდი შესავალი წინაღობის ქვენე ღმ-ის შესაძლებლებზე.

საყრდენი ძაბვის გარდა, კომპენსაციური სტაბილიზატორის გამოსავალი ძაბვის სტაბილობაზე გავლენას ახდენს ძაბვის გამჭოფის გადაცემის კოეფიციენტის ცვალებადობა. ამიტომ, ძაბვის გამჭოფში გამოყენებული უნდა იქნეს წინაღობის ერთნაირი ტემპერატურული კოეფიციენტის ქვენე რეზისტორები.

მსმ-ის გაძლიერების კოეფიციენტის გაცლენა გამოსავალი ძაბვის არასტაბილობაზე შესაძლებელია გამოირიცხოს, თუ გაძლიერების კოეფიციენტს ექნება დიდი სიღიდე (1000-ზე მეტი). ამ თვალსაზრისით ყველაზე მიზანშეწონილად ღმ-ის გამოყენება უნდა ჩაითვალოს.

(2.15)-ის თანახმად გამოსავალი ძაბვის გამოსახულებაში არ შედის დატვირთვის ღენი და შესავალი ძაბვა U_ϑ . აქედან გამომდინარე იქნება ისეთი შთაბეჭდილება, რომ კომპენსაციური სტაბილიზატორის გამოსასვლელის წინაღობა და ძაბვის არასტაბილობის კოეფიციენტი ნულის ტოლია, რადგან (2.15)-დან გამომდინარეობს, რომ

$$R_\vartheta = \frac{\partial U_\vartheta}{\partial I_\vartheta} = 0 \quad \text{და} \quad K_{us} = \frac{\partial U_\vartheta}{\partial U_\vartheta} = 0.$$

ასეთი შედეგი გამოწვეულია იმით, რომ განხილული იყო სტაბილიზატორის გამარტივებული სტრუქტურული სქემა. ფაქტიურად ეს პარამეტრები არ შეიძლება იყოს ნულის ტოლი, თუმცა გააჩნიათ საკმაოდ მცირე მნიშვნელობები. მაგალითად, R_ϑ -ს სიღიდე შეიძლება აღწევდეს 0,01 ღმ-ს.

უწყვეტი ქმედების ძაბვის კომპენსაციური სტაბილიზატორების ნაკლად უნდა ჩაითვალოს მქენის შედარებით მცირე სიღიდე. ამ სტაბილიზატორში კვების წყაროდან მოთხოვნილი სიმძლავრე მნიშვნელოვნად აღემატება დატვირთვისადმი გადაცემულ სიმძლავრეს. სიმძლავრის მნიშვნელოვან დანაკარგს ადგილი აქვს მარეგულირებელ კლემენტზე, რადგან ამ უკანასკენებზე მიიღება ($U_\vartheta - U_\vartheta$) ტოლი ძაბვის ვარდნა და ამავე დროს მასში გადის დატვირთვის სრული ღენი. ამის გამო, მარეგულირებელ კლემენტზე გამოიყოფა მნიშვნელოვანი სიღიდის სიმძლავრე და ამ სიმძლავრის გაპნევის მიზნით იგი უნდა დამაგრდეს სითბოს წამრთმევა რადიატორზე.

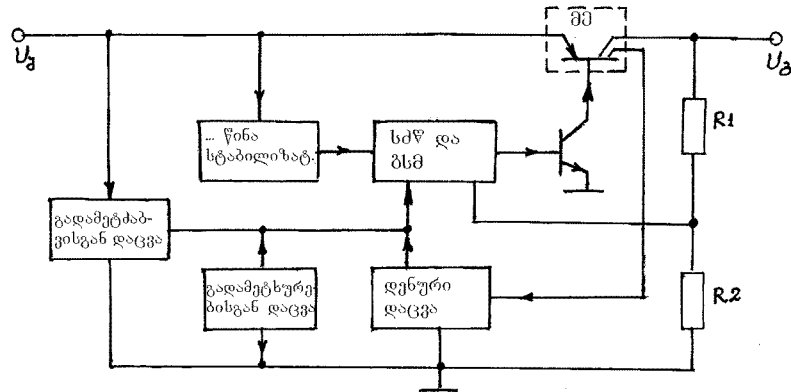
უწყვეტი ქმედების კომპენსაციური სტაბილიზატორის ინტეგრალური მიკროსქემები. კომპენსაციური სტაბილიზატორის პირველი ინტეგრალური მიკროსქემა ჯერ კიდევ 1967 წელს შეიქმნა. მას შემდეგ ამ სახის 0მს-ების ნომენკლატურა უაღრესად გაფართოვდა და ამჟამად გამოიყენებაში არსებული კომპენსაციურ სტაბილიზატორთა 0მს-ები შეიძლება გავაერთოანოთ სამ ჯგუფში:

- სამგამოყვანიანი სტაბილიზატორები ფიქსირებული გამოსავალი ძაბვით;
- დაფიქსირებულმაბეჭიანი სტაბილიზატორები მარეგულირებელ კლემენტზე მცირე ძაბვის გარდნით (low drop);
- სტაბილიზატორები რეგულირებადი გამოსავალი ძაბვით;
- მრავალარხიანი სტაბილიზატორები.

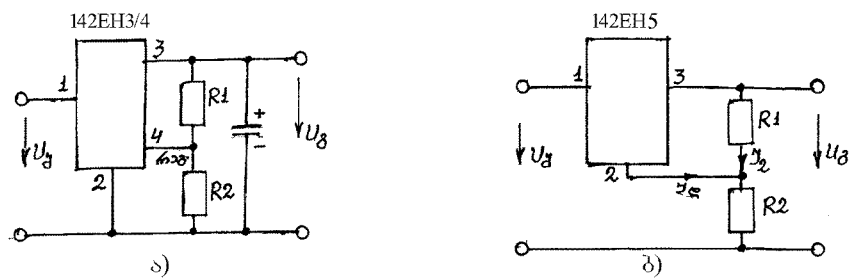
პირველ ჯგუფში შემავალი კომპენსაციური სტაბილიზატორების ინტეგრალური მიკროსქემები შესრულებულია 2.9 სურათზე მოცემული სქემის მიხედვით. ასეთი სტაბილიზატორის ნაკლია მარეგულირებელ კლემენტზე ძაბვის ვარდნის დიდი სიღიდე (2,5 გრეგ). ეს იმითა განკირობებული, რომ შეცდებებით ემიტერული მარეგულის ღრმა გაჯერების მდგრამარებაში ჩაყნება და, შესაბამისად, მარეგულირებელ კლემენტზე ძაბვის ვარდნის მნიშვნელოვანი შეცირება.

მეორე ჯგუფში შემავალი სტაბილიზატორების სქემაში დატვირთვა მიუერთდება მარეგულირებელი ტრანზისტორის კოლექტორის წრედს (კ. მარეგულირებელი ტრანზისტორი მუშაობს კოლექტორული გამოსასვლელით). ასეთ სტაბილიზატორში მარეგულირებელ კლემენტზე ძაბვის ვარდნა თითქმის 5-ჯერად შეცირებული (შეადგენს 0,5 გრ). 2.10 სურათზე ნაწვენებია ერთ-ერთი ასეთი სახის კომპენსაციური სტაბილიზატორის სტრუქტურული სქემა. სქემაში გამოყენებულია ორკოლექტორიანი მარეგულირებელი ტრანზისტორი, რომელთაგან ერთი კოლექტორი წარმოქმნის გამოსასვლელ წრედს, ხოლო მეორე კოლექტორი – დენური გადატვირთვებისაგან დამცავი სქემისათვის დენის გადატვირთვისაგან და შესავალის გადამეტაბეისაგან.

რეგულირებადი სტაბილიზატორების მიკროსქემებს გააჩნიათ ძაბვის გამოყვის მისაერთებელი დამატებითი საკონტაქტო გამომყენი (მეტ გამომყენი). ამის გამო, სტაბილიზატორის ასეთ მიკროსქემას ოთხგამომყენიანი სტაბილიზატორსაც უწოდებენ (სურ. 2. 11, ა). ოთხგამომყენიანი სტაბილიზატორები მირითადად მაშინ გამოიყენებიან, როდესაც აუცილებელია არასტანდარტული სიღიდის გამოსავალი ძაბვების მიღება ან გამოსავალი ძაბვის ზუსტი დაცენტრაცია. სხვა მხრივ ოთხგამომყენიანი სტაბილიზატორი არ განსხვავდება სამგამომყენიანისაგან.



სურ. 2.10. კომუნიკაციური სტაბილიზატორის
სტრუქტურული სქემა მარტივი და კლემტუ მცირე ძაღვის გარღით



სურ. 2.11. რეგულირებადი სტაბილიზატორები
ოთხგამომყანიან 0მს-ზე (ა) და სამგამომყანიან 0მს-ზე (ბ)

ძაბვის ინტეგრალური სტაბილიზატორების მქმ დამოკიდებულია შესავალ და გამოსავალ ძაბვებს შორის თანაფარდობაზე

$$\eta = U_d I_{\text{g}} / (U_d I_{\text{g}}) = U_d / U_d$$

და შესაძლებელია მიიღოს მნიშვნელობები 30%-დან 80%-მდე ფარგლებში.

რეგულირებადი გამოსავალი ძაბვის მიღება შესაძლებელია არა მხოლოდ ოთხგამომყანიანი სტაბილიზატორის საშუალებით, არამედ სამგამომყანიანი სტაბილიზატორითაც, როგორც ეს 2.11, ბ სურათზე ნაჩვენები. ოთხგამომყვანიან სტაბილიზატორში ძაბვის გამოყოფი მიუღერთდება 0მს-ის დამატებით გამომყვანს (2.11, ა სურათზე გამომყვანი 4), ხოლო სამგამომყვანიანში – როგორც ეს 2.11, ბ სურათზე ნაჩვენები. ამ შემთხვევაში გამოსავალი ძაბვა განისაზღვრება შემდეგი გამოსახულებით

$$U_d = U_{\text{d},\text{bl}} \left(1 + R_2 / R_1 \right) + I_{\text{d},\text{bl}} R_2 > U_{\text{d},\text{bl}}$$

სადაც $U_{\text{d},\text{bl}}$ – მიკროსქემის ფიქსირებული გამოსავალი ძაბვაა;

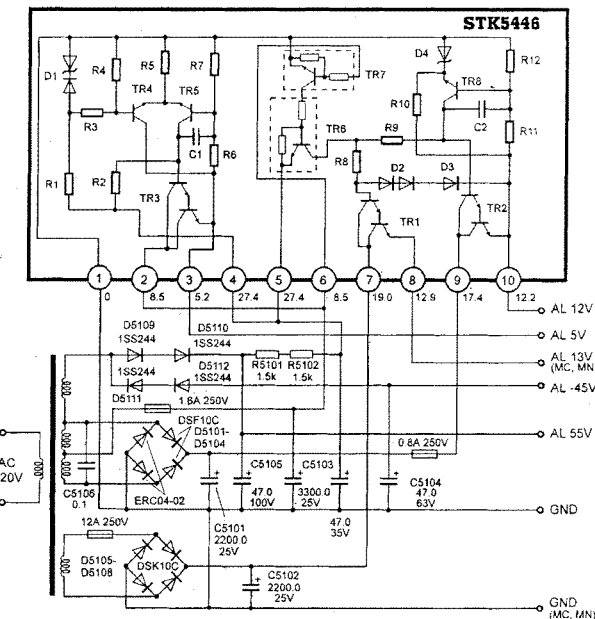
$I_{\text{d},\text{bl}}$ – 0მს-ის მიერ კვების წყაროდან მოხმარებული დენი.

2.3.3. უწვევები ქმედების ძაბვის

სტაბილიზატორიანი კვების ბლოკის მაგალითი

ამჟამად უწვევები ქმედების ძაბვის სტაბილიზატორიანი კვების ბლოკები უპირატესად გამოიყენებიან ვოლფმაგნიტორებსა და გადასატანი ტელეფონურების მარტივ მოდელებში. კვების ასეთ ბლოკებს მნიშვნელოვან ღირსებამ ერთად (სიმარტივე, მაღალი საიმედოობა, დაბალი ღირებულება) გააჩნიათ სერიოზული ნაკლოვანებები: დიდი მასა და გაბარიტული ზომები, დაბალი მქე, გაბნევილი მაგნიტური კვლების მიერ შექმნილი დაბრკოლებები.

განვიხილოთ უწვევები ძაბვის სტაბილიზატორიანი კვების ბლოკის სქემოტექნიკური შესრულება ფირმა SONY SLV 262EE ვიდეომაგნიტოფონების კვების ბლოკის მაგალითზე. კვების ბლოკის პრინციპული სქემა 2.12 სურათზეა წარმოდგენილი.



სურ. 2.12. SONY SLV 262EE ვიდეომაგნიტოფონის კვების ბლოკი

კვების ბლოკი შედგნილია კლასიკური სქემის მიხედვით: ტრანსფორმატორი – გამართველი – უწყვეტი ქმედების ძაბვის კომპენსაციური სტაბილიზატორი. სტაბილიზატორის ძირითადი კვანძია IC521 STK5446 ინტეგრალური მიკროსქემა, რომელშიც ინტეგრირებულია მიმღევრობითი ტიპის სამი კომპენსაციური სტაბილიზატორი +5 ვ. +12 ვ და +13 ვ გამოსაცავით დაბეჭით.

+5 ვ ძაბვის სტაბილიზატორი აწყობილია TR3...TR5, R1...R7, C1 და D1 ელემენტებზე. შედარების სქემა და გაუთანაბრივის სიგნალის მაძლიერებელი შესრულებულია TR4 და TR5 ტრანზისტორებზე. +27 ვ საყრდენი ძაბვის (სტაბილიზატორი D1) მისაღებად 0მს-ის მე-4 გამომჟანს მიეწოდება დამატებითი ძაბვა, რომელიც მიიღება +55 ვ გამართველიდან R5101 და R5102 ძაბვის გამყოფის საშუალებით.

+12 ვ ძაბვის სტაბილიზატორი აწყობილია TR2 შედგნილ ტრანზისტორზე შედარების სქემა და გაუთანაბრივის ძაბვის მაძლიერებელი შესრულებულია TR8, C2, R10 და R11 ელემენტებზე. საყრდენი ძაბვის წყარო D4 სტაბილიტორი. შესავალი ძაბვა მიეწოდება 0მს-ის მე-9 გამომჟანს D5101..D5104 და C5101 ელემენტებზე აწყობილი გამართველიდან.

+13 ვ ძაბვის სტაბილიზატორი აწყობილია TR1 შედგნილ ტრანზისტორზე. საყრდენი ძაბვის წყაროდ გამოყენებულია D₂, D₃ დიოდებზე ძაბვის ვარღნებისა და +12 ვ სტაბილიზატორის გამოსავალ ძაბვათა ჯამი. სტაბილიზატორის შესავალი ძაბვა მიეწოდება 0მს-ის მე-7 გამომჟანს D5105..D5108 და C5102 ელემენტებზე შესრულებული გამართველიდან.

+55 ვ და -45 ვ პირველადი ძაბვების შეწყვეტის შემთხვევაში +12 ვ და +13 ვ ძაბვების სტაბილიზატორები ავარიულად გამოირთვება, რასაც ანხორციელებს TR7 და TR6 ტრანზისტორებზე აწყობილი კვანძი. ამ შემთხვევაში გამოირთვება +5 ვ ძაბვის სტაბილიზატორიც.

+12 ვ ძაბვის სტაბილიზატორის გამოსასვლებზე მოქლედ ჩართვის აღმერის შემთხვევაში D3 დიოდი და, მაშასადამე TR1 შედგნილი ტრანზისტორის ბაზა დამოკლება კორეუსტება. რის გამოც TR1 ჩაიქმნება და +13 ვ ძაბვის სტაბილიზატორის გამოსასვლებზე ძაბვა აღარ იარსებებს.

3. ელემენტობების იმპულსური ტრანზისი

3.1. ელემენტობების იმპულსური

წყაროების სახეები და მუშაობის თავისებურებები

თანამედროვე რადიოელექტრონული აპარატებზე და კომპიუტერული ტექნიკის ელემენტობების სისტემებში ფართოდ გამოიყენება კვების წყაროები გამოსავალი ძაბვის განედურ-იმულსური სტაბილიზაციით. ასეთ ელემენტობების წყაროებს გააჩნიათ მაღალი მძპ, მცირე გაბარიტული ზომები და მასა, მაღალი ხვედროით სიმძლავრე, ეს დადგებითი ოფენები განაირიბებულია იმით, რომ ძალური მარეგულირებელი ელემენტი ასეთ წყაროებში მუშაობს გასაღებისებურ რეჟიმში. ძალური მარეგულირებელი ტრანზისტორის გასაღებისებურ რეჟიმში მუშაობის დროს მისი მუშა მდგრმარების განამსაზღვრელი წერტილი დროის დიდ ნაწილში იმყოფება გაჯერების ან მოკვეთის არეში, ხოლო აქტურ ზონას გაირებენს დიდი სიჩქარით (გადართვის ძალზე მცირე დროში). გაჯერების რეჟიმში ძაბვის ვარდნა ტრანზისტორზე, ხოლო მოკვეთის რეჟიმში ტრანზისტორში გამავალი დენი წელთანაა ახლოს, ამიტომ გასაღებისებურ რეჟიმში მუშაობის დროს ტრანზისტორულ მარეგულირებელ ელემენტში გამოიყოფა მნიშვნელოვან ნაკლები სიმძლავრე, ვიდრე წრფივ (აქტურ) რეჟიმში მუშაობის შემთხვევაში. ძალურ ტრანზისტორულ გასაღებში სიმძლავრის მცირე დანაბარების გამო, ტრანზისტორის დამაგრება გამართველი რადიატორზე საჭირო აღარ არის.

საღებესოდ გავაქს იმპულსური ელემენტობების სამი ტიპი, რომლებიც კვების წყაროების სახით გამოიყენებიან: გარდამქნელი – ცვლადი დენი/მუდმივი დენი (AC-DC კონვერტორი), გარდამქნელი – მუდმივი დენი/მუდმივი დენი (DC-DC კონვერტორი) და გარდამქნელი – მუდმივი დენი/ცვლადი დენი (ინვერტორი). თითოეულ ამ გარდამქნელს გამოყენების საკუთარი სფერო გააჩნია.

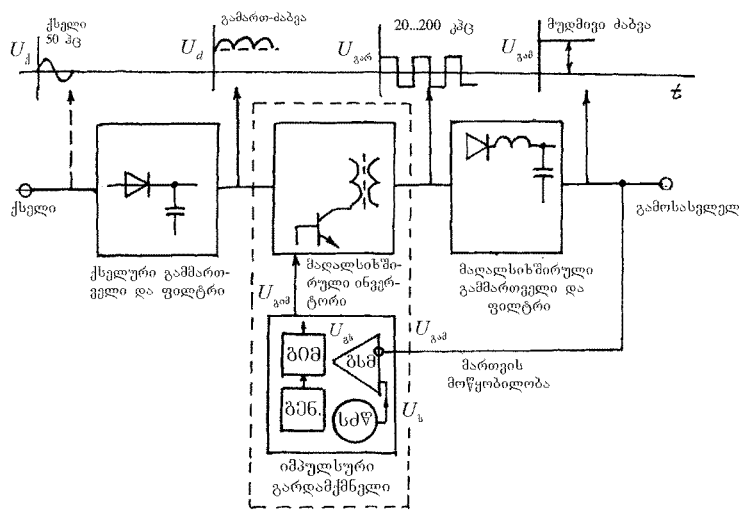
იმპულსური კვების წყაროების მასა-გაბარიტული მახასიათებლების გაუმჯობესება პირველ რიგში განკირობებულია იმით, რომ ასეთ კვების წყაროში არ შედის 50 ჰც სისტორის ცვლადი დენის ქსელთან მიერთებული ძალური ტრანსფორმატორი. მის ნაცვლად კვების წყაროს სქემაში ჩართულია მაღალსისშირული ტრანსფორმატორი (ან დროსები), რომლის გაბარიტული ზომები და მასა გაცილებით ნაკლებია ქსელზე უშესებრ მიერთებული (დაბადი სისტორის) ტრანსფორმატორის ზომებსა და მასაზე.

AC-DC კონვერტორის განხოგადობებული სტრუქტურული სქემა მოცემულია 3.1 სურათზე. იგი შედგება ოთხი ძირითადი ბლოკისაგან:

- ტევადობითფილტრიანი ქსელის ძაბვის გამართველი;
- გამართული ძაბვის მაღალსისშირული ინვერტორი;

• მაღალსიხშირული ინვერტორის მართვის სქემა (მართვის სპეციალიზებული მიკროსქემა);

- ტევადობითფილტრიანი მაღალსიხშირული გამომავალი გამმართველი.



სურ. 3.1. ტევადობითფილტრიანი მაღალსიხშირული გამმართველი და ფილტრი სტრუქტურული სქემა

მაღალსიხშირული ინვერტორი, მართვის მოწყობილობასათან ერთად, წარმოქმნის ინდუქციური და ტევადობითი ხასიათის იმპულსურ გარდამქმნელის. უფრო ფართო ინდუქციური იმპულსური გარდამქმნელებია პრაქტიკაში გამოყენებული. ამ ხასის გარდამქმნელები შეიძლება დაიყოს დროსელურ (ან ავტორანსფორმატორულ) და ტრანსფორმატორულ ჯგუფებად. ტევადობითი იმპულსურ გარდამქმნელებს შედარებით შეზღუდული გამოყენება აქვთ – ძაბვის პოლარობის ინვერსია ან ძაბვის გამრავლება (უფრო ხშირად ძაბვის გაორმაგება).

განვიხილოთ ტევადობით იმპულსური წაროვბის მოქმედების პრინციპი 3.1 სურათზე წარმოდგენილი სტრუქტურული სქემის მიხედვით. ძალური ქსელის სინუსოდური ძაბვა გაიმართება გამმართველით, რომელის გამოსახვლელზე ჩართულია დიდი ტევადობის მქონე კონდენსატორი. ამიტომ გამმართველ ძაბვას განანია მცირე ჰუდსაცია. გარდა ამისა, ძალური ქსელის გამორთვისას გამმართველის გამოსახვლელზე ძაბვა შენარჩუნდება საქმართველოს მიერთვის დროს 100 ვტ, მაშინ კოლექტორის კონდენსატორი გამოსახალ ძაბვას შეაკავებს დახასიათებით 20 მლწ-ის

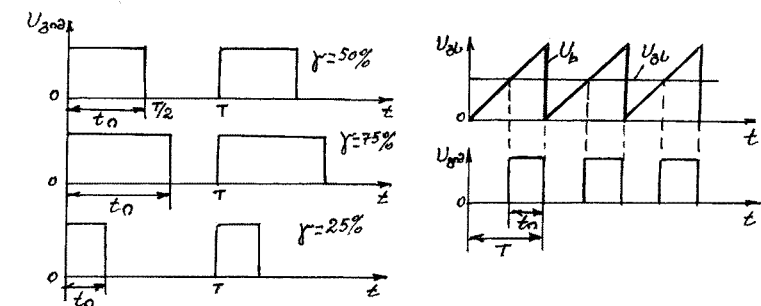
განმავლობაში. 220ვ ქსელის ძაბვის დროს ძაბვა ფილტრის კონდენსატორზე დაახლოებით 300 ვ-ის ტოლია.

გამართული ძაბვა მიეწოდება იმპულსური გარდამქმნელის შესახვლელს, რომელიც მას გარდაუქმნის მართვულსა ფორმის იმპულსურ ძაბვად. იმპულსური ძაბვის სიხშირე ჩვეულებრივ მოთავსებულია 20 კტ-დან 200 კტ-მდე საზღვრებში. გარდამქმნელის სიხშირის გაზრდისას იზრდება სვერტითი სიმძლავრე. მაგრამ, ამავე დროს, იზრდება დნაკარგები გარდამქმნელის ელემენტებში და, მაშასადამე, მცირდება მძპ.

იმპულსური გარდამქმნელის გამოსახალი ძაბვა მიეწოდება ტევადობითფილტრიან მაღალი სიხშირის გამმართველს. მაღალი სიხშირის შემთხვევაში გამმართველისა და ფილტრის ელემენტებს წაეკიტოთ მკაცრი მოთხოვნები: გამმართველში გამოყენებული დიოდების ჩაკტილი მდგომარეობის აღდგენის დრო არ უნდა აღემატებოდეს 10...100 ს ჭრის ხოლო ფილტრის კონდენსატორს არ უნდა გააჩნდეს ინდუქციურობა.

უმრავდეს შემთხვევაში მაღალსიხშირული ინვერტორი ფიქსირებულ სიხშირეზე მუშაობს, ხოლო გარდამქმნელის გამოსახალი ძაბვის რეგულირება ხორციელდება მართვის იმპულსების განვიზუ-იმპულსური მოდულაციის მეთოდის გამოყენებით. განვიზუ-იმპულსური რეგულირების რეალიზაცია ხდება მართვის სქემის საშუალებით, რომლის ერთ-ერთ შესახლელსაც მიეწოდება იმპულსური გარდამქმნელის გამოსახალი ძაბვა. მართვის სიგნალების ფორმა განვიზუ-იმპულსური მოდულაციის დროს 3.2 სურათზეა ნაჩვენები.

განვიზუ-იმპულსური მოდულაციის სიღრმეს ახასიათებენ შევსების კომფიციენტი $\gamma = \frac{t_o}{T}$, სადაც t_o (ton) მართვის იმპულსის ხანგრძლივობაა, ხოლო $T = \frac{1}{f}$ – განმეორების პერიოდი. თუ იმპულსის ხანგრძლივობა შეადგენს პერიოდის ნახევარს, მაშინ $\gamma = 0,5$, ე.ი. 50%. იმპულსის ხანგრძლივობის გაზრდისას შევსების კომფიციენტი იზრდება 100%-მდე საზოგადოდ შევსების კომფიციენტი $0 \leq \gamma \leq 100\%$.



სურ. 3.2. იმპულსების ფორმა განვიზუ-იმპულსური მოდულაციის დროს (ა) და მათი მიღების ხერხი (ბ)

განედურად მოდულირებული იმპულსების მიღების მეთოდი ნაჩვენებია 3.2, ბ სურათზე 3.1 სურათზე ნაჩვენებ სქემაში თავდამატებული წარმოადგება გაუთანხმოების (შეცდომის) სიგნალი U_{d} . ამისათვის მართვის სქემის შესასვლელზე მიეწოდება სქემის გამოსასვლელის ძაბვა U_{d} , რომელიც შეედრება საყრდენი (ეტალონური) ძაბვის წყაროდან მიღებულ U_{d} ძაბვას.

განედური იმპულსური მოდულატორის (ბ0მ) სქემაში გაუთანხმოების სიგნალი U_{d} . შედარღება წრფივი კანონით ცვალებად ხერხისებური ფორმის ძაბვას U_{d} . თუ ბ0მ-ის საწყისი მდგომარეობის დროს მივიჩნევთ, რომ $U_{\text{d}} = U_{\text{max}}/2$, სადაც U_{max} – ხერხისებური ძაბვის ამპლიტუდა, მაშინ საწყისი მდგომარეობის დროს $\gamma = 50\%$.

გამოსავალი ძაბვის მომატებისას ($U_{\text{d}} > U_{\text{d}} \text{ ნო}$) გაუთანხმოების სიგნალიც გაიზრდება ($U_{\text{d}} > U_{\text{max}}/2$), ხოლო მართვის იმპულსის ხანგრძლივობა შემცირდება (როგორც ეს 3.2, ბ სურათიდან გამომდინარეობს).

გამოსავალი ძაბვის შემცირებისას (ნომინალურ სიდიდესთან შედარებით) გაუთანხმოების სიგნალიც შემცირდება ($U_{\text{d}} < U_{\text{max}}/2$), ხოლო იმპულსის ხანგრძლივობა გაიზრდება.

იმპულსის ხანგრძლივობის ცვალებადობა იწვევს ძალური ტრანზისტორული გასაღების ღია მდგომარეობაში ყოფნის ხანგრძლივობის შეცვლას და, მაშასადამე, გამოსავალი ძაბვის პროპორციულ ცვლილებას. ამგვარად, რეგულირებად ბ0მ-ინვერტორში უზრუნველყოფილია გამოსავალი ძაბვის სტაბილიზაცია.

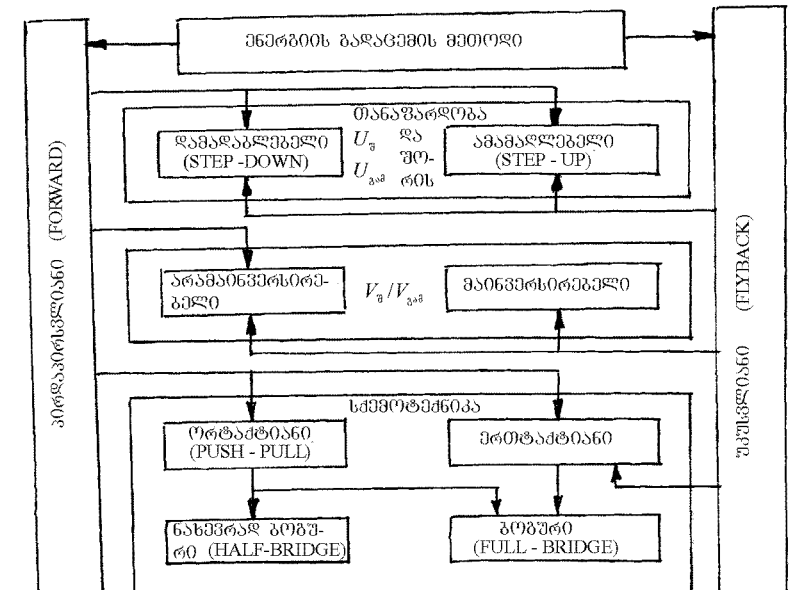
33. სურათზე მოცემულია იმპულსური მეორეული ელექტროგების წყაროების პირობითი კლასიფიკაცია.

დროსებური და აგროტრანსფორმატორული გარდამქნელები მიეკუთვნებიან იმპულსურ სტაბილიზატორია რიგს, რომელიც შეიძლება დაიყოს სამ ჯგუფად: დამადაბლებელი, ამამაღლებელი და მაინვერსირებელი.

იმპულსურ სტაბილიზატორებში გამომავალ და ძალურ ქსელს შერის არსებობს გალვანური (ელექტრული) კავშირი. ამ კავშირის გამორიცხვის მიზნით იმპულსური სტაბილიზატორის შესასვლელზე ზოგჯერ რთვენ ძალურ ტრანსფორმატორს, რაც იწვევს მისი ხვედრითი სიმძლავრის შემცირებას.

ტრანსფორმატორულ იმპულსურ გარდამქნელებში გალვანური კავშირი გამომავალ და შემავალ წრედებს შერის არ არსებობს, მაგრამ მათი ხევდრითი სიმძლავრე დროს სელური იმპულსური გარდამქნელების ხევდრით სიმძლავრეზე ნაკლებია. ტრანსფორმატორული იმპულსური გარდამქნელები შეიძლება დაიყოს ორ ჯგუფად: ერთაქტიანი და ორტაქტიანი. ერთაქტიან გარდამქნელებში გამოსასვლელზე სიმძლავრე მიეწოდება გარდამქნის პერიოდის მხოლოდ ერთ ნაწილში. თუ ენერგიის გადაცემა ხდება ძალური

გასაღების ღია მდგომარეობის დროს, მაშინ ასეთ გარდამქნელს უწოდებენ პირდამატებულის (Forward). იმ შემთხვევაში კი, როდესაც გამოსასვლელს ენერგია გადაეცემა ძალური გასაღების ჩაკეტილი მდგომარეობის დროს, მაშინ გარდამქნელს უკუსვლიანი ეწოდება (Flyback).



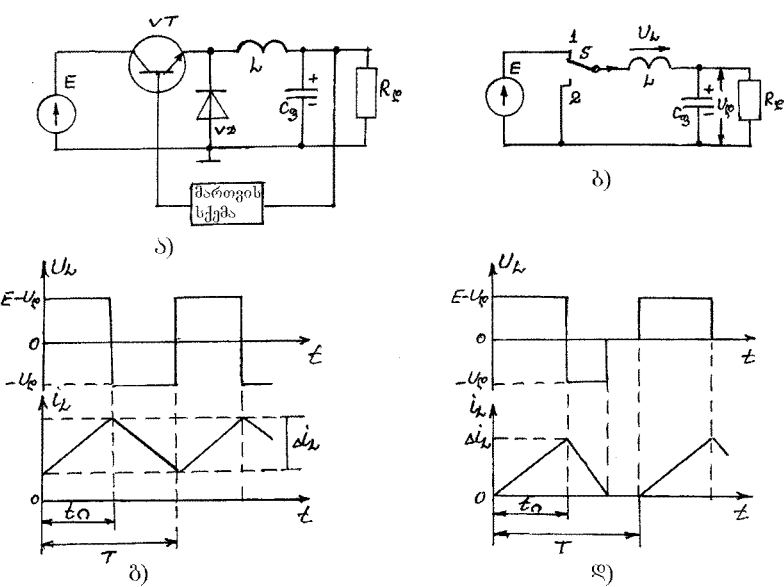
სურ. 3.3. იმპულსური მმდუ-ქის პირობითი კლასიფიკაცია

ორტაქტიან გარდამქნელებში გამოყენებულია გარდამქნის პერიოდის თრივე ნაწილი. ერთაქტიანი გარდამქნელისგან განსხვავდით, ორტაქტიანი გარდამქნელების მუშაობის პროცესში ტრანსფორმატორის გულარის მედმივი დენით შემაგნიტებას აღიღილი არ აქვს. ორტაქტიანი გარდამქნელები შეიძლება დაიყოს შემდეგ ჯგუფებად: ერთაშა (Push-Pull), ბოგური (Full-Bridge) და ნახევრად ბოგური (Half-Bridge).

3.2. ძაბვის იმპულსური სტაბილიზატორები

3.2.1. ძაბვის დამადაბლებელი იმპულსური სტაბილიზატორი

ძაბვის დამადაბლებელი იმპულსური სტაბილიზატორი მიეკუთვნება DC-DC (მუდმივი დენი/მუდმივი დენი) გარდამქნელთა ჯგუფს. სტაბილიზატორის პრინციპული სქემა მოცემულია 3.2 სურათზე.



სურ. 34. მაბვის დამაღაბლებელი სტაბილიზატორის პრინციპული სქემა (ა),
მისი კავიალტერული სქემა (ბ), დროსების მაბვისა და დენის დიაგრამები: უწყვეტი
დენის რეჟიმში (გ) და წყვეტილი დენის რეჟიმში (დ)

სქემა შეიცავს შემდეგ აუცილებელ ელემენტებს:

- ძალური გასაღები (ძალური ბიპოლარული ტრანზისტორი ან გელიო მართული ტრანზისტორი), რომელიც ანხორციელებს დენის მაღალსიხშირულ კომუტაციას;
- განმუხტვის დიოდი VD;
- დაბალი სიხშირის L, C ფილტრი;
- მართვის სქემა და უკუკავშირის კვანძი, რომელიც ანხორციელებს მაბვის ან დენის სტაბილიზაციას.

ძალური ტრანზისტორული გასაღები (VT) და ფილტრის დროსები (L) ჩართულია R_L დატვირთვის მიმღევრობით.

გამოსავალი მაბვის პულსაციის შესამცირებლად დატვირთვის პარალელურად ჩართულია ფილტრის C_0 კონდენსატორი.

მართვის სქემა ახდენს ტრანზისტორული გასაღების პერიოდულ ჩართვა-გამორთვას (გაღტანა-გამტვას). ტრანზისტორის გამორთვის (ჩაგტვის) დროს ინდუქციურობაში აღმდეგი თვითინდუქციის გ.მ.დ. დენის VD დიოდს და ამ ინდუქციურობასა და კონდენსატორში დაგროვილი ენერგია განიმუხტება R_L დატვირთვაზე. დროსების დენი ამ დროს იწყებს წრფივი კანონით შემცირებას, რაც გაგრძელდება VT ტრანზისტორის ხელახად ჩართვამდე (გაღტანამდე).

34. ბ სურათზე ჭარმოდგენილია სტაბილიზატორის ჩანაცვლების (კავიალტერული) სქემა, რომელშიც VT ტრანზისტორული გასაღები და VD დიოდი შეცვლილია შექანიკური გადამრთველით S. ტრანზისტორის ღია მდგომარეობას შესაბამება S-ის „1“ კონტაქტზე გადართვა, ხოლო ტრანზისტორის ჩაკეტილ მდგომარეობაში გადასცლას S-ის გადართვა „2“ კონტაქტზე. სქემის კლემების შეცვალის შესაბამისად დროსები გამავალი დენი შეიძლება იყოს როგორც უწყვეტი, ისე წყვეტილი სახის.

უწყვეტი დენის შესანარჩუნებლად დროსების ინდუქციურობა უნდა შეირჩეს შემდეგი გამოსახულების მიხედვით:

$$L > TR_L (1 - \gamma_{\min}) / 2, \quad (3.1)$$

სადაც γ_{\min} – შეცხების კოეფიციენტის მინიმალური მნიშვნელობაა.

VT ტრანზისტორის ჩართვისას (S გადართულია „1“ კონტაქტზე) L ინდუქციურობაში გამავალი დენი იწყებს ზრდას და ტრანზისტორის გამორთვის მომენტში მას ექნება მაქსიმალური მნიშვნელობა. ტრანზისტორის ღია მდგომარეობის დროს აღილი აქს ფილტრის ინდუქციურობასა და ტრანზისტორში ენერგიის დაგროვებას და დატვირთვაზე მაბვის მცირედ მატებას.

VT ტრანზისტორის გამორთვისას (ჩაკეტვისას) (S გადართულია „2“ კონტაქტზე) L ინდუქციურობაში აღმრული თვითინდუქციის გ.მ.დ. დენის VD დიოდს და ამ ინდუქციურობასა და კონდენსატორში დაგროვილი ენერგია განიმუხტება R_L დატვირთვაზე. დროსების დენი ამ დროს იწყებს წრფივი კანონით შემცირებას, რაც გაგრძელდება VT ტრანზისტორის ხელახად ჩართვამდე (გაღტანამდე).

ენერგიის დაგროვების გრაფზე დროსები (E - U_R)-ს ტოლი ძაბვა, ხოლო გნერგიის განმუხტვის გრაფის დაწყებისას დროსები (E - U_R)-ს (სურ. 3.4, გ), ე.ი. დროსები მოქმედი ძაბვის ცვლილება E -ს ტოლი იქნება. დატვირთვაზე მოქმედი ძაბვა კი შეცხების კოეფიციენტის პროპორციულია

$$U_R = \gamma E. \quad (3.2)$$

დროსების ინდუქციურობის შემცირებისას ((3.1)-ის მიხედვით განსაზღვრულ მნიშვნელობასთან შედარებით) იგი მუშაობას დაიწყებს წყვეტილი დენის რეჟიმში. დროსების დენს ამ შემთხვევაში აქვს 34. დ სურათზე ნაჩვენები სახე. როდესაც დროსები გამავალი დენი ნულამდე დაეცემა VD დიოდი ჩაიკეტება (S იმყოფება „1“ და „2“ კონტაქტებს შორის). ამიტომ დროსების ძაბვა U_L და დენი i_L VT ტრანზისტორის ხელახად ჩართვადე ნულის ტოლი სიდიდის. დროსების წყვეტილი დენის რეჟიმში მუშაობის დროს მნიშვნელოვნად მცირდება ტრანზისტორული გასაღების სიმძლავრის მიხედვით გამოყენების კოეფიციენტი, აუცილებელი ხდება ფილტრის კონდენსატორის ტეპადობის გაზრდა, იხრდება დატვირთვის დენის პულსაციის

კოუფიციენტი. ზემთაღნიშვნულიდან გამომდინარე, სტაბილიზატორის სქემის ასეთ რეჟიმში მუშაობა მიზანშეწონიდი არ არის.

სტაბილიზატორის გაანგარიშების დროს დროსელის ინდუქციურობის გარდა დიდი მნიშვნელობა აქვთ ფილტრის კონდენსატორის ტევადობის სიდიდის დადგენის დატვირთვაზე საჭირო ხასიათის მუდმივი ძაბვის მისაღებად. იმპულსური ხასიათის ძაბვიდან მუდმივი შემდგენის გამოყოფისა და პარმონიული შემდგენების ჩახშობის შემაფასებელ ძირითად პარამეტრის ფილტრის გაგლუების კოუფიციენტი კარმოადგენს. ფილტრების უმრავლესობისათვის

$$q = 1/k, \quad (34)$$

სადაც k – ფილტრის გადაცემის კოუფიციენტია.

მარტკუთხა ფორმის იმპულსური ძაბვის პარმონიული შემდგენის მიმართ სტაბილიზატორის ფილტრის L და C კლემენტები შეიძლება მივიჩნიოთ ძაბვის გამყოფად, რომლის გადაცემის კოუფიციენტი

$$K = \frac{1/\omega c}{\omega L + 1/\omega c} = \frac{1}{\omega^2 L c + 1}. \quad (35)$$

LC ფილტრი წარმოქმნის რეზონანსულ სისტემას. ამ სისტემის რეზონანსული სისტემი

$$\omega_0^2 = \frac{1}{LC}. \quad (36)$$

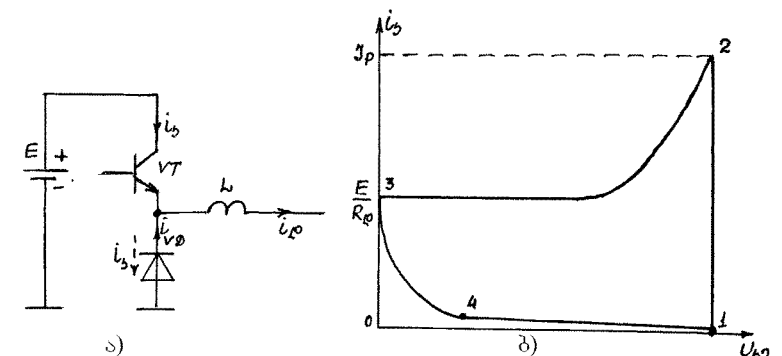
ამიტომ, როდესაც $\omega^2 L c > 10$, მაშინ (35)-ის მნიშვნელში შესაძლებელია „I“-ის უბალუებელყოფა და ფილტრის გაგლუების კოუფიციენტი ანალიზურად ასე ჩაიწერება

$$q = 4\pi^2 f^2 L C, \quad (37)$$

სადაც f – მართვის სქემის მუშაობის სისტემა.

ერთრგოლიანი Γ-სეტური LC ფილტრის გაგლუების კოუფიციენტი (q), ფილტრის ოპტიმალური მასა-გაბარიტული მანქანებლების მიღების თვალსაზრისით, მიზანშეწონილია არ აღმატებოდეს 30...40-ს. გაგლუების კოუფიციენტის საჭირო სიდიდის მიხედვით (3.7)-დან განისაზღვრება ნამრავლი LC, ხოლო L-ის შერჩევით სიდიდის მიხედვით ვიმოვთ ფილტრის კონდენსატორის ტევადობის სიდიდეს.

ცალკე უნდა შევვხოთ სტაბილიზატორის სქემაში გამოსაყენებელი განშეხვის VD დიოდის შერჩევის საკითხს, რადგან ამ დიოდს მუშაობა უხდება მაღალი სისტემის ძაბვის წრედში და დიდი მნიშვნელობა ენიჭება მისი გადება-ჩაკეტვის სისტაფეს სტაბილიზატორში მიმდინარე კომუტაციური პროცესების დროს.



სურ. 3.5. დენის განაწილების ხასიათი ტრანზისტორის და მდგომარეობის დროს (ა) და გრაფიკ, რომელიც ასახავს კომუტაციური პროცესების მიმდინარეობას (ბ)

როგორც ცნობილია, და დიოდის (ამ დროს VT ტრანზისტორი ჩაკეტილია) p-n გადასასვლელის საზღვრებთან ადგილი აქვთ მაღალი კონცენტრაციის მუხტების დაგროვებას. ამიტომ ტრანზისტორის ჩართვისას VD დიოდი არ ჩაიკეტება სანამ დიოდის სტრექტურაში დაგროვილი მუხტები არ გაიწვება გარე წრედში, ე. ი. და მდგომარეობიდან ჩაკეტილ მდგომარეობაში გადართვისათვის დიოდს სჭირდება განსაზღვრული დრო (დიოდის ჩაკეტილი მდგომარეობის აღდგენის დრო $t_{\text{დ}}$). ტრანზისტორული გასაღების გაღების შემდეგ, $t_{\text{დ}}$ დროის მონაკვეთში ტრანზისტორის გმიტერი და მდგომარეობაში მყოფი დიოდის გავლით მიერთებული აღმოჩნდება ნულოვან სალტესთან (მიწასთან) (სურ. 3.5, ა), რის გამოც როგორც ტრანზისტორში, ისე დიოდში გაივლის ნომინალურ დენზე რამდენიმეჯერ მცტი სიღიდის დენი. ამ დენს გადართვის პიკურ დენს (I_p) უწოდებენ (სურ. 3.5, ბ). თუ დიოდის ჩაკეტილი მდგომარეობის აღდგენის დრო მნიშვნელოვანი სიღიდისაა, შესაძლებელია დიოდისა და ტრანზისტორის მწყობრიდან გამოსვლა. დიოდის ჩაკეტის შემდეგ ტრანზისტორში გალექტორში გამავალი დენი შემცირდება ნომინალურ სიღიდემდე (სურ. 3.5, ბ, წირი 2-3).

ინერციულად მიმდინარეობს VD დიოდის ჩართვის (გაღების) პროცესი და, მაშასადამე, დატვირთვის დენის ტრანზისტორული გასაღებიდან დიოდზე გადართვის პროცესი. იმისათვის, რომ მოხდეს დიოდის სტრექტურაში ნორმალური და მდგომარეობის შესაბამისი კონცენტრაციის მუხტების დაგროვება, საჭიროა დროის განსაზღვრული მონაკვეთი, რომელსაც დიოდის ჩართვის დრო ეწოდება. მართალია დიოდის ჩართვის დრო ჩაკეტვის დროზე მნიშვნელოვნად ნაკლებია, მაგრამ დიოდის შერჩევის დროს მისი გათვალისწინება აუცილებელია. დიოდის გაღების პროცესში ტრანზისტორის კოლექტორის დენის ცვლილება მოხდება 3.5, ბ სურათზე ნაჩვენები 3-4-1 წირის მიხედვით.

იმპულსურ სტაბილიზატორში მიმდინარე კომუტაციური პროცესების დროს წარმოქმნილი პიკური დენის ჟესამცირებლად უნდა გამოიყენოთ ჩაქტილი მდგომარეობის აღდგენის მინიმალური დროის მქონე დონეები. ამ მხრივ უველავე მიზანშეწონილია მოტკის დონეების გამოყენება. ასეთ დონეებს აქვთ ჩაქტილი მდგომარეობის აღდგენის ძალაზე მცირე დრო (რამდენიმე ათეული ნაორაში). გარდა ამისა, ჟეუძლიათ გაატარო დიდი სიდიდის პირდაპირი დენის იმპულსი (240 ა-მდე ამდიტულით). ასეთი დონეების ნაკლად უნდა ჩაითვალოს დასაშუალების უძუაბების შედარებით დაბალი მნიშვნელობა. პრაქტიკაში უველავე ფართოდ გაფრცელებული მოტკის დონეების მაქსიმალურად დასაშვები უკუძაბება არ აღემატება 40...60 ვ-ს. უფრო მაღალი ძაბების გარდამქნელებში მოტკის დონეების ნაცვლად შეიძლება გამოვიყენოთ ფირმა International Rectivire-ის მაღალი მძა მქონე ჟესტრაცი HEXEREED დონეები. ამ დონეების ტექნიკური მონაცემები 3.1 ცხრილშია მოცემული.

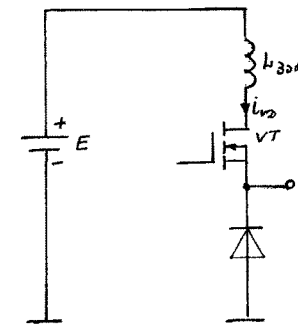
3.1 ცხრილი

| დონეის ტიპი | $U_{bmax,3}$ | $J, \text{ ა}$ | $t_{\text{და}}, \text{ ნწ}$ |
|-------------|--------------|----------------|-----------------------------|
| HFA04TB60 | 600 | 4 | 42 |
| HFA06TB120 | 1200 | 6 | 26 |
| HFA08TB60S | 600 | 8 | 55 |
| HFA15PB60 | 600 | 15 | 60 |
| HFA25PB60 | 600 | 25 | 60 |
| HFA30PA60C | 600 | 30 | 60 |
| HFA50PA60C | 600 | 50 | 60 |
| HFA70NH60 | 600 | 70 | 120 |

იმპულსურ სტაბილიზატორში მიმდინარე კომუტაციური პროცესების დროს, განმუტების დიოდის სიხშირული თვისებების გარდა, ძალური ტრანზისტორული გასაღების მუშაობის რეჟიმები გავლენას ასევენს სამონიტო საღენების პარაზიტული ინდუქციურობა (მაგალითად, ორი სანტიმეტრი სიგრძის გამტარის საკუთარი ინდუქციურობა 10 6 პნ-ის ტოლია).

დავუშვათ, სტაბილიზატორის მოცემულ სქემაში არსებობს პარაზიტული ინდუქციურობა $L_{\text{არ}}$ (სურ. 3.6), რომელიც დენის გავლის დროს გროვდება განსაზღვრული სიდიდის ენერგია. ტრანზისტორის ჩაქტებისას ამ ენერგიის განმუტებების სსვა წრედი არ არსებობს და ენერგიის დაცვა მოხდება ტრანზისტორის ჩაქტების სისწრავის შესაბამისი დროის მონაკვეთში. ამ დროს პარაზიტულ ინდუქციურობაზე იარსებებს ძაბგა

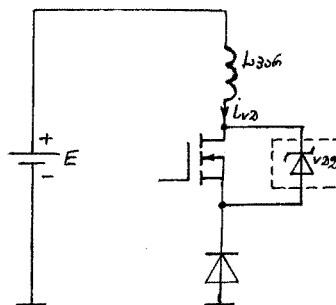
$$U_{L_{\text{არ}}} = L_{\text{არ}} \frac{di}{dt} \quad (3.8)$$



სურ. 3.6. სამონიტო გამტარების

პარაზიტული ინდუქციურობის გაფლენის აღრიცხვისათვის

თუ დავუშვებთ, რომ $\frac{di}{dt} = 10 \text{ A/ნწ}$ (რაც 2-ჯერ ნაკლებია გელით მართული ტრანზისტორების შესაბამისი პარამეტრის მაქსიმალურ ტიპურ მნიშვნელობაზე) და $L_{\text{არ}} = 10 \text{ нН}$, მაშინ $U_{L_{\text{არ}}} = 100 \text{ ვ}$. ვინაიდან ტრანზისტორის ჩაქტებისთვის ურთად იღება განმუტების VD დიოდი, ტრანზისტორის სათავე მიერთებული აღმოჩნდება ნულოვან სალტესთან (მიწასთან) და ტრანზისტორის სათავესა და ჩასაღინარს შორის იმოქმედებს ($E + U_{L_{\text{არ}}}$) ძაბგა. თუ $E = 30 \text{ ვ}$, მაშინ ჩაქტების პროცესში ტრანზისტორზე იმოქმედებს 130 ვ-ის ტოლი ძაბგა. აქედან გამომდინარე, საჭიროა შეირჩეს ტრანზისტორი შესაბამისი დასაშვები ძაბვით ან მიღებული იქნას ზომებით ჩაქტების პროცესში ტრანზისტორის გადამტებაძველებისგან დასაცავად. ტრანზისტორული გასაღების გადამტებაძველებისგან დაცვის მიზნით ფართოდ გამოიყენება სპეციალური დამცავი დონეები TRANSIL, რომელიც ტრანზისტორული გასაღების პარალელურად ჩაირთვება (სურ. 3.7.).



სურ. 3.7. TRANSIL დონეის ჩართვის სქემა

TRANSIL დოოდი თვისებით ძალზე წააგავს სტაბილიტონს. მასაც გააჩნია გამრღვევი ძაბვის განსაზღვრული სიდიდე, ამაგვე დროს მისი ამოქმედების დრო არ აღემატება რამდენიმე პიკოწამს. ძალზე მცირე ზომის მიუხედავად (მისი სიგრძე დაახლოებით 10 მმ-ია) დამცავ დოოდს შეუძლია ძალზე დიდი იმპულსური სიმძლავრის შთანთქმა (1 მლწ-ში გაბნეული სიმძლავრე ეტოლება 1500 ვტ).

32.1. ძაბვის დამადაბლებელი იმპულსური სტაბილიზატორის რეგულირების მახასიათებელი

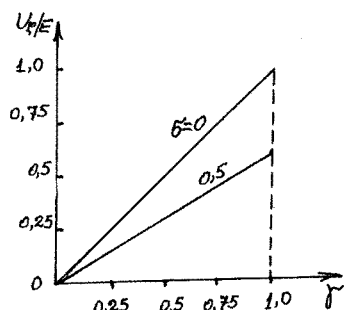
რეგულირების მახასიათებელი ასახავს სტაბილიზატორის გამოსავალი ძაბვის ფარდობითი მნიშვნელობის დამოიდებულებას იმპულსთა შეცხების γ კოეფიციენტზე $U_{\varphi}/E = f(\gamma)$. ეს მახასიათებელი ანალიზურად შემდგენ სახით შეიძლება ჩაიწეროს (32)-ის გათვალისწინებით:

$$U_{\varphi}/E = \gamma(1-\sigma)$$

სადაც $\sigma = \frac{r_L}{R_{\varphi}}$ – დროსების გრაგნილის აქტიური წინაღობის ფარდობაა დატვირთვის R_{φ}

წინაღობასთან.

ძაბვის დამადაბლებელი იმპულსური სტაბილიზატორის რეგულირების მახასიათებელი წრფივი ხასიათისაა. რეგულირების მახასიათებელის დახრილობა σ -ზეა დამოკიდებული. 3.8 სურათზე რეგულირების მახასიათებლები აგებულია $\sigma=0$ და $\sigma=0,5$ მნიშვნელობებისათვის



სურ. 3.8. ძაბვის დამადაბლებელი იმპულსური
სტაბილიზატორის რეგულირების მახასიათებლები

დატვირთვის (გამოსავალი) ძაბვა ამ სახის სტაბილიზატორში შესავალ ძაბვაზე ნაკლებია, რაც განაპირობებს მის სახელწოდებას – ძაბვის დამადაბლებელი იმპულსური სტაბილიზატორი.

32.12. ძაბვის დამადაბლებელი

იმპულსური სტაბილიზატორის დროსების დაპროექტება

მაღალი სიხშირის იმპულსურ კვების წყაროებში გამოყენებული ინდუქციური ელემენტების დაპროექტება (ერთული ვატი სიმძლავრის წყაროების გარდა) ხდება ინდივიდუალურად – კონკრეტული მოწყობილობისათვის, რაღაც მისი კონსტრუქციული პარამეტრები მრავალ ფაქტორზეა დამოკიდებული.

იმპულსური კვების წყაროში გამოყენებული დროსების გაანგარიშების დროს საწყის მონაცემად მიიჩნევა დროსების ინდუქციურობის სიდიდე L და დატვირთვის დწის იდ.

ინდუქციურ ელემენტში გამოყოფილ სითბურ ქერგიას განაპირობებს აქტიური დანაკარგები მაგნიტოგამტარში და გრაგნილის აქტიურ წინაღობაში. ამიტომ დროსების დაპროექტება ისე უნდა განსირციველდეს, რომ მასში გამოყოფილი სითბური ქერგია ეფექტურად გაიბნეს გარემო სივრცეში და არ მოხდეს დროსების გადახურვა.

დროსების ენერგოტუბადობა განისაზღვრება შემდეგი გამოსახულების მიხედვით:

$$W = \frac{L_{\varphi}^2}{2} \quad (39)$$

დროსების ენერგოტუბადობა, მეორეს მხრივ, დაკაგშირებულია მაგნიტური გულარის მოცულობასთან:

$$V_{\varphi_{\varphi}} = \sqrt[4]{\left(\frac{5 \cdot 10^3 W}{\mu_c \alpha \Delta T}\right)^3}, \quad (3.10)$$

სადაც μ_c გულარის მაგნიტური შეღწევადობაა;

α – სითბოარინების კოეფიციენტია;

ΔT – დასაშებები გადახურვებაა;

$[V_{\varphi_{\varphi}}] = \text{სტ}^2\text{-ში}.$

სითბოარინების კოეფიციენტი, როდესაც დროსები წევულებრივ პირობებში (ჰაერში) იმყოფება, ეტოლება

$$\alpha = 1,2 \cdot 10^{-3} \text{ გტ/(სტ}^2\text{C)}.$$

დროსების მაგნიტოგამტარის მოცულობა შესაძლებელია შემცირდეს, თუ მოშუშავე დროსების გაგრილებისათვის კონსტრუქციაში გენტილატორს გაფიგურისტინებთ. ამ შემთხვევაში

$$\alpha_{\nu} = \alpha \left(1 + 0,5\sqrt{V}\right),$$

სადაც V – სავენტილაციო პარამეტრის ნაკადის სიჩქარეა, მწბ;

α – სითბორინგის კოეფიციენტი ჩვეულებრივ პირობებში.

(3.10)-ში შემავალი μ_c ეკვივალენტური მაგნიტური შეღწევადობა შესაძლებელია განსხვავდებოდეს ფერომაგნიტური გულარის საჭირო მაგნიტური შეღწევადობისაგან, რადგან იმპულსური კვების წყაროებში დროსევებით ერთი პოლარობის დენზე მუშაობები, რის გამოც დროსევლის გულარაში არსებობს ნარჩენი ინდუქცია Br. ნარჩენი ინდუქციის შემცირების მიზნით დროსევლის გულარას უკეთებება არამაგნიტური დრენო.

ინდუქციური ელემენტების მაგნიტური გულარის გაბარიტული ზომები მკაცრად სტანდარტულია. ამიტომ მაგნიტური გულარის მინიმალურად შესაძლო მოცულობის დადგენის შემდგა გულარების ზომების სტანდარტული რიგიდან უნდა შეირჩეს უახლოესი ზომების მქონე რკინის გულარი. სტანდარტული ზომების მქონე III-კონსტრუქციის გულარის მოცულობა

$$V_{III} = \sqrt[4]{\frac{SS_0}{0,13}}^3, \quad (3.11)$$

სადაც S – მაგნიტოგამტარის მუშა კვეთის ფართობია, მმ²;

S_0 – ფანჯრის ფართობი, მმ².

რგოლური ფორმის მაგნიტური გულარის მოცულობა

$$V_0 = \frac{1}{\pi} \left(1 + \frac{D}{d} \right) S \sqrt{S_0} \quad (3.12)$$

სადაც S – მაგნიტოგამტარის მუშა კვეთის ფართობია, მმ²;

S_0 – ფანჯრის ფართობი, მმ².

D და d – რგოლის გარე და შიგა დიამეტრებია შესაბამისად.

დროსევლის არამაგნიტური დრენო განისაზღვრება ფორმულიდან

$$W_{bg} = \frac{l_0}{\delta}, \quad (3.13)$$

სადაც l_0 – მაგნიტოგამტარის საშუალო წირის სიგრძეა;

δ – არამაგნიტური დრენოს სიღილე.

მაგნიტოგამტარის ეკვივალენტური შეღწევადობის სიდიდე უნდა შეირჩეს 70...150 ფარგლებში.

დროსევლის გრაფიკის ხელვალთა რიცხვი უნდა შეირჩეს ფორმულიდან:

$$W_{bg} = \sqrt{\frac{Ll_0}{\mu_0 \mu_c S}} \quad (3.14)$$

ხოლო სწორედ დაპროექტებული დროსევლის შემთხვევაში უნდა შესრულდეს შემდეგი პირობება:

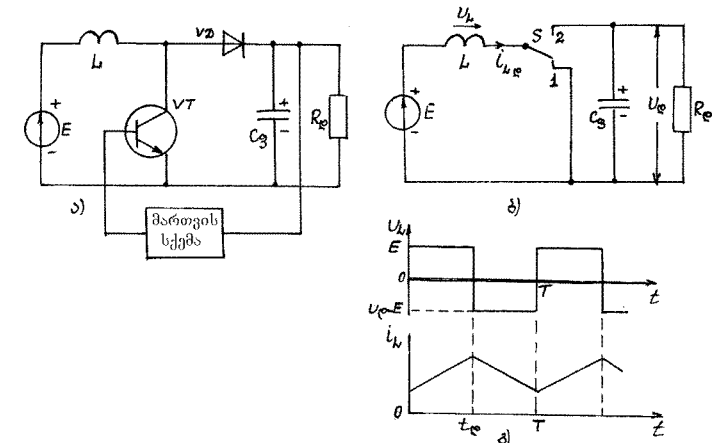
$$\frac{Li_{bg}}{W_{bg} S} \leq 0,9 B_m, \quad (3.15)$$

სადაც B_m – ინდუქციის მაქსიმალური მნიშვნელობაა.

თუ (3.15) პირობა არ სრულდება, მაშინ უნდა შეირჩეს მეტი მოცულობის მაგნიტური გულარი და ჩატარდეს ხელახალი გაანგარიშება (3.15) პირობის დაკმაყოფილებამდე.

3.2. ძაბვის ამამაღლებელი იმპულსური სტაბილიზატორი

ძაბვის ამამაღლებელი იმპულსური სტაბილიზატორის გამარტივებული პრინციპული სქემა მოცემულია 3.9 სურათზე.



სურ. 3.9. ძაბვის ამამაღლებელი იმპულსური სტაბილიზატორის სქემა (ა),
მისი ეკვივალენტური სქემა (ბ) და დროსევლის ძაბვისა და დენის გრაფიკები (გ)

ამ სქემაში დროსევლი E კების წყაროს მიმდევრობით, ხოლო დიოდი – დატვირთვის მიმდევრობით. ძალური ტრანზისტორული გასაღები VT, რომელიც პერიოდულად იღება-ი-ეტება მართვის სისტემიდან მიწოდებული იმპულსების სისშირის შესაბამისად, მიერთებულია დატვირთვის პარალელურად. ძაბვის დამადაბლებელი სტაბილიზატორისგან განსხვავებით, აქ L ინდუქციურობა არ წარმოადგენს ფილტრის ელემენტს, ხოლო გამოსავალი ძაბვა (L ინდუქციურობის სიღილისა და შეცვების კოუფიციენტის სათანადო შერჩევის გზით) შეიძლება შესასვლელზე მოწოდებული ძაბვის სიღილეზე მეტი აღმოჩნდება.

3.9, ბ სურათზე მოცემულია ძაბვის ამამაღლებელი იმპულსური სტაბილიზატორის ეკვივალენტური სქემა. VT ტრანზისტორის ჩატარვისას, რაც S მექანიკური გადამრთველის

„L“ კონტაქტზე გადართვის ტოლფასია, დროსებული კვების წყაროს E ძაბვაზე აღმოჩნდება მიურთებული. დროსებულში გაივლის დენი, რომელიც ენერგიით მუხტავს მას. როგორც ცნობილია, დროსებულზე არსებულ ძაბვასა და გამავალ დენს შორის არსებობს დამოკიდებულება

$$U_L = L \frac{di_{Lg}}{dt},$$

სადაც i_{Lg} – დროსებულის დენია დამუხტების რეჟიმში.

იმის გამო, რომ მოცემულ შემთხვევაში $U_L = E$ და E კვების წყაროს ძაბვა მუდმივი სიდიდისაა, გამოსახულებიდან

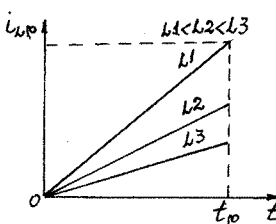
$$i_{Lg} = \frac{1}{L} \int U_L dt,$$

მივიღებთ

$$i_{Lg}(t) = \frac{E}{L} t_g, \quad (3.16)$$

სადაც t_g – დროსებულის დამუხტების ეტაპის (ტრანზისტორის ჩართული მდგომარეობის) ხანგრძლივობაა.

(3.16)-დან გამომდინარებს, რომ VT ტრანზისტორის ჩართვის შემდეგ დროსებულში გამავალი დენი იწყებს წრფივი კანონით ზრდას, რომელიც გაგრძელდება VT ტრანზისტორის გამორთვამდე (ტრანზისტორის გამორთვას მართვის სისტემა ახდენს). ყველა სხვა თანაბარი პირობების შემთხვევაში (კვების ძაბვის სიდიდე და ტრანზისტორის ჩართული მდგომარეობის ხანგრძლივობა) დროსებულში გამავალი დენის სიდიდე დამუხტების ეტაპის ბოლოს მით მეტი იქნება, რაც უფრო მცირე სიდიდისაა L ინდუქციურობა (სურ. 3.10).



სურ. 3.10. დროსებულის დენის ზრდის სინქარის დამოკიდებულება ინდუქციურობის სიდიდეზე

L დროსებულის დამუხტების ეტაპის დროს, VD დიოდი დატვირთვის წრედს მოკვეთს (ბლოკავს) და VT გასაღების წრედისგან და ფილტრის C კონდენსატორს არ აძლევს ჩართულ გასაღებზე განმუხტების საშუალებას.

VT ტრანზისტორული გასაღების ჩაეტვის შემდეგ დროსებულში დაგროვილი ქერგია და მდგომარეობაში მყოფი VD დიოდის გავლით განიმუხტება R_d დატვირთვაზე ერთდროულად იმუსტება ფილტრის C კონდენსატორიც. დროსებულის განმუხტების ეტაპს შევსაბამება S-ის „2“ კონტაქტზე გადართვა. ამ დროს კვების წყაროს E ძაბვას დაემატება დროსებულის ფილტრის გმ. და კონდენსატორსა და დატვირთვაზე აღმოჩნდება $U_R > E$ ძაბვა. დროსებულის U_L ძაბვისა და i_L დენის ფორმული ნაჩვენებია 3.9, გ სურათზე დროსებულზე მოქმედი ძაბვის ნახტომის სრული სიდიდე გასაღების კომუტაციის დროს ($U_R - 2E$)-ს ტოლია.

3.2.2.1. ძაბვის ამაღლებელი იმპულსური სტაბილიზატორის სქემის ელემენტების პარამეტრების განსაზღვრა

დროსებულის ინდუქციურობა L. სტაბილიზატორმა უნდა უზურუნველყოს დატვირთვისადმი საჭმარისი სიმძლავრის მიწოდება

$$P_g = i_{Lg} U_g.$$

თუ გავითვალისწინებთ, რომ დატვირთვის დენი i_g დროსებულში გამავალი დენის დაახლოებით ნახევრის ტოლია $\left(i_g \approx \frac{i_L}{2} \right)$, მივიღებთ

$$P_g \approx \frac{i_L U_g}{2}. \quad (3.17)$$

ამავე დროს, დატვირთვის დენი განისაზღვრება დროსებულის დამუხტების ეტაპის დენით და არ შეიძლება აღმოჩნდეს მასზე მეტი სიდიდის. (3.16) და (3.17)-ის გათვალისწინებით შესაძლებელია დაგადგინოთ დროსებულის ინდუქციურობის მაქსიმალური მნიშვნელობა დატვირთვისადმი საჭირო სიმძლავრის გადაცემის უზრუნველყოფის პირობებში

$$L_{\max} = \frac{E U_g t_{g\max}}{2 P_g}, \quad (3.18)$$

სადაც $t_{g\max} = \frac{0,9}{f}$ – დროსებულის დამუხტების ეტაპის, ანუ ძალური გასაღების ჩართული მდგომარეობის მაქსიმალური ხანგრძლივობა.

f – ძალური გასაღების კომუტაციის სიხშირე.

(3.18)-დან გამომდინარე დროსებულის ინდუქციურობის მნიშვნელობის ზედა ზღვარს ხლუდავს დატვირთვისადმი გადასაცემი სიმძლავრის სიდიდე. რაც შეეხება დროსებულის ინდუქციურობის მნიშვნელობის ქვედა ზღვარს (დასაშვები მინიმალური მნიშვნელობა), მას ზღვდავს ტრანზისტორული გასაღების დენის დასაშვები მნიშვნელობა. დროსებულის ინდუქციურობის მინიმალური მნიშვნელობის გაანგარიშება უნდა მოხდეს ფორმულით

$$L_{\min} = \frac{E_{\min} t_{g\max}}{2i_g}. \quad (3.19)$$

დროსების ინდუქციურობის გაანგარიშება უნდა მოვახდინოთ შემდეგი თანმიმდევრობით:

- მოცემული პარამეტრების – $U_g, f, P_g, E_{\min}, t_{g\max}$ მიხედვით უნდა განისაზღვროს L_{\max} ;
- მოცემული პარამეტრების – $E_{\min}, t_{g\max}, i_g$ მიხედვით უნდა განისაზღვროს L_{\min} ;
- უნდა შესრულდეს პირობა $L_{\max} > L_{\min}$. წინადაღმდეგ შემთხვევაში გარდამქმნელი უბრალოდ ვერ შეძლებს მუშაობას.
- დროსების ინდუქციურობა უნდა შეიორჩეს $L = L_{\min}$

30 ლთის კონდენსატორი C. ფილტრის კონდენსატორი უზრუნველყოფს სტაბილიზატორის მაბეჭის პულსაციის შემცირებას. კონდენსატორის C ტევადობის სიდიდის გაანგარიშებისათვის საჭიროა დაგინდეს კონდენსატორზე (მაშასადამ დატვირთვაზე) მაბეჭის ცვლილების სიდიდე სტაბილიზატორის სრული მუშა ციკლის დროს.

ლ დროსების განმუხტვის ეტაპის დროს კონდენსატორზე მიიღება მაბეჭის ნამატი

$$\Delta U_Q = \frac{Q}{C}, \quad (3.20)$$

სადაც $Q = t_g i_{Lg}$ – დროსების განმუხტვის ეტაპზე კონდენსატორისადმი გადაცემული მუხტია;

t_g – დროსების განმუხტვის ეტაპის (კ. მალური გასაღების ჩაკეტილი მდგრამარეობის) ხანგრძლივობაა;

i_{Lg} – დროსების დენია განმუხტვის ეტაპის დროს.

თუ დავუშვებთ, რომ დროსების დამუხტვისა და განმუხტვის ეტაპების დენები ერთნაირია, კ. მაშინ $i_{Lg} = i_{Lg}$, მაშინ (3.16)-ის გათვალისწინების შემდეგ, გვექნება

$$\Delta U_Q = \frac{Et_g t_g}{LC}. \quad (3.21)$$

სტაბილიზატორის გამოსაფადი მაბეჭის პულსაციის კოეფიციენტი

$$K_s = \frac{\Delta U_Q}{U_g} = \frac{E}{U_g} \cdot \frac{t_g t_g}{LC}. \quad (22)$$

პულსაციის დასაშენები კოეფიციენტის მიხედვით (3.22)-დან განისაზღვრება კონდენსატორის ტევადობის სიდიდე.

თუ გავითვალისწინებთ, რომ $t_g = \gamma T = \gamma/f$, ხოლო $t_g = T - t_g = T(1-\gamma) = (1-\gamma)/f$, მაშინ მაბეჭის ამამაღლებელი სტაბილიზატორის დროსებისა და ფილტრის კონდენსატორის პარამეტრების გაანგარიშებისათვის შეიძლება შემდეგი გამოსახულებების გამოყენება:

$$L_{\max} = \frac{EU_g \gamma_{\max}}{2P_g f}; \quad L_{\min} = \frac{E_{\min} \gamma}{2i_{g\max} f};$$

$$K_s = \frac{E_{\min}}{U_{g\max}} \cdot \frac{\gamma(1-\gamma)}{f^2 LC} \quad (3.23)$$

გაგლობირებადი დიოდი VD. მაბლოკირებელ დიოდად მიზანშეტონილია შოტკის დიოდის გამოყენება. ასეთი დიოდისათვის დამახასიათებელია პირდაპირი ძაბვის ვარდნის მცირე მნიშვნელობა და მაღალი სწრაფქმდება (ძალზე სწრაფი ჩართვა-გამორთვა). დიოდის შერჩევა უნდა მოხდეს პირდაპირი დენისა და უკუძაბვის დასაშვები მნიშვნელობების მიხედვით.

მალური გასაღზე. მაბეჭის ამამაღლებელი იმპულსური სტაბილიზატორის მალურ მარეგულირებელ ელემენტად (გასაღებად) ბოლო დროს ძირითადად მალური ველით მართული ტრანზისტორები (ლონ-MOSFET) გამოიყენება.

3.2.2. მაბეჭის ამამაღლებელი იმპულსური

სტაბილიზატორის რეგულირების მახასიათებელი

მაბეჭის ამამაღლებელი იმპულსური სტაბილიზატორის რეგულირების მახასიათებელის ანალიზური გამოსახულების დადგენის დროს მხედველობაში უნდა იქნეს მიღებული დროსების დამუხტება-განმუხტვის ეტაპების დროს სქემის ელემენტებზე არსებული ძაბვის ვარდნები. კერძოდ, ძაბვის ვარდნებს ადგილი აქვთ: კვების წყაროს შიგა წინაღობაზე r_g , დროსების გრაგნილის აქტიურ წინაღობაზე r_L , ჩართული (ღია) გასაღების შიგა წინაღობაზე r_{VT} და მაბლოკირებელი ღია დიოდის შიგა წინაღობაზე r_{VD} . მივიჩნიოთ, რომ $r_{VT} = r_{VD}$. მაშინ დროსების დამუხტვა-განმუხტვის წრედების წინაღობები ტოლი სიდიდის იქნება

$$r = r_g + r_L + r_{VT} = r_g + r_L + r_{VD}.$$

შევაღინოთ დენების ბალანსის განტოლება დროსების ინდუქციურობის დამუხტვა-განმუხტვის ეტაპების დროს

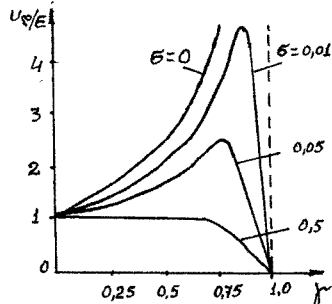
$$\frac{E - i_L r}{fL} \gamma = \frac{(U_g - E + i_L r)(1-\gamma)}{fL},$$

რომლის გამარტივების შემდეგ მივიღებთ

$$U_g = \frac{E}{\left(1 + 2 \frac{r}{R_g}\right)(1-\gamma)}. \quad (3.24)$$

რეგულირების მახასიათებელთა ოჯახი, $\frac{r}{R_{\text{g}}}$ ფარდობის სხვადასხვა მნიშვნელო-

ბებისათვის, წარმოდგენილია 3.11 სურათზე.



სურ. 3.11. ძაბვის ამამაღლებელი იმპულსური
სტაბილიზატორის რეგულირების მახასიათებელი

(3.24) სამართლიანი შეცხების კოეფიციენტის კრიტიკულ მნიშვნელობაზე ნაკლები სიდიდის დროს. როდესაც შეცხების კოეფიციენტი გადააჭარბებს კრიტიკულ მნიშვნელობას, რომელიც განისაზღვრება გამოსახულებიდან

$$\gamma_{\text{cr}} = 1 - \sqrt{\frac{r}{R_{\text{g}}}}, \quad (3.25)$$

სტაბილიზატორის რეგულირების მახასიათებელი დადმავალ სახეს ღებულობს. ამის მიზეზი ის არის, რომ r წინადაბაზე ძაბვის ვარდნას ვეღარ აკომენირებს ინდუქტორის დრინის ზრდადობა. ამიტომ (3.24)-ის გამოყენება ამ უბისათვის შეუძლებელია. იმისათვის, რომ მივიღოთ საჭაოდ განვევნილი საწყისი აღმავალი უბანი, r უნდა იყოს რაც შეიძლება მცირე სიდიდის.

როგორც 3.11 სურათიდან ჩანს, შეიძლებელია გამოსავალი ძაბვის სიდიდე რამდენიმე რიგით აღემატებოდეს შესასვლელზე მიწოდებულ ძაბვას. ძაბვის გაზრდის კოეფიციენტი, როგორც წესი, არ აღემატება 5-ს. რაც შეცხება შეცხების კოეფიციენტს, იგი შეირჩევა არა უმეტეს 0,8...0,9-ისა.

3.22.3. ძაბვის ამამაღლებელი იმპულსური სტაბილიზატორის დროსების დაპროექტება

ძაბვის ამამაღლებელი იმპულსურ სტაბილიზატორში ადგილი აქვს ძაბვის მაღალსიშირულ (100...300 ქც) გარდაქმნას. ამიტომ სტაბილიზატორის ინდუქტორი

კლემენტების (დროსები, ტრანსფორმატორი) დაპროექტების დროს აუცილებელია რიგი მოთხოვნების შესრულება. კერძოდ, ინდუქტორ ელემენტის უნდა გააჩნდეს:

• მინიმალურად შესაძლო გაბარიტული ზომები დატვირთვისადმი გადასაცემი სიმძლავრის მოცემული მნიშვნელობის დროს;

• მინიმალური აქტიური დანაკარგები მაგნიტურ გულარასა და გრაგნილში;

• ნარჩენი ინდუქციის ნულთან ახლო მნიშვნელობა.

ყველა ამ მოთხოვნას საჭაოდ კარგად აგმაყიფილებენ დროსელები, რომლებშიც გამოყენებულია ღეროვანი კონსტრუქციის ფერიტის გულარები (HH, HM, HMC მარკის ფერიტი). კონსტრუქციულად ასეთი დროსები წარმოადგენს წრიული (ზოგჯერ მართკუთხა ან კვადრატული) კვეთის ფერიტის ღეროს, რომელზეც დახვეულია იზოლირებული სპილენძის გამტარის ერთი ან რამდენიმე შრე. დროსებს გააჩნია ორი საკონტაქტო გამოყევანი.

ქვემოთ (გამოყენის გარეშე) მოცემულია ფორმულები ძაბვის ამამაღლებელი იმპულსური სტაბილიზატორის დროსების საანგარიშო სიდიდეების დასადგენად. ამ ფორმულებში გამოყენებულია დასაპროექტებელი დროსების (საანგარიშო მოცემულია 3.12 სურათზე) მაგნიტური და კონსტრუქციული სიდიდეების შემდეგი აღნიშვნები:

l – გულარის სიგრძე;

l_k – ხელულის სიგრძე;

d – გულარის დიამეტრი;

μ_c – გულარის ფარდობითი ეპიფალენტური შეღწევადობა;

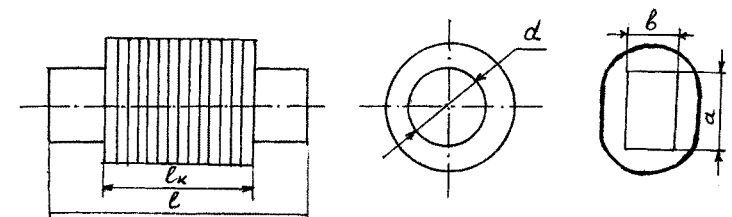
μ – გულარის მასალის საწყისი შეღწევადობა;

μ_o – მაგნიტური მუდმივა;

$k = \frac{l}{l_k}$ – გულარის გრაგნილით შეცხების კოეფიციენტი;

a, b – მართკუთხა ფორმის გულარის კვეთის გვერდები;

W_{b3} – გრაგნილის ხელულთა რიცხვი.



სურ. 3.12. ღეროვანგულარინი დროსების კონსტრუქციული პარამეტრები

დროსელის ინდუქციურობა განისაზღვრება შემდეგი ფორმულებით:

ა) $k \approx 1$ შემთხვევაში:

წრიული კვეთის მქონე გულარებისათვის

$$L = \frac{5\mu_0 W_{b3}^2}{2\pi} \cdot \frac{l}{\ln\left(\frac{l}{d}\right) - 0,818}. \quad (3.26)$$

მართკუთხა კვეთის მქონე გულარებისათვის

$$L = \frac{5\mu_0 W_{b3}^2}{2\pi} \cdot \frac{l}{\ln\left(\frac{l}{a+b}\right) + 0,29}. \quad (3.27)$$

ბ) $k \gg 1$ შემთხვევაში:

წრიული კვეთის მქონე გულარებისათვის

$$L = \mu_0 W_{b3}^2 d \left[0,75 \frac{l}{d} + 0,3 \right]. \quad (3.28)$$

მართკუთხა კვეთის მქონე გულარებისათვის

$$L = 1,13 \sqrt{ab} \mu_0 W_{b3}^2 \left[0,66 \frac{l}{\sqrt{ab}} + 0,3 \right]. \quad (3.29)$$

გ) $k \gg 1$ და $\frac{l}{d} \geq 20$

წრიული მართკუთხა კვეთის მქონე გულარებისათვის

$$L = 0,75 \mu_0 W_{b3}^2 l. \quad (3.30)$$

გულარის კვივალენტური შეღწევადობა განისაზღვრება შემდეგი მიახლოებითი ფორმულების გამოყენებით:

ა) წრიული კვეთის მქონე გულარისათვის

$$\mu_c = \frac{\left(\frac{l}{d}\right)^2}{\ln\left(\frac{l}{d}\right) - 0,818}. \quad (3.31)$$

ბ) მართკუთხა კვეთის მქონე გულარისათვის

$$\mu_c = 0,78 \frac{\frac{l^2}{ab}}{\ln\left(0,88 \frac{l}{\sqrt{ab}}\right) - 0,818}. \quad (3.32)$$

გულარის მინიმალური მოცულობა იანგარიშება ფორმულიდან

$$V_{\theta_3} = \sqrt{\left(\frac{5 \cdot 10^3 L i_{L_{\max}}}{\mu_c \alpha \Delta T} \right)^3}, \quad (3.33)$$

სადაც $[V_{\theta_3}] = \text{სმ}^3$,

$\alpha = 1,2 \cdot 10^3$ გტ/სმ²°C – სითბოარინების ტემპერატურული კოეფიციენტი;

ΔT – მაგნიტოგამტარის გაცეცლება ($\Delta T = 40^0C$).

გულარის მაგნიტური ინდუქციის მნიშვნელობა:

ა) წრიული კვეთის მქონე გულარისათვის

$$B = \frac{4 L i_{L_{\max}}}{\pi d^2 W_{b3}} \leq 0,25 \text{ ტლ}; \quad (3.34)$$

ბ) მართკუთხა კვეთის მქონე გულარისათვის

$$B = 3,12 \frac{L i_{L_{\max}}}{\pi a b W_{b3}} \leq 0,25 \text{ ტლ}; \quad (3.35)$$

დროსელის გაანგარიშებას გახდენთ შემდეგი თანმიმდევრობით:

- L -ის განსაზღვრის შემდეგ დავადგენთ მაგნიტოგამტარის მინიმალურ მოცულობას და გულარის გეომეტრიულ ზომებს;

- L -ის ცნობილი სიდიდის მიხედვით, აგრეთვე გულარის გეომეტრიული ზომების მიხედვით ვთვალისწინოთ W_{b3} ხელულია რიცხვს;

- გამოწმებთ გულარაში მაგნიტური ინდუქციის სიდიდეს;

- აუცილებლობის შემთხვევაში (თუ ინდუქცია დასაშენებ მნიშვნელობას აღემატება)

შევარწევთ მეტი გაბარიტული ზომების მქონე გულარას და გავიმურებთ W და B სიდიდეების გაანგარიშებას;

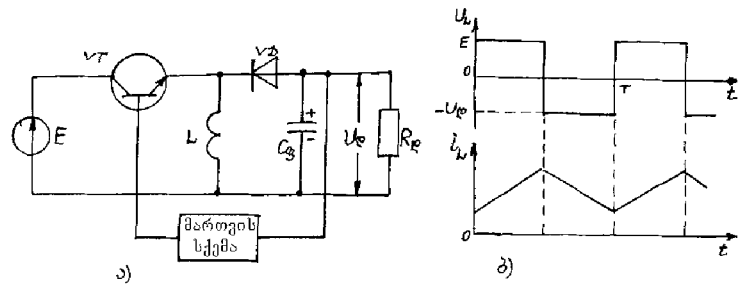
- გრაგილის გამტარის განვით კვეთის განსაზღვრის დროს გსარგებლობთ დენის სიმკერივის დასაშენები კოეფიციენტით $\sigma = (4...5) \text{ ა/მ}^2$.

3.2.3. ძაბეის მაინგერსირებელი იმპულსური სტაბილიზატორი

ამ სახის იმპულსურ სტაბილიზატორს შეუძლია იმუშავოს შესავალი ძაბეის დადაბლების, ამაღლების და შესავალი ძაბეის გამორეცების რეჟიმში. ამავე დროს, გამოსავალ ძაბეას აქვთ შესასვლელები მიწოდებული ძაბეის საწინააღმდეგო ნიშანი, რაც განაპირობებს სტაბილიზატორის სახელმოდებას – მაინგერსირებელი. ძაბეის მაინგერსირებელი იმპულსური სტაბილიზატორის სქემა მოცემულია 3.13 სურათზე.

როდესაც VT ტრანზისტორული გასაღები ჩართულია, მაშინ VD დიოდი ჩაკეტილია E ძაბეით, ხოლო L დროსებით უშეადლოდა მიერთებული კების წყაროსთან და მასში გამავალი დენი იზრდება წრფივი კანონით. ამ დროს მიმდინარეობს დროსელის ენერგიით დამუხტვის პროცესი. დამუხტვის პროცესის დენი

$$i_R(t) = \frac{E t_R}{L} = \frac{E}{L} \cdot \frac{\gamma}{f}. \quad (3.36)$$



სურ. 3.13. ძაბვის მაინვერტისირებელი იმპულსური სტაბილიზატორის სქემა (ა)
და დროსელის ძაბვისა და დენის გრაფიკები (ბ)

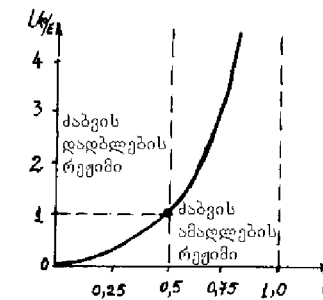
ტრანზისტორული გასაღების ჩაკეტვის შემდეგ დროსელის თვითინდუქციის ე.მ.ძ. გააღებს VD დიოდს და დროსელში დაგროვილი ენერგია იწყებს განმუხტვას დატვირთვაზე იმის გამო, რომ გასაღების კომუტაციის შემდეგ დროსელში გამავალი დენის მიმართულება უცვლელი რჩება (დიდის არსებობის გამო), დატვირთვაზე აღმოჩნდება შესასვლელზე მიწოდებელი ძაბვის საჭიროადმდებო ნიშნის ძაბვა. დროსელის განმუხტვის დენი

$$i_d(t) = -\frac{U_R(1-\gamma)}{\gamma}. \quad (3.37)$$

თუ ჩაფოლით, რომ გასაღების გადართვის მომენტში დროსელის დამუხტვისა და განმუხტვის დენები ერთნაირია, სტაბილიზატორის რეგულირების მახასიათებელი ანალიზურად ასე ჩაიწერება

$$\frac{U_R}{E} = -\frac{\gamma}{1-\gamma}. \quad (3.38)$$

როდესაც $\gamma=0,5$, მაშინ $U_R=-E$, კ.ი. ადგილი აქვს შესავალი E ძაბვის მხოლოდ ნიშნის შეცვლას (ინვერსია). თუ $\gamma < 0,5$, მაშინ მაინვერტისირებელი სტაბილიზატორი მუშავებს შესავალი ძაბვის დადაბლების რეჟიმში, ხოლო როდესაც $\gamma > 0,5$ – შესავალი ძაბვის ამაღლების რეჟიმში.



სურ. 3.14. ძაბვის მაინვერტისირებელი იმპულსური სტაბილიზატორის
რეგულირების მახასიათებელი

3.2.4. მიკროსქემები ძაბვის იმპულსური სტაბილიზატორებისათვის

ძაბვის იმპულსური სტაბილიზატორების მართვისათვის გამოყენებულ მიკროსქემებს ხშირად DC-DC (მუდმივი დენი-მუდმივი დენი) კონვერტორებსაც უწოდებენ, რადგან ისინი ახდენენ შესავალი მუდმივი ძაბვის დონის ან პოლარობის გარდაქმნას. ახეთი სტაბილიზატორები გამოიყენება იმ შემთხვევაში, როდესაც არ არსებობს შესავალი და გამოსავალი წრედების გალვანური გართვის აუკილებლობა, ხოლო პირველად წყაროს წარმოადგენს მუდმივი ძაბვის წყარო (ელემენტთა ბატარეა, აკუმულატორი, მზის ბატარეა). იმპულსური სტაბილიზატორის გამოსასვლელზე შესაძლებელია სხვადასხვა სიდიდის ძაბვის მიღება, როდესაც მის შესასვლელზე რამდენიმე ერთეული კოდეტის ტოლი ძაბვა მიერთებული. ზოგ შემთხვევაში იმპულსურ სტაბილიზატორებს იყენებენ ქსელის გამართული ძაბვის უშეალო გარდაქმნისათვის, მაგრამ ამ შემთხვევაში არსებობს გადაგანური კავშირი სტაბილიზატორის გამომავალ წრედსა და ძალურ ქსელს შორის (თუ გამართულის შესასვლელზე გამოუყენებული არ არის ძალური ტრანსფორმატორი).

სადღესოდ საზღვარგარეთის ფირმები უშევბენ იმპულსური სტაბილიზატორებისათვის სამი ნაირსახეობის ინტეგრალურ მიკროსქემას:

- ძაბვის ამამაღლებელი იმპულსურ სტაბილიზატორებს დაბალი შესავალი ძაბვით (2-დან 12 გ-მდე) და ჩაშენებული ველით მართული ტრანზისტორით (სტაბილიზატორების სერია: MAX731(1446 მიუ), MXX734 (1446 მიუ) და MAX641 (1446 მიუ));

- მცირე სიმძლავრის უნივერსალურ ინტეგრალურ მიკროსქემებს, რომელთა გამოყენება შესაძლებელია იმპულსურ სტაბილიზატორთა სხვადასხვა სქემის ასაგებად (მაგალითად, LM100(142E მიუ)) ან μA78S40(1156 ე. ე. 1);

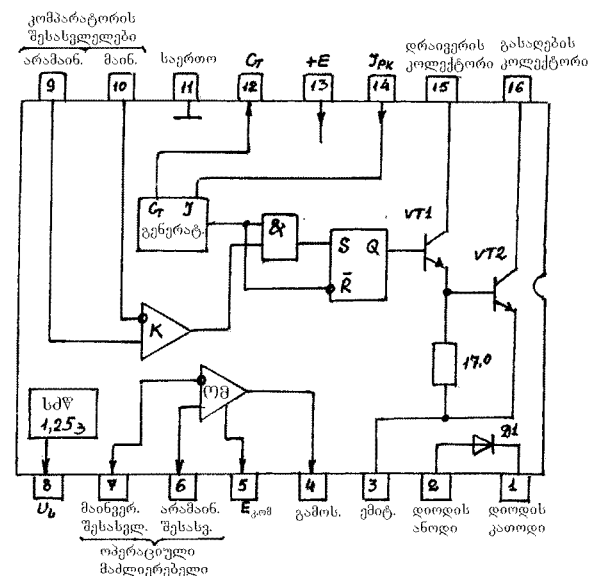
- დასრულებულ სტაბილიზატორებს, რომლებიც შეიცავენ მართვის სქემებს და ძალურ ტრანზისტორს 10 ა-მდე დენზე (მაგალითად, LAS6380(1156 ე. ე. 1)).

32 ცხრილში მოცემულია იმპულსურ სტაბილიზატორთა ინტეგრალური მიკროსქემების ძირითადი პარამეტრები. ძაბვის ამამაღლებელი იმპულსური სტაბილიზატორები მეშვეობენ დაბალი შესავალი ძაბვით და +5 ვ ან +12 ვ ფიქსირებული გამოსავალი ძაბვით. ასეთი სტაბილიზატორების შექ აღწევს 88%-მდე, ხოლო გარდაქმნის მუშა სიხშირე – 170 ჰეც-მდე. დატვირთვის სიმძლავრის მცირე მნიშვნელობების შემთხვევაში ძალურ გასაღებად გამოიყენება მიკროსქემაში ჩაშენებული ველით მართული ტრანზისტორი. დატვირთვის სიმძლავრის დიდი მნიშვნელობების დროს აუცილებელია დამატებითი ბიოლარეული ან ველით მართული ტრანზისტორის გამოყენება.

3.2 ცხრილი

| 0მს-ის ტიპი | ფუნქციური დანიშნულება | $U_{\text{ფ}} \cdot \beta$ | $I_{\text{გამა}}$ | $f, \text{გვ}$ | P, ვტ (მდპ %) |
|------------------------|--|----------------------------|-------------------|----------------|------------------|
| MAX731(1446 უნი) | ძაბვის ამამაღლებელი სტაბილიზატორი | 2,5..5,2 | 0,200 | 170 | (80) |
| MAX734 (1446 უნი 2) | ძაბვის ამამაღლებელი სტაბილიზატორი | 2..12 | 0,175 | 170 | (80) |
| MAX641(1446 უნი 3) | ძაბვის ამამაღლებელი სტაბილიზატორი | 1..12 | 0,450 | 170 | (80) |
| LM100(142E უნი) | ელემენტობა ანაწყობი იმპულსური სტაბილიზატორის ასაწყობად | <40 | 0,200 | 100 | 0,6 |
| μ A78S40(1156 EY1) | ელემენტობა ანაწყობი იმპულსური სტაბილიზატორის ასაწყობად | <40 | 1,500 | 100 | 1,5 |
| LAS6380(1155 EY1) | მძლავრი იმპულსური სტაბილიზატორი | <40 | 8,00 | 200 | 8,5 |

ყველაზე უნივერსალურს მეორე ჯგუფის ინტეგრალური მიკროსქემები წარმოადგენენ. ასეთი მიკროსქემა არის ელემენტობა ანაწყობი სხვადასხვა ტიპის იმპულსური სტაბილიზატორის ასაგებად. ამ ჯგუფის მიკროსქემებიდან ყველაზე სრულყოფილს μ A78S40(1156 EY1) ტიპის მიკროსქემა წარმოადგენს, რომლის გამარტივებული სტრუქტურული სქემა 3.15 სურათზეა წარმოდგენილი.



სურ. 3.15. μ A78S40(1156 EY1) ტიპის მიკროსქემის სტრუქტურული სქემა

იმს-ის შემადგენლობაში შედის შემდეგი კვანძები და ბლოკები:

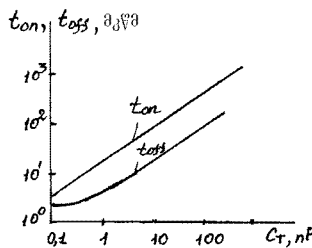
- საყრდენი ძაბვის წყარო (სტრ) 1,25 ვ-ის ტოლი ძაბვით;
- ოპერაციული მაძლიერებელი (ომ) 4 მდგ-ის ტოლი ნულის წანაცვლების ძაბვით, $2 \cdot 10^{-5}$ -ის ტოლი გაძლიერების კოეფიციენტით და 0,6 ვ/მეტ-ის ტოლი ძაბვის ზრდის სიჩქარით;
- განვიდურ-იმპულსური მოდულატორი (ბიტ), რომელიც შეიცავს დამკვეთ გენერატორს, კომპარატორს, „და“ ლოგიკურ სქემასა და RS-ტრიგერს;
- ტრანზისტორული გასაღები (VT2) დრაივერით (VT1);
- ძალური დიოდი D1 (1-ის ტოლი პირდაპირი დენით და 40 ვ-ის ტოლი დასაშუალების უკუძაბებით).

მიკროსქემით შესაძლებელია განხორციელდეს გარეშე ბიოლარეული ან ველით მართული ტრანზისტორის მართვა იმ შემთხვევაში, როდესაც სტაბილიზატორიდან დატვირთვა მოითხოვს 1,5 ა-ზე მეტ დენს, ხოლო გამოსავალის ძაბვა 40 ვ-ს აღემატება.

μ A78S40 ტიპის მიკროსქემა წარმოადგენს ცვლადი სიხშირისა და შეცვების ფოფიციენტის მქონე იმპულსურ გარდამწერელს. გარდების ძირითადი სიხშირის დაუქენება ხორციელდება სიხშირის დამკვეთი კონდენსატორის C_T საშალებით. C_T სიდიდე განსაზღვრავს მიკროსქემის სტრუქტურულ სქემაში შეიცავდი გენერატორის სიხშირეს,

რომელიც შეიძლება შეცვალოს 100 ჰერზ 100 ჰერზდე ფარგლებში. ეს ტეპარობა ამავე დროს განაპირობებს ძალური ტრანზისტორული გასაღების ჩართული (ლია) და გამორთული (ჩაკეტილი) მდგომარეობათ ხანგრძლივობებს.

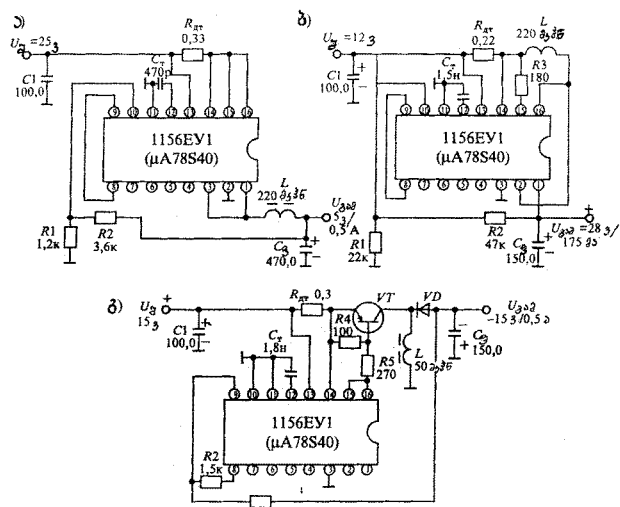
3.16 სურათზე ჩანვნებია VT2 ძალური ტრანზისტორული გასაღების ჩართული მდგომარეობის ხანგრძლივობის (t_{on}) და გამორთული მდგომარეობის ხანგრძლივობის (t_{off}) კონდენსატორის Ct ტეპარობაზე დამოკიდებულების გრაფიკი



სურ. 3.16. ძალური გასაღების ჩართული/გამორთული

მდგომარეობის ხანგრძლივობის დამოკიდებულება Ct ტეპარობაზე

3.17 სურათზე მოცემულია μ A78S40 ტიპის მიკროსქემის სხვადასხვა ჯგუფის (ძაბვის ამამაღლებელი, ძაბვის დამადაბლებელი და ძაბვის მაინვერსორებელი) იმპულსურ სტაბილიზატორებში გამოყენების პრაქტიკული მაგალითები.



სურ. 3.17. μ A78S40 მიკროსქემის ჩართვა ძაბვის იმპულსურ სტაბილიზატორებში: ძაბვის დამადაბლებულში (ა), ძაბვის ამამაღლებელში (ბ) და ძაბვის მაინვერსორებელში (გ)

ძაბვის დამადაბლებელი (სურ. 3.17, ა) და ამამაღლებელი (სურ. 3.17, ბ) იმპულსური სტაბილიზატორების სქემებში ძალურ გასაღებებად გამოყენებულია მიკროსქემის შიგა ელემენტები (VT2 ტრანზისტორი და D1 დიოდი, სურ. 3.15), ხოლო ძაბვის მაინვერსირებელ სტაბილიზატორში (სურ. 3.17, გ) გამოსავალი სიმძლავრის გაზრდის მიზნით სქემაში ჩაყვნებულია გარეშე ძალური გასაღებები: VD დიოდი და VT ტრანზისტორი.

ენერგიის დამგროვებელი ინდუქციურობა L სამივე სქემაში გარეშე ელემენტს წარმოადგენს, რომლის სიდიდე (3.19)-ის თანახმად შეირჩევა ფორმულით

$$L_{\min} = \frac{U_a \cdot t_{on,max}}{2I_{\delta max}}, \quad (3.39)$$

სადაც $I_{\delta max}$ – დატვირთვის (გამოსავალი) დენის მაქსიმალური მნიშვნელობაა.

როგორც ზემოთ იყო აღნიშვნული, სტაბილიზატორის მუშაობის პროცესში გენერატორის სიხშირე და შეესტინების კოეფიციენტი იცვლება. საწყისი სიხშირისა და შეესტინების კოეფიციენტის შეცვლა შეიძლება განახორციელოს ორმა ელემენტმა: კომპარატორმა და დენის შეზღუდვის სქემამ. განვითარებულ სური მოდულატორის კომპარატორი ცვლის ტრანზისტორული გასაღების გამორთული მდგომარეობის ხანგრძლივობას (t_{off}). სანამ სტაბილიზატორის გამოსავალი ძაბვა ნომინალურ (დაკვეთილ) მნიშვნელობაზე ნაკლებია, კომპარატორის გამოსავალზე იარსებებს პოტენციალის მაღალი დონე, რადგან მის პირდაპირ (არამანვერსირებელ) შესასვლელზე მოქმედებს საყრდენი (ეტალონური) $U_b = 1.25$ ვ ძაბვა, ხოლო მაინვერსირებელ შესასვლელზე $K_b U_b = U_b R_1 / (R_1 + R_2) < U_b$ ძაბვა. თუ გამოსავალი ძაბვა U_b გაიზარდა ისე, რომ შესრულდა პირობა $K_b U_b > U_b$, მაშინ კომპარატორი გადაირთვება დაბადი პოტენციალის რევიტში და ტრანზისტორული გასაღები აღარ გაიღება (ე. გაიზრდება t_{on} , ანუ შემცირდება U_b). $K_b U_b < U_b$ პირობის შესრულებისას კომპარატორის გამოსასვლელზე კვლავ აღმოჩნდება პოტენციალის მაღალი დონე, ამიტომ t_{off} შემცირდება და ა.შ.

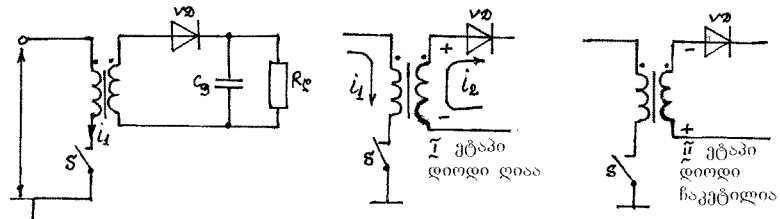
დენის შეზღუდვის სქემა შედგება დენის გადამწოდისაგან, რომელიც ჩართულია მიკროსქემის მ-13 და მ-14 გამოყენებს შორის. დენის გადამწოდიდან მოხსნილი სიგნალი ცვლის ტრანზისტორული გასაღების ჩართული მდგომარეობის ხანგრძლივობას (t_{on}). დენის გადამწოდის წინაღობა შეირჩევა შემდეგი ფორმულის გამოყენებით $R_f = 0.33/2 I_{\delta max}$. თუ ძაბვა დენის გადამწოდებე 0.33 ვ-ს გადაჭარბებს, მაშინ t_{on} დრო არ შეიზღუდება. როდესაც ძაბვა დენის გადამწოდებე 0.33 ვ-ს გადაჭარბებს, მაშინ ჩაირთვება დენის შეზღუდვის სქემა, რომელიც შეამცირებს ტრანზისტორული გასაღების ჩართული მდგომარეობის ხანგრძლივობას (t_{on}). დატვირთვის გაზრდის დროს ადგილი აქვს t_{off} და ხანგრძლივობის შემცირებას და იმპულსური გარდამქმნელის სიხშირის გაზრდას.

3.3. ტრანსფორმატორული იმპულსური გარდამქმნელები

3.3.1. ერთტაქტიანი იმპულსური გარდამქმნელის მუშაობის ზოგადი საკითხები

ტრანსფორმატორული იმპულსური გარდამქმნელების გაცნობა დავიწყოთ ერთტაქტიანი გარდამქმნელების შესწავლით. ერთტაქტიანი მათ ეწოდებათ იმის გამო, რომ ასეთი გარდამქმნელის გამოსასვლელს (დატვირთვას) ქნერგია გადაეცემა გარდამნის პერიოდის ერთი ნაწილის დროს. თუ ქნერგიის გადაცემა გამოსასვლელზე მიმდინარეობის დროის იმ ინტერვალში, როდესაც ძალური გასაღები და (ჩართულ) მდგომარეობაშია, მაშინ ასეთ გარდამქმნელს პირდაპირსვლიანი (forward) ეწოდება. თუკი გამოსასვლელს ქნერგია ძალური გასაღების ჩაკეტილი (გამორთული) მდგომარეობის დროს მიეწოდება, მაშინ ასეთ გარდამქმნელს უკუსვლიანი (flyback) ეწოდება.

პირდაპირსვლიანი ერთტაქტიანი სქემის მუშაობის სრული ციკლი ორ ეტაპად მიმდინარეობს: ქნერგიის გადაცემის ეტაპი (I ეტაპი) და უქმი სვლის ეტაპი (II ეტაპი). პირდაპირსვლიანი გარდამქმნელის გამარტივებული სქემა მოცემულია 3.18 სურათზე.



სურ. 3.18. პირდაპირსვლიანი ერთტაქტიანი სქემა

I ეტაპის დროს ტრანსფორმატორის პირველად გრაგნილში გამვალი დენი კ მეორეულ გრაგნილში აინდუქციებს i_1 დენს და იმის გამო, რომ VD დიოდზე ამ დროს პირდაპირი ძაბვა მოქმედებს, i_2 დენი მუხტავს C₂ ტენადობას. ძალური გასაღების (S) გამორთვისას (ჩაკეტვისას) დენი პირველად გრაგნილში შეწყდება და ქნერგია გარდამქმნელის გამოსასვლელს E წერტილად დარა მიეწოდება. მეორეულ გრაგნილში კი აღიძერება თვითინდუქციის ემ.ძ. რომელიც ჩაკეტავს VD დიოდს და დატვირთვაში დენი შენარჩუნდება. C₂ კონდენსატორის განმუხტვის შედეგად:

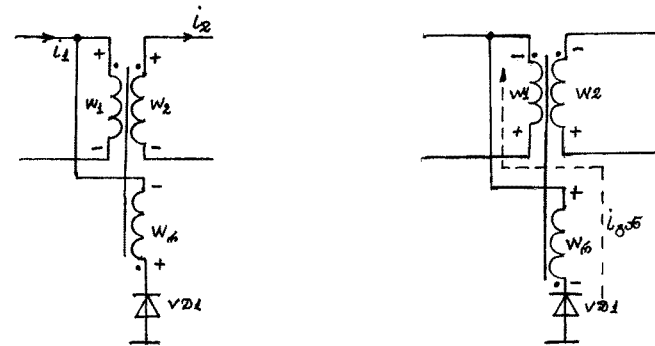
პირდაპირსვლიან ერთტაქტიან გარდამქმნელს გააჩნია რამდენიმე არსებითი ნაკლი:

- ტრანსფორმატორის გრაგნილებში გადინება ერთი მიმართულების დენი, რის გამოც აღგაილი აქვს გულარის ერთმხრივ დამაგნიტებას (გულარის შემაგნიტებას), რომლის შესამცირებლადაც აუცილებელია სხვადასხვა დონისძიების გატარება;

- ძალური გასაღების ჩაკეტვის დროს არ არსებობს ცალკე წრედი ტრანსფორმატორის ინდუქციურიაში დაგროვილი ქნერგიის განსამუშატად. ამიტომ წარმოიქმნება ძაბვის ინდუქციური ამოგარდნები, რომელიც მოქმედებს რა ჩაკეტილ გასაღებებზე ნშირ შემთხვევაში ახდენს მის გარღვევას.

- გამომავალი წრედის შემთხვევითი მოქმედება ჩართვის დროს მწყობრიდან გამოდის გარდამქმნელის ძალური ნაწილი და ამიტომ საჭიროა მოქმედება ჩართვისგან დაცვის საეციალური დონისძიებების გატარება.

ერთტაქტიანი გარდამქმნელის ტრანსფორმატორის ერთპოლარული დენით შემაგნიტების შემცირების უფექტურ საშუალებას წარმოადგენს არამაგნიტური ღრეულის მქონე მაგნიტური გულარის გამოყენება, ხოლო უქმი სვლის რეემში (ძალური გასაღების ჩაკეტილი მდგომარეობა) ტრანსისტორული გასაღების გადამეტაბვის წინააღმდეგ ბრძოლის ერთ-ერთ საშუალებას წარმოადგენს ტრანსფორმატორის დამატებითი გრაგნილის გამოყენება, რომელიც მოახდენს ინდუქციურიაში დაგროვილი ქვების წერტილში დატერენებას (ქნერგიის რეემუპერაცია). ამ დამატებით გრაგნილს განმაგნიტების ან რეემუპერაციის გრაგნილს უწოდებენ (სურ. 3.19).

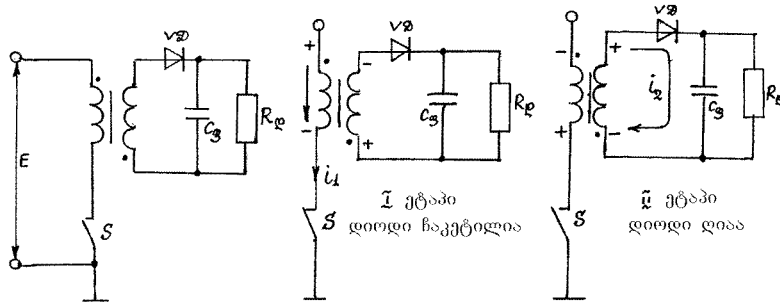


სურ. 3.19. ძაბვის ინდუქციური ამოგარდნებისგან ტრანსისტორის დაცვის მეთოდი

გარდამქმნელის მუშა ციკლის I ეტაპზე VD1 დიოდი ჩაკეტილია და რეემუპერაციის გრაგნილში (W₁) დენი არ გადის. მეორე ეტაპზე (უქმი სვლა) ძაბვის ინდუქციური ამოგარდნა აღებს VD1 დიოდს და პირველად გრაგნილის ინდუქციურიაში დაგროვილი ქნერგია W₂ გრაგნილის გაელით განიმუხტება შეკრულ შესასვლელ წრედზე (განმუხტვის დენი ნაჩვენებია წევეტილი წირით).

თანამედროვე ტელეფონებისა და ვიდეომაგნიტოფონების აბსოლუტური უმრავლესობის კვების ბლოკებში გამოყენებულია ქსელური ძაბვის ერთტაქტიანი უქმავლიანი გარდამქმნელები. უკუსვლიან გარდამქმნელებს გააჩნია პირდაპირსვლიანი გარდამქმნელის მსგავსი სქემა. განსხვავება მხოლოდ იმაშია, რომ უკუსვლიან

გარდამქმნელში ტრანსფორმატორის მეორეული გრაგნილის საწყისი და ბოლო შებრუნებულადა მიერთებული დატვირთვის წრედთან (სურათზე გრაგნილის საწყისი „.“ ნიშნითა აღნიშნული). უკუსვლიან ერთტაქტიან გარდამქმნელში ენერგიის დაგროვების ეტაპი და დატვირთვისადმი ამ ენერგიის გადაცემის ეტაპი დროში განცალევებულად მიმდინარეობს. ამ თვალსაზრისით სქემაში გამოყენებული ტრანსფორმატორი ფაქტოურად ორგრაგნილიანი დროსების ფუნქციას ასრულება.



სურათზე გრაგნილიანი უკუსვლიანი გარდამქმნელის გამარტივებული სქემა

ტრანსფორმატორის მიერ ენერგიის დაგროვების ეტაპზე ძალური გასაღები ჩართულია და პირველი გრაგნილში გაედინება i_1 დენი, რომელიც იზრდება წრფივი ქანონით

$$i_1(t) = \frac{E}{L_1} t, \quad (3.40)$$

სადაც L_1 – პირველი გრაგნილის ინდუქციურობაა.

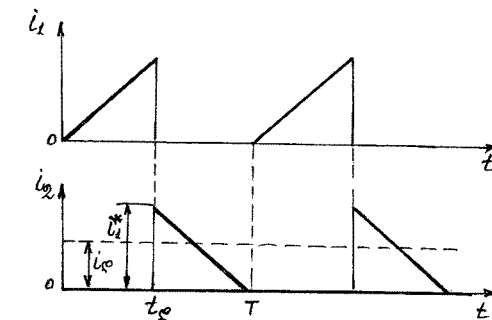
ძალური გასაღების ჩაეტვის შემდეგ ტრანსფორმატორის პირველი გრაგნილში დენის გავლა შეწყდება და ამის გამო მეორეულ გრაგნილში აღმრული თვითინდუქციის ქმდ. გააღებს VD დიოდს და მეორეული გრაგნილის ინდუქციურობაში დაგროვდი ენერგიით განპირობებული i_2 დენი დამტეხტავს C_3 კონდენსატორს. ამ დროს i_2 დენი წრფივი ქანონით მცირდება

$$i_2(t) = i_1^* - \frac{U_g}{L_2} t, \quad (3.41)$$

სადაც i_1^* – მეორეულ გრაგნილზე დაფანილი ძალური გასაღების ჩაეტვის მომენტში დაფიქსირებული პირველი გრაგნილის დენია;

L_2 – მეორეული გრაგნილის ინდუქციურობაა.

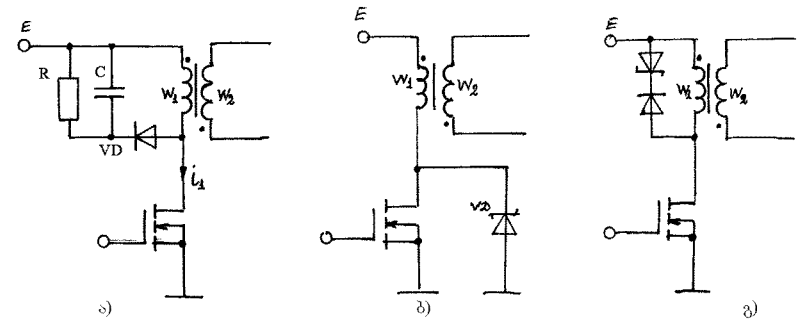
ტრანსფორმატორის პირველი და მეორეული გრაგნილის დენების გრაფიკები წარმოდგენილია 3.21 სურათზე.



სურათზე ტრანსფორმატორის პირველი და მეორეული გრაგნილების დენების გრაფიკი

3.32. ძალური ტრანზისტორული გასაღების პირველი გრაგნილური გარდევნისაგან დაცვა

ერტაქტიანი იმპულსური გარდამქმნელის მუშაობის ხასიათიდან გამომდინარე, ტრანსფორმატორს გრაგნილებზე (ძალური გასაღების ემიტაციური პროცესის დროს) აღგილო აქვთ ძაბვის ინდუქციურ ამოვარდების. ძაბვის ეს ამოვარდები ძალურ გასაღებზე ზემოქმედებისას იწვევს მის პირველი გარდევნას, ამიტომ საჭირო სათანადო ხომების მიღება ძალური გასაღების პირველი გარდევნისაგან დასაცავად. 3.22 სურათზე ნაჩვენებია ძალური გასაღების პირველი გრაგნილური გარდევნისაგან დაცვის ტიპური წრედები.



სურათზე ნაჩვენები გასაღების პირველი გრაგნილური გარდევნისაგან დაცვის

წრედები: მაფიქსირებელი წრედი (ა), დამცავი TRANSIL დიოდის გამოყენება (ბ) და ძაბვის ინდუქციური ამოვარდის შემცვევა წრედი (გ)

3.22 სურათზე ნაჩვენები წრედებიდან უფრო ხშირად R, C, VD მაფიქსირებელი წრედებია გამოყენებული (სურათ 3.22, ა). უკუსვლიან გარდამქმნელში ტრანსფორმატორიდან

დატვირთვისადმი ენერგიის გადაცემის ეტაპზე პირველად გრაგნილში და მასთან მიერთებულ R, C, VD ელემენტებში გაივლის მეორეული გრაგნილიდან დაინდუქციებული დენი. ამ დენით იმუხტება C კონდენსატორი, რომელზეც ძაბვა დამყარებულ რეჟიმში და $\gamma = 0,5$ -ის დროს E ძაბვის ტოლია. ახლა წარმოვიდგინოთ, რომ ძალური გასაღების ჩაკეტების დროს პირველად გრაგნილზე მოხდა ძაბვის ამოგარდნა, რომლის ამპლიტუდა კონდენსატორზე არსებულ ძაბვას აღემატება, მაშინ გაიღება VD დიოდი და C კონდენსატორი პირველად გრაგნილის აპარატურად აღმოჩენება მიერთებული, რამაც უნდა გამოიწვიოს კონდენსატორზე და პირველად გრაგნილზე ძაბვების გათანაბრება ძაბვის ამოგარდნის ენერგიის კონდენსატორისადმი გადაცემის შედეგად. კონდენსატორზე მიღებული ძაბვის ნამატი იქნება

$$\Delta U_c = \sqrt{\frac{L_1}{C}} i, \quad (3.24)$$

სადაც L' – ტრანსფორმატორის პირველადი გრაგნილისა და მონტაჟის პარაზიტული ინდუქციურობების ჯამია.

კონდენსატორის ტევადობის სათანადო შერჩევით შესაძლებელია მასზე ძაბვის ამოგარდნის ენერგიით გამოწვეული ძაბვის ნაზრის შემცირება და, მაშასადამც, ძალური გასაღების გადამტებაძვის შემცირება.

მაფიქსირებელი წრედის პარამეტრების შერჩევის დროს რეკომენდებულია შემდეგი ფორმულების გამოყენება

$$R \approx \frac{E^2}{0,02P_g}; \quad C = \frac{100}{Rf}. \quad (3.43)$$

VD დიოდის ფუნქციის შესრულება შესაძლებელია დაეკისროს შოტკის სტრაუმედ დიოდებს, 1,5E-ს ტოლი დასაშვები უკუმაბდებით.

3.19. ბ) სურათზე ნაჩვენებ სქემაში ძალური ტრანზისტორული გასაღების ძაბვის ინდუქციური ამოგარდნებისაგან დაცვის მიზნით გამოყენებულია დიოდი TRANSIL.

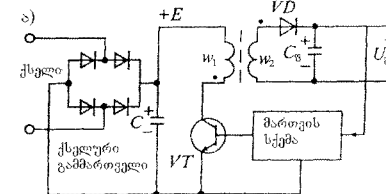
ძალური გასაღების ძაბვის ინდუქციური ამოგარდნებისაგან დაცვის თვალსაზრისით საუკეთესო შედეგი მთილება, როგორც გამოყენებულია მაფიქსირებელი წრედისა და დამცავი დიოდის კომბინაცია.

3.33. ტრანსფორმატორული ერთბაქტიანი იმპულსური

გარდამქმნელების სქემები

3.23 სურათზე ნაჩვენებ ერთბაქტიანი უკუსვლიანი იმპულსური გარდამქმნელის სქემაში მაღალისიშირეულ ტრანსფორმატორს არ გააჩნია განმამგნიტებელი გრაგნილი. გარდამქმნელის შესაცლელზე მოქმედებს ქსელის გამართველის (ქბ) E მუდმივი ძაბვა,

ხოლო გარდამქმნელის გამოსავალი ძაბვა U_{sh} მიეწოდება დატვირთვას. გამოსავალი ძაბვის სტაბილიზაციის მიზნით ძალური გასაღების მართვის სქემა დაკავშირებულია გარდამქმნელის გამოსავალების, რის გამოც ხორციელდება უარყოფითი უკუკავშირი. კერძოდ, გამოსავალი ძაბვის გაზრდისას მცირდება ტრანზისტორის ბაზაზე მიწოდებული იმპულსების შევსების γ კოეფიციენტი, ე.ი. მართვის სქემა უზრუნველყოფს გარდამქმნელის (ინვერტორის) განედურ-იმპულსური რეგულირების რეჟიმში მუშაობას.



სურ. 3.23. ერთბაქტიანი უკუსვლიანი

გარდამქმნელი განმამგნიტებელი გრაგნილის გარეშე

უკუსვლიანი გარდამქმნელის ძალური გასაღების ჩართული (ლია) მდგომარეობის დროს (t_{on}) ტრანსფორმატორი (იგი უკერ მდგომარეობაშია) ასრულებს ენერგიის ინდუქციური დამტოვებების (დროსების) ფუნქციას, რადგან ამ დროს VD დიოდი ჩაკეტილია და ტრანსფორმატორის მეორეული გრაგნილიდან ენერგია დატვირთვას არ გადაეცემა. მაგრამ დატვირთვაში დენის გაფლა გრძელდება C₂ კონდენსატორის განმუხტვის ხარჯზე.

ძალური VT ტრანზისტორული გასაღების ჩაკეტილი მდგომარეობის დროს VD დიოდი ლია მდგომარეობაშია და ტრანსფორმატორში დაგროვილი ენერგია W₂ გრაგნილით გადაეცემა დატვირთვას. ამავე დროს იმუხტება C₂ კონდენსატორი.

განსახილვები სქემაში გამოსავალი ძაბვის საშუალო მნიშვნელობის რეგულირება შესაძლებელია მართვის იმპულსთა შევსების კოეფიციენტის γ ცვლილებით

$$U_{\text{sh}} = \frac{\gamma}{1-\gamma} (E - \Delta U_{\text{VT}} - \Delta U_1) n - \\ - \Delta U_{\text{VD}} - \Delta U_2 \approx \frac{\gamma}{1-\gamma} nE, \quad (3.44)$$

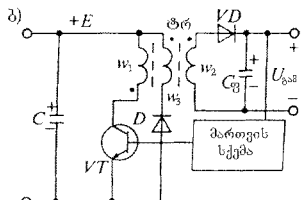
$$\text{სადაც } n = \frac{W_2}{W_1} = \text{ ტრანსფორმატორის კოეფიციენტი;}$$

$\Delta U_{\text{VT}}, \Delta U_{\text{VD}}, \Delta U_1, \Delta U_2$ – ძაბვის გარდნებია: ლია ძალურ ტრანზისტორზე, ლია დიოდზე, პირველადი გრაგნილის i_1 და მეორეული გრაგნილის i_2 აქტიურ წინაღობებზე.

როგორც (3.44)-დან გამომდინარებას, გამოსავალი ძაბვა არ არის დამოკიდებული დატვირთვის დენზე და გარდამქმნელის სისშირეზე. იგი განისაზღვრება შესავალი (კვების)

გარდამშნელის განხაზილებული სქემის ნაკლია ის, რომ ადგილი აქვს ტრანზისტორული გასაღების კოდექტორის გადამეტაბებას. კერძოდ, ჩაეტან მდგომარეობაში მყოფი ტრანზისტორის ძალურ წრედზე მოქმედი ძაბფის მაქსიმალური მნიშვნელობა $U_{VTmax} = E_{max} + nU_g$. გარდა ამისა, ტრანზისტორმატორის მაგნიტური გულარა განიცდის მუდმივი დენით შემაგნიტებას, რაც იწვევს არამაგნიტური ღრენტს აუცილებლობას და მაგნიტური გულარის ზომების გაზრდას.

ჩაკეტილ ტრანზისტორებით გასაღებზე მოქმედი ძაბვის შემცირებისა და გარდამშენების მძპ-ის გაზრდის მიზნით მაღალხისშირები ტრანსფორმატორს უმატებენ მესამე, გულარის განმამაგნიტებელ გრაგნილს W₃ (სურ. 324). ამ გრაგნილის საშუალებით უკუსკლის ეტაპზე (ტრანზისტორებით გასაღების ჩაკეტილი მდგრმარეობის დროს) ტრანსფორმატორში დაგროვილი ჭარბი ენერგია D დიოდის საშუალებით გადაეცემა გარდამშენების შესახველზე ჩართული ფილტრის კონდენსატორს.

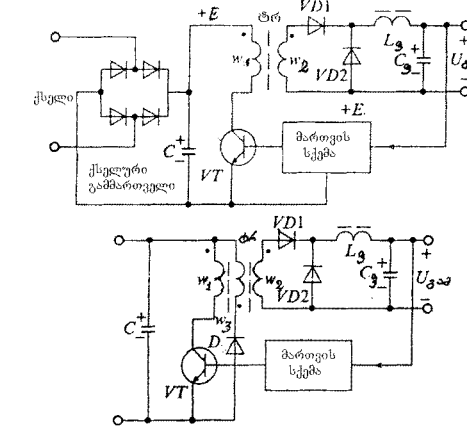


სურ. 3.24. ერთტაქტიანი ჟაუხველიანი გარდამშენელის სქემა
ტრანსფორმაციონის გულარის განმამაგნიტებელი გრაგნილით

325 სურათზე მოცემულია ერთტაქტიანი პირდაპირსვლიანი იმულსური გარდამ-ქმნელის სქემები. 325. ა სურათზე წარმოდგენილ სქემაში VT ტრანზისტორის ჩართული (დია) მდგომარეობის დროს ენერგია პირველადი წაროდან ტრანსფორმატორისა და VD1 დიოდის საშუალებით გადაეცემა დატვირთვასა და C₂ კონდენსატორს. სქემაში გამოყენებულია ფილტრის ღროსველი L₂, რომელიც ჩართულია VD1 დიოდის მიმდევრობით და მისი დანიშნულებაა ამ დიოდში გამავალი დენის შეზღუდვა. გარდა ამისა, ძალური ტრანზისტორის ჩაკეტილი მდგომარეობის დროს L₂ ინდუქციურობასა და VD1 დიოდში დენის უწევებობის უზრუნველყოფად სქემაში გამოყენებულია დამატებითი VD2 დიოდი.

VT ტრანზისტორული გასაღების გამორთული მდგომარეობის დროს დატვირთვა ეკრგიას დაბულობს დამუხტული C_g კონდენსატორისგან. აქვდან გამომდინარე, პირდაპირ-სკლიანი სქემის გამოყენების შემთხვევაში გარდამქნელის გამოსახვლებზე შესაძლებელია ორჯერ მეტი სიმძლავრის მიღება, ვიდრე უძუსვლიანი სქემის შემთხვევაში. ტრანზისტორის კოლექტორის დენს აქს მართვულთა ფორმა, ხოლო ამ დენის სიდიდე

დამოკიდებულია ტრანსფორმატორის პირველადი გრაგნილის ინდუციურობის სიდიდეზე,
დატვირთვის R_d წინაღობაზე და ფილტრის კონდენსატორის C_f ტემპერატურაზე.



სურ. 3.25. ქროტაქტიანი პირდაპირებულიანი გარდამშენებლი:

განმამდგნიტებელი გრაფინის გარეშე (ა) და განმამდგნიტებელი გრაფინით (ბ)

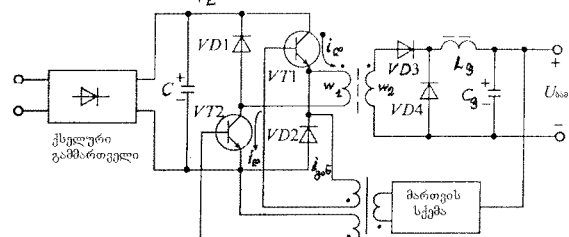
პირდაპირ სეგლიანი გარდამექნებლის სქემაში ტრანზისტორული გასაღების ჩაკეტისას ადგილი აქვს ტრანსფორმატორის პირველად გრაგნილზე ძაბვის ინდუქციურ ამოგარდნას და ტრანზისტორის გადამეტყვაბეჭას. გადამეტყვაბეჭისა და მშტ-ის გასაზრდებლად გარდამექნებლის ტრანსფორმატორს აუცილებლად უნდა ჰქონდეს განმამაგნიტებელი გრაგნილი (სურ. 325, ბ). გარდა ამისა, მაგნიტოგამტარის გაჯერების თავიდან ასაცილებელად W_1 და W_3 ხვეულთა რიგები უნდა იყოს ერთნაირი.

როდესაც VT ტრანზისტორი ჩართულია (დია) ამ დროს მაგნიტური გულარი მაგნიტდება. VT ტრანზისტორის ჩაკეტვის შემდეგ ჩაიკტება VD1 დიოდიც და მაგნიტოგამტარში დაგროვილი ენერგია W_3 გრაგნილისა და D დიოდის საშუალებით გადაეცემა ენერგიის პირელად წყაროს (იმუქტება C კონდენსატორი). ჩაკეტილ ტრანზისტორულ გასაღებზე მოქმედებს კვების წყაროსა და W_3 გრაგნილიდან W_1 გრაგნილში დაინდუქტირებული ძაბვათა ჯამი, რომელიც დაახლოებით 2E-ს ტოლია.

ამგვარად, პირდაპირ სელიან გარდამქნედს აქვთ შედარებით რთული სქემა, მისი ტრანსფორმაციონი არ არის საკმარისად გამოყენებული და სქემის ელემენტებზე მოქმედებს გაზრდილი ძაბვები.

ძალურ ტრანზისტორულ გასაღებაზე მოქმედი ძაბვა შესასვლელზე მოქმედ დ ძაბვამდევ შემცირებული (რასაც განსაკუთრებული მნიშვნელობა ენიჭება ქსელის გამართველიდან პვების შემთხვევაში) და ტრანსფორმატორის კონსტრუქცია გამარტივებულია (აღარა

საჭირო განმამაგნიტებელი გრაგნილი) ერთტაქტიან გარდამქმნელში, რომელიც აწყობილია ნახევრად ბოგური სქემის მიხედვით (სურ. 3. 26). ამ სქემაში VT1 და VT2 ტრანზისტორები იღებიან (მართვის სისტემის საშუალებით) ერთდროულად.



სურ. 3.26. ერთტაქტიანი ნახევრადბოგური გარდამქმნელის სქემა

და VT1 და VT2 ტრანზისტორების საშუალებით (ტრანსფორმატორისა და დია VD3 დიოდის გავლით) პირველადი წეაროს ქნერგია გადაეცემა დატვირთვას. დატვირთვისადმი ქნერგიის გადაცემის ეტაპზე ტრანსფორმატორის გულარი დამაგნიტდება i_s დენით პირდაპირი მიმართულებით. აღნიშნული ტრანზისტორების ჩაკეტვის დროს W_1 გრაგნილში აღძრული თვითინდუქციის ქმ. აღებს VD1 და VD2 დიოდებს და ამ გრაგნილში დაგროვილი ქნერგია დაიცლება C კონდენსატორზე. ნახევრად ბოგურ სქემაში ტრანზისტორებზე მოქმედი ძაბვა არ აღმატება შესავლელზე მოქმედ E ძაბვას, ხოლო როდესაც ჩაკეტილია VT1 და VT2 ტრანზისტორები W_1 გრაგნილი ასრულებს განმამაგნიტებელი გრაგნილის ფუნქციასაც (აღარ არის საჭირო დამატებითი W_3 გრაგნილი). ნახევრადბოგური სქემის ნაკლად უნდა ჩათვალოს ძალური ელემენტების გაზრდილი რაოდგნობის საჭიროება.

3.34. ერთტაქტიანი იმპულსური გარდამქმნელების მართვის მიკროსქემები

ერთტაქტიანი იმპულსური გარდამქმნელების მართვისათვის შექმნილია მართვის მიკროსქემების ფართო ნომერკლატურა. ერთტაქტიანი გარდამქმნელების მართვის მიკროსქემების ძირითადი პარამეტრები მოცემულია 3.3 ცხრილში.

ერთტაქტიანი გარდამქმნელების მართვის მიკროსქემები შეიძლება დაიყოს შემდეგ ჯგუფებად:

- ძალური ტრანზისტორების არშემცველი იმსები ერთტაქტიანი უკუსვლიანი გარდამქმნელების მართვისათვის (მაგალითად, TDA4601, TDA4605);

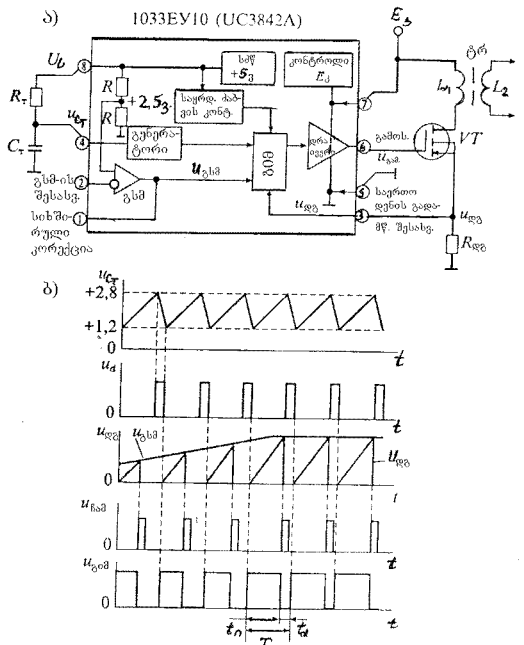
- ნებისმიერი სახის ერთტაქტიანი გარდამქმნელის (იმპულსური სტაბილიზატორების ჩათვლით) მართვის მიკროსქემები (მაგალითად, UC3842, UC3844);

• ერთტაქტიანი ბიმ კონტროლერები ჩაშენებული მდლავრი კელით მართული (ლონ) ან ბიპოლარული ტრანზისტორებით (მაგალითად, PWR-SMP210, PWRTOP200-4/14).

33. ცხრილი

| იმს-ის ტიპი (ანალოგი) | ფუნქციური დანიშნულება | $U_{\text{აუ}} \cdot 3$ | $I_{\text{გამ}} \cdot \Delta$ | $f_{\text{ტ}} \cdot \text{გვ}$ |
|--------------------------|--|-------------------------|-------------------------------|--------------------------------|
| TDA4601 (1033EY1) | ერთტაქტიანი უკუსვლიანი გარდამქმნელის კონტროლერი | 20 | 1.5 | 90 |
| TDA4605 (1033EY5) | ლონ ტრანზისტორიანი ერთტაქტიანი უკუსვლიანი გარდამქმნელის კონტროლერი | 20 | 1.5 | 250 |
| TDA2582 (KP1021XAI) | ბიმ კონტროლერი მასინქრონებული მოწყობილობით | 10...14 | 0.04 | 100 |
| UC3842 (1033EY10) | მდლავრი ლონ ტრანზისტორის ერთტაქტიანი ბიმ კონტროლერი შეცვების კოუფიციენტით $\gamma=100\%$ | 30 | 1.00 | 500 |
| UC3844 (1033EY11) | მდლავრი ლონ ტრანზისტორის ერთტაქტიანი ბიმ კონტროლერი შეცვების კოუფიციენტით $\gamma=50\%$ | - | - | - |
| UC3823 (1256EY3) | ერთტაქტიანი მარალისის შერეცელებული ბიმ კონტროლერი | 30 | 1.5 | 1000 |
| PWR-SMP210 (1033EY9) | ერთტაქტიანი ბიმ კონტროლერი ჩაშენებული მადლავრი ლონ ტრანზისტორით | 30...400 | 0.8 | 800 |

327. ა სურათზე წარმოდგენილია ერთტაქტიანი გარდამქმნელების მართვისათვის გამოყენებული უნივერსალური UC3842 ტიპის იმს-ის სტრუქტურული სქემა. მიკროსქემის შემადგენლოვაში შედის: გარეშე, სისშირის დამკვეთი, R_T და C_T კლემენტიანი გენერატორი; გაუთანხმოების (შეცდომის) სიგნალის მადლიერებელი (ბსმ); განედურიმპულსური მოდულატორი (ბიმ); +5 საყრდენი ძაბვის წყარო (სძმ); გამოსავალი სიმძლავრის მადლიერებელი (დრაივერი); ძალური ტრანზისტორის დენური გადატვირთვისგან დაცვის, აგრეთვე შემცირებული შესავალი და საყრდენი ძაბვისგან დაცვის ელემენტები.



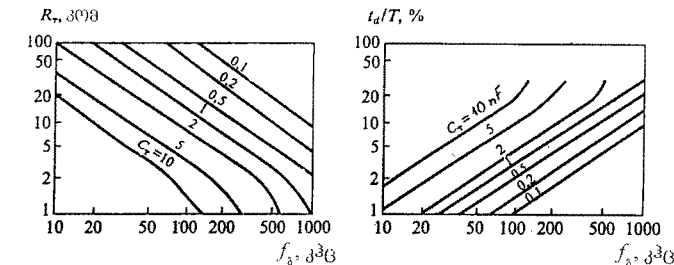
სურ. 3.27. ერთბაქტიანი გარდამქნელების მართვის
UC3842 ტიპის მიკროსქმა (ა) და მაბეჭდის გრაფიკები (ბ)

ინტეგრირებული მიკროსქმა შემდეგნაირად ფუნქციონირებს. დამკვეთი გენერატორი (დგ), რომლის შემადგენლობაშიც შედის სიხშირის დამკვეთი R_T და C_T ელემენტები, გამოიმუშავებს ბიტის მართველ მატებულებებს. C_T კონდენსატორი იმუხტება საყრდენი მაბეჭის წყაროდან +2,8 ვ მაბეჭადე, რის შემდეგაც იგი განიმუხტება +1,2 ვ მაბეჭამდე კონდენსატორზე არსებული მაბეჭის ფორმა ნაჩვენებია 3.27, ბ სურათზე. C_T კონდენსატორის განმუხტვის დროს გენერატორი გამოიმუშავებს U_d მაბეჭოფირტებდ მატებულს, რომელიც განსაზღვრავს პაუზის („მკვდარი დრო“) სანგრძლივობას. პაუზის სანგრძლივობის (t_d) დაყვნება ხდება C_T ტეპადობის შეცვლით. C_T -ს გაზრდისას პაუზის სანგრძლივობა შეიძლება გაიზარდოს გენერატორის სიხშირის ნახევარი პერიოდის შესაბამის სიდიდეში. ამ შემთავევაში შევსტის კოეფიციენტი γ მიაღწევს 0,5-ს.

U_d მატებულის შეწვეტის შემდეგ ბიტის სქმა დრაივერის (სიმძლავრის მატლიერდების) გადასაცემით გარეშე გვლით მართული VT ტრანზისტორს აწვდის გამდება სიგნალს. თუ ეს მიკროსქმა გამოყენებულია უძუსვლიანი გარდამქნელის მართვისათვის, მაშინ VT ძალური ტრანზისტორის დენი ისრდება წრფივი კანონით მანამდე, ვიდრე დენის

R_{T_0} გადამტოდიდან მოისწოდი მაბეჭადება U_{d_0} არ გაუტოლდება გაუთანხმოების სიგნალის მატლიერდების გამოსავალ მაბეჭადება U_{d_0} . ამ მაბეჭათა გატოლდების მომენტში შეწყდება ტრანზისტორის ჩასადინარის დენის ზრდა და გამომუშავდება ჩამომგდები იმპულსი, რომელიც მოახდენს VT ძალური ტრანზისტორის ჩაკეტვას. იმს-ის გამოსავალი მაბეჭადება U_{d_0} მოისწოდება მე-6 გამომყვანიდან და იგი მოდულირებულია სიგანის მიხედვით (სურ. 3.27, ბ).

3.28. ა სურათზე მოცემულია გენერატორის სიხშირის დამოკიდებულება სიხშირის დამკვეთი ელემენტების (R_T, C_T) პარამეტრებზე.



სურ. 3.28. გენერატორის სიხშირისა და სიხშირის დამკვეთი ელემენტების პარამეტრების დამოკიდებულება მუშა სიხშირეზე

მიერთსქემის მწარმოებელი ფირმის რეკლამური ციფრის მიხედვით C_T ტეპადობის სიდიდე აიღება ფარგლებში $C_T=100\text{pF}...10\text{nF}$, ხოლო R_T წინადიბის სიდიდე $R_T=1...10$ კომ ფარგლებში. პაუზის ფარგლობითი სიდიდის დამოკიდებულება გენერატორის სიხშირესა და C_T ტეპადობაზე მოცემულია 3.28, ბ სურათზე. როგორც ამ დამოკიდებულების ამსახველი გრაფიკიდან ჩანს, პაუზის ხანგრძლივობა $C_T \geq 1\text{nF}$ შემთხვევაში შესაძლებელია იცვლებოდეს პერიოდის 1-დან 50%-მდე ფარგლებში. C_T ტეპადობის 100 pF-მდე შემცირებისას პაუზის ფარგლობითი ხანგრძლივობა დახლოებით 5-ჯერ მცირდება და არ აღვარტებს 10%-ს.

UC3842 ტიპის მიკროსქმაზე აწყობილი ერთბაქტიანი უკუსვლიანი გარდამქნელის სქმაში მართვის მიკროსქმასთან ერთად, გარდამქნელის გამართული მუშაობის უზრუნველყოფად, გამოყენებულია რიგი დამატებითი გარეშე ელემენტებისა. კერძოდ:

- დენის გადამტოდის წრედში ჩართულია R_6, C_4 ფილტრის ელემენტები ძლური VT ტრანზისტორის კომუტაციური პროცესების დროს აღმრუდი პარაზიტული დაპრეოლებების ჩასაშობად;

- უპეპაშირის მაბეჭადება მოისწოდება ტრანსფორმატორის დამოუკიდებელი W_3 გრაგნილიდან. ეს მაბეჭა გაიმართება VDI დოკლით, გაიფილტრება C_3 კონდენსატორით და R_1, R_2 მაბეჭის გამყოფით მიერთება მსმის შესასვლელს (იმს-ის მე-2 გამომყვანი);

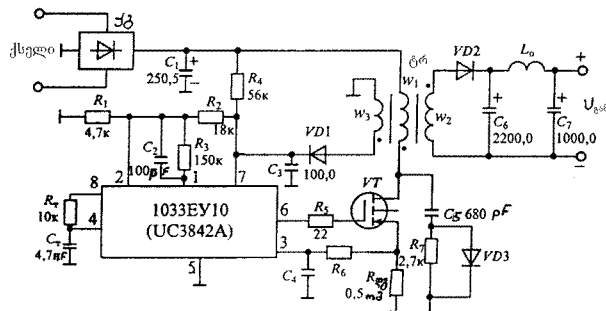
• გამოსავალი ძაბვა მოიხსენება ძალური ქსელისაგან გალვანურად იზოლირებული W_2 გრაგნილიდან;

• გარდამქმნელის მდგრადი მუშაობის უზრუნველყოფის მიზნით გსმ-ის გამოსასვლელია (0მს-ის 1 გამომყვანი) და მაინვერსირებელ შესასვლელი (0მს-ის მე-2 გამომყვანი) შორს ჩართულია საკორექციო R_3, C_2 წრედი;

• 0მს-ის გამოსავალი დენის შესახებული მიკროსქემის მე-6 გამომყვანსა და VT ძალური ტრანზისტორის საკეტს შორის ჩართულია R_5 წინაღობა;

• ძალური VT ტრანზისტორის გადართვის ტრაქტორის ფორმირებისათვის ტრანზისტორის ჩასაძინარის წრედში ჩართულია C5, R7, VD3 მაფორმირებული წრედი;

• გარდამქმნელის გაშებამდე მიკროსქემას კვების ძაბვა მიეწოდება ქსელის გამართველიდან R4 წინაღობის გავლით, ხოლო გარდამქმნელის გაშების შემდეგ მიეწოდება W_3 გრაგნილის გამართული ძაბვა.



სურ. 3.29. UC3842 ტიპის მიკროსქემაზე

აწყობილი ერთაქტივიანი უუსასვლიანი გარდამქმნელის სქემა

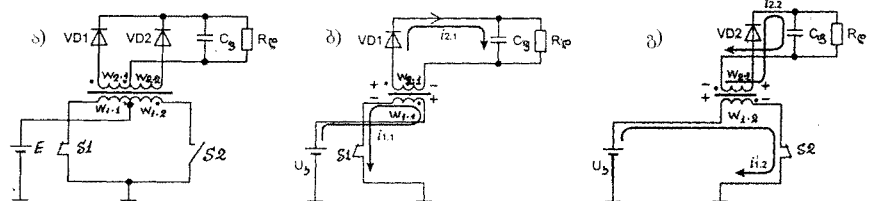
3.3.5. ორტაქტიანი იმპულსური გარდამქმნელები

3.3.5.1. ორტაქტიანი იმპულსური გარდამქმნელების ბაზისური სქემები

ორტაქტიანი იმპულსური გარდამქმნელების სქემებში ენერგია პირველადი წყაროდან გარდამქმნელის გამოსასვლელს გადაეცემა მუშა სიხშირის ორივე ნახევარპერიოდის დროს. გარდაქმნის ორტაქტიან სქემებს, როგორც წესი, გამოიყენებენ ისეთი კვების წყაროების შესაქმნელად, რომელთაგანაც დატვირთვა მოითხოვს გაზრდილი სიმძლავეებს (200 ვტ და მეტი). პრაქტიკაში გავრცელებულია ორტაქტიანი იმპულსური გარდამ-

ქმნელების სამი სახის სქემა: ორფაზა (push-pull), ნახევრად ბორგური (half-bridge) და ბორგური (full-bridge).

ორგაზება სძმება. 3.30, ა სურათზე ნახვენებია ორფაზა გარდამქმნელის გამარტივებული სქემა. სქემაში ძალურ გასასადებად გამოყენებულია ველით მართული ტრანზისტორი (დონ ტრანზისტორი). ტრანსფორმატორის (ტრ) როგორც პირველადი, ისე მეორეული გრაგნილი შეიცავს ორ ნახევარგრაგნილს. პირველადი გრაგნილის შესა წერტილთან მიერთებულია ველის წყარო, ხოლო მეორეული გრაგნილის წრედი წარმოქმნის ორნახევარპერიოდიან ნულოვანგამომყვანიან გამმართველას.



სურ. 3.30. ორფაზა გარდამქმნელის ბაზისური სქემა

ორფაზა გარდამქმნელის მუშა ციკლი მიმდინარეობს ორი ეტაპის სახით. პირველ ეტაპზე, როგორც ეს 3.30, ბ სურათზე ნახვენები, ჩართულია VT1 ტრანზისტორი, ხოლო VT2 ტრანზისტორი გამორთულია. ამიტომ დენი გადინება $W_{1,1}$ ნახევარგრაგნილში და იგი ტრანსფორმირდება $W_{2,1}$ ნახევარგრაგნილში. იღება VD1 დიოდი და მასში გამავალი დენი დამუხტავს ფილტრის C_2 კონდენსატორს. მეორე ეტაპზე (სურ. 3.30, გ) გამოირთვება VT1 ძალური ტრანზისტორი, ხოლო VT2 ტრანზისტორი ჩაირთვება (ძალური ტრანზისტორების ჩართვა-გამორთვას ანხორციელებს მართვის სისტემა, რომელიც სურათზე ნახვენები არ არის). ამ ეტაპზე დენი გაედინება $W_{1,2}$ ნახევარგრაგნილში და იგი ტრანსფორმირდება $W_{2,2}$ ნახევარგრაგნილში. იღება VD2 დიოდი (VD1 იკეტება) და მასში გამავალი $i_{2,2}$ დენი დამუხტავს ფილტრის C_2 კონდენსატორს. ამგვარად, ენერგია დატვირთვას გადაეცემა მუშა ციკლის ორივე ეტაპზე.

ნახრული VT1 და VT2 ტრანზისტორული გასასადებობის დროს ტრანსფორმატორის მეორეული გრაგნილის ცალკეულ ნახევარგრაგნილზე მიიღება ძაბვები

$$U_{2,1} = nE; U_{2,2} = nE.$$

იმის გამო, რომ მეორეულ გრაგნილში ტრანსფორმირებული ძაბვა დატვირთვას მიეწოდება ორნახევარპერიოდიანი გამართვის შედეგად, დატვირთვაზე იმოქმედებს ძაბვა

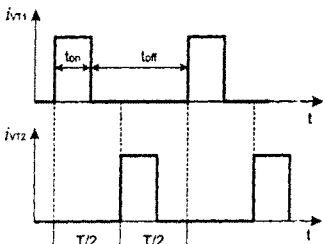
$$U_g = nE, \quad (3.45)$$

$$\text{სადაც } n = \frac{W_{2,1}}{W_{1,1}} = \frac{W_{2,2}}{W_{1,2}} - \text{ტრანსფორმატოის კოეფიციენტია.}$$

დატვირთვაზე მოქმედი ძაბფის რეგულირება, ისე როგორც ერთტაქტიან გარდამქმნელში, ორტაქტიან გარდამქმნელშიც სირციელება შევსების კოეფიციენტის ცვლილების შედეგად

$$\gamma = \frac{t_{on}}{T}, \quad (3.46)$$

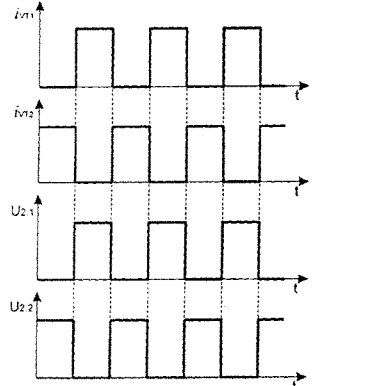
სადაც γ – ერთი ტრანზისტორული გასაღების დრა მდგრმარეობაში ყოფნის ხანგრძლივობის (t_{on}) ფარდობაა კომუტაციის T პერიოდთან (სურ. 3.31).



სურ. 3.31. შევსების კოეფიციენტის განსაზღვრისათვის

ამგვარად, ორტაქტიან გარდამქმნელში შევსების კოეფიციენტი უნდა განისაზღვროს სქემის ერთი მხრისათვის. დატვირთვისადმი გადაცემული სრული ენერგია ამ სახის გარდამქმნელში ერთი მხრის მუშაობის პროცესში გადაცემული ენერგიის გაორმაგებული სიდიდის ტოლი იქნება. ამიტომ დატვირთვაზე მიღებული ძაბფის საშუალო მნიშვნელობა

$$E_{\text{გ}} = \frac{2}{T} \int_0^{t_{on}} nEdt = \frac{2t_{on}}{T} E = 2\gamma nE. \quad (3.47)$$



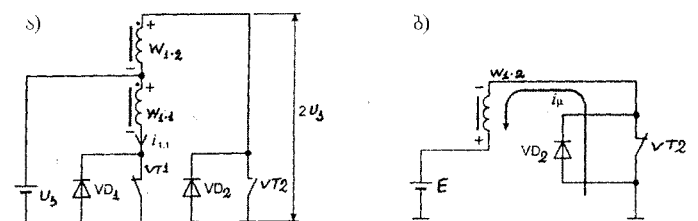
სურ. 3.32. ორგაზა სქემის მუშაობის ამსახველი გრაფიკები

ცხადია, ერთი მხრისათვის შევსების კოეფიციენტი იდეალური სქემური ელემენტების შემთხვევაშიც კი არ შეიძლება აღმატებოდეს 0.5-ს (სურ. 3.32). ამავე დროს, $\gamma=0.5$ შევსების კოეფიციენტით გარდამქმნელის მუშაობა მხოლოდ იმ შემთხვევაშია დასაშები, თუ გარდამქმნელის სქემის იდეალური მახასიათებლების მქონე ელემენტებს (ტრანზისტორული გასაღებები, დიოდები და სხვა) გამოვიყენებდით. იმის გამო, რომ გარდამქმნელის სქემაში გამოყენებული ელემენტები არ ფლობენ იდეალურ თვისებებს, გარდამქმნელში მიმდინარე კომუტაციურ პროცესებთან დაკავშირებული გარდამაგალი პროცესების დროს თავს იჩნეს სქემური ელემენტების რეალური მახასიათებლების გავლენა. პირველ რიგში შერადდება უნდა გამახვილდეს შემდეგზე:

•ტრანსფორმატორის პირველად გრაგნილს გააჩნია განსაზღვრული ინდუქციურობა L_μ , რომელშიც გარდამქმნელის მუშაობის დროს გროვდება ენერგია

$$W_\mu = \frac{L_\mu i_\mu^2}{2}. \quad (3.48)$$

VT1 ტრანზისტორული გასაღების ჩაკეტვისას ტრანსფორმატორის მაგნიტოგამტარში დაგროვილი ენერგია ცდილობს შესაბამის ნახვარგრაგნილში გამავალი დენის შენარჩუნებას. ამიტომ უნდა არსებობდეს მაგნიტოგამტარში დაგროვილი ენერგიის განმუსტვის წრედი. ასეთი წრედი იარსებებს, თუ ტრანზისტორული გასაღებების პარალელურად ჩართავთ D1 და D2 დიოდებს (დამცავი დიოდები), როგორც ეს 3.33 სურათზე ნაჩვენები.

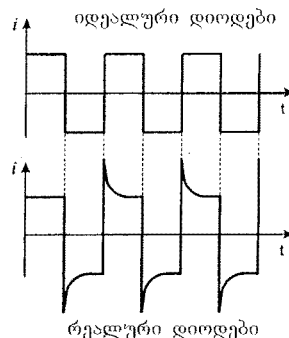


სურ. 3.33. რეალურ ორგაზა სქემაში მიმდინარე კომუტაციური პროცესების ახსნისათვის

თუ VT2 ტრანზისტორის პარალელურად არ იქნება ჩართული D2 დიოდი, მაშინ VT1 ტრანზისტორის ჩაკეტვისას $W_{1,2}$ გრაგნილში აღძრული თვითინდუქციის ემდ. VT2 ტრანზისტორზე წარმოქმნის ძაბფის უარყოფით ნახტომის. როდესაც ძაბფის ეს უარყოფითი ნახტომი 1.2 ჭან აღმატება, VT2 ტრანზისტორი მშეცდობდან გამოდის. VT2 ტრანზისტორის პარალელურად ჩართული D2 დიოდი ზემოაღნიშნული თვითინდუქციის ემდ. გავლენით გაიღება, $W_{1,2}$ პრაქტიკულად მოკლედ მიუკრთდება ნულვან სალტეს და მაგნიტო-

გამტარში დაგროვილი ენერგია სწრაფად განიმუხტება (სურ. 3.33, ბ). იგივე ფუნქციას ასრულებს D1 დიოდი. VT2 ტრანზისტორის ჩაკეტვისას ეს დიოდი იცავს VT1 ტრანზისტორს ძაბვის უარყოფითი ნახტომით განპირობებულ შესაძლო დაზიანებისაგან.

• VT1 და VT2 ძალური ტრანზისტორების მუშაობის რეჟიმშე გავლენას ახდენს მაღალი სიხშირის ცვლადი ძაბვის გამმართველის სქემაში გამოყენებული VD1 და VD2 დიოდების ჩაკეტილი მდგომარეობის ალგორითმის პროცესი (პოტენციური პროცესი), რომელიც ფასდება ადგენის t_r დროის მინაკვეთით. დროის ამ მონაკვეთში დიოდი, რომელიც ჩაკეტვას ეჭვმდებარება, ინარჩუნებს და მდგომარეობის შესაბამის მცირე წინაღობას. ამიტომ ეს დიოდი, და მდგომარეობაში გადასულ მეორე დიოდთან ერთად, მოძლევდება ჩაკეტვას ტრანსფორმატორის მეორეულ გრაგნილს, რაც გამოიწვევს პირველი გრაგნილის დენის (და, მაშასადამე, და ტრანზისტორული გასაღების დენის) მკვეთრ გაზრდას (დენის ნახტომს) (სურ. 3.34).



სურ. 3.34. ტრანსფორმატორის გრაგნილებში დენის ცვლილების
ხასიათი გამმართველი დიოდების რეალური პარამეტრების გათვალისწინებით

გამმართველი დიოდების კომუტაციური პროცესების დროს ტრანზისტორულ გასაღებში დენის კატასტროფული ნახტომის თავიდან ასაცილებლად საჭიროა ერთი ტრანზისტორის ჩაკეტვისა და მეორე ტრანზისტორის გაღების მომეტებს შორის არსებობენ განსაზღვრული პაუზა („მკვდარი დრო“). ამ პაუზის ხანგრძლივობა არ უნდა იყოს $2t_r$, დროის მონაცემთან ნაკლები. აქედან გამომდინარე, შევსების მაქსიმალური კოეფიციენტი

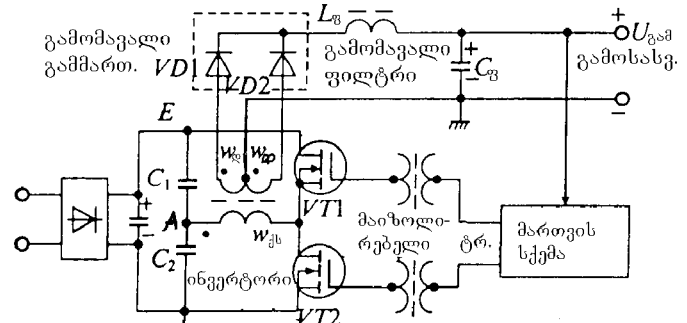
$$\gamma_{\max} \leq 0,5 - 2t_r f. \quad (3.49)$$

გარდა ამისა, მიზანშეწონილია მაღალსიხშირულ გამმართველში შოტკის სწრაფქედი დიოდების გამოყენება.

პაუზის („მკვდარი დროის“) საჭიროების გამო, ორტაქტიანი გარდამქნევლის მართვის სქემა უნდა შეიცავდეს სპეციალურ კვანძს γ შევსების კოეფიციენტის გარანტირებული

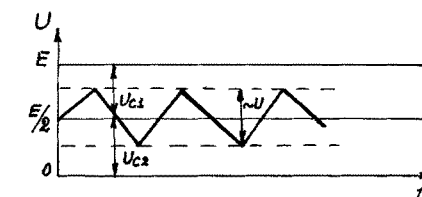
შეზღუდვისათვის, რათა თავიდან იქნეს აცილებული ავარიული სიტუაციები და გამჭოლი დენების არსებობა ძალურ გასაღებებში.

ნახევრად ბოგური და პოტენციური სიმძლავი. ორტაქტიანი ნახევრად ბოგური გარდამქნევლის სქემა ნაჩვენებია 3.35 სურათზე.



სურ. 3.35. ორტაქტიანი ნახევრად ბოგური გარდამქნევლის სქემა

ამ სქემაში, როდესაც VT1 ტრანზისტორიდან და მდგომარეობაში, დამუხტული C1 კონდენსატორის ენერგია გადაეცემა დატენტოვას და ენერგიის დამტოვებულ $L_3 C_3$ ფილტრს. ერთდროულად ადგილი აქვს C2 კონდენსატორის შემუხტვას. VT2 ტრანზისტორის და მდგომარეობის დროს დატენტოვასა და ფილტრს გადაეცემა დამუხტული C2 კონდენსატორის ენერგია. ერთდროულად მიმდინარეობს C1 კონდენსატორის შემუხტვა. C1 და C2 კონდენსატორებზე აწყობილი ძაბვის გამოყიფის შეა წერტილის (A წერტილი) პოტენციალი იცვლება $E/2$ პოტენციალის მიმართ 3.36 სურათზე ნაჩვენები დიაგრამის მიხედვით.



სურ. 3.36. ტევადობითი გამყოფის შეა წერტილის პოტენციალის
ცვლილების ხასიათი

ტევადობით გამყოფზე წარმოიქნება U_{\square} პულსაციის ძაბვა. იმისათვის, რომ პულსაციის ამპლიტუდამ არ გადააჭარბოს დასაშვებ დონეს, კონდენსატორების ტევადობები უნდა შეირჩეს შემდეგი ფორმულის გამოყენებით

$$C1 = C2 = 0,2 \frac{i_{d\max}}{U_{\square} f} \quad (3.50)$$

სადაც U_0 – პულსაციის დასაშვები დონეა კონდენსატორებზე;

i_{dmax} – ტრანზისტორის ჩასაძინარის დენის მაქსიმალური მნიშვნელობაა.

ორტაქტიანი ორფაზა გარდამქმნელის ანალოგიურად, ნახევრად ბოგურ გარდამქმნელშიც საჭიროა დაცული იქნას განსაზღვრული პაუზა („მკვდარი დრო“) VT1 ტრანზისტორის ჩაკეტვისა და VT2 ტრანზისტორის გაღების (და პირიქით, VT2 ტრანზისტორის ჩაკეტვისა და VT1 ტრანზისტორის გაღების) მომენტებს შორის. პაუზის დროს ორივე ტრანზისტორი ჩაკეტილია, ხოლო დატყირთვა ენერგიას ლებულობს ფილტრის დამუხტული კონდენსატორისაგან.

გამომავლი გამართებულის VD1 და VD2 დიოდების გაღება მიმდინარეობს VT1 და VT2 ტრანზისტორების გაღების სინქრონულად. პაუზის დროს კი ფილტრის ინდუქციურობაში (L_g) აღმრული თვითინდუქციის ე.მ.კ. ერთდროულად აღებს ორივე დიოდს და L_g ინდუქციურობაში დაგროვდილი ენერგია განიმუხტება და დიოდებით შეკრულ წრედზე.

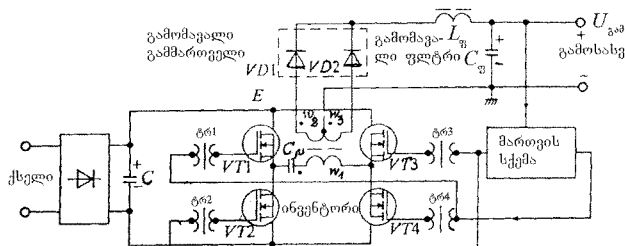
დატყირთვაზე მოქმედი ძაბვის საშუალო მნიშვნელობა ორტაქტიან ნახევრად ბოგურ სქემაში ორჯერ ნაკლებია, ვიდრე ორტაქტიან ორფაზა (push-pull) სქემაში.

$$E_g = mE. \quad (3.51)$$

ორტაქტიან ნახევრად ბოგურ სქემაში ჩაკეტილ ტრანზისტორებზე მოქმედებს კვების წაროს ძაბვა

$$U_{dmax} = U_{c1} + U_{c2} = E. \quad (3.52)$$

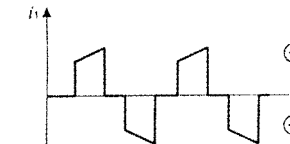
3.37 სურათზე მოცემულია ორტაქტიანი ბოგური გარდამქმნელის სქემა. ბოგურ სქემაში გამოყენებულია ოთხი ტრანზისტორი VT1...VT4, რომელთა გაღება და ჩამოტკიცვა მიმდინარეობს წყვილ-წყვილად: მუშა ციკლის ნახევარი პერიოდის მანძილზე ჩართულია (დიად) VT1 და VT2 ტრანზისტორები, ხოლო მეორე ნახევარპერიოდის მანძილზე – VT3 და VT4 ტრანზისტორები.



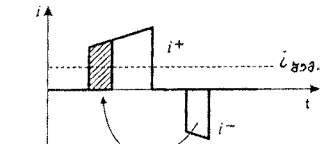
სურათზე მოცემულია ორტაქტიანი ბოგური გარდამქმნელის სქემა

ტრანსფორმატორის პირველადი გრაგნილი თითოეული ნახევარპერიოდის დროს მიუკროდება კვების წაროს პლუსს განსხვავებული ბოლოებით, რის გამოც მასში

გაივლის სხვადასხვა მიმართულების დენი. პირველადი გრაგნილის დენი წარმოსდგება სხვადასხვა პროდარობის ტრანზისტორის მიმულსების თანამიმდევრობის სახით. ამ იმპულსებს შორის არსებობს დამცავი პაუზა („მკვდარი დრო“) (სურ. 3.38)



სურ. 3.38. ბოგური გარდამქმნელის
ტრანზისტორების პირველადი
გრაგნილის დენის ფორმა



სურ. 3.39. დაფენითი და უარყოფითი
იმპულსების არასიმეტრიულობა
ბოგურ სქემაში

დადგენითი და უარყოფითი იმპულსების არასიმეტრიულობის (ხანგრძლივობის მიხედვით) შემთხვევაში, რაც შეიძლება გამოიწვიოს ტრანზისტორების კომუტაციის ხანგრძლივობათა შორის განსხვავებამ, წნევება მაგნიტოგამტარის შემაგნიტებელი დენი დედობით შემაგნიტების დენი გამოითვლება ფორმულით

$$i_\mu = \frac{1}{T} \int_0^T [i^+(t) - i^-(t)] dt. \quad (3.53)$$

მაგნიტოგამტარის მუდმივი დენით შემაგნიტების გამო, დამაგნიტების სიმეტრიული ციკლი ირდვება და მაგნიტოგამტარი შედის გაჯერების რეჟიმში, რაც იწვევს ტრანზისტორების ჩასაძინარში დენის ამპლიტუდის მკვეთრ გაზრდას. მაგნიტოგამტარის მუდმივი დენით შემაგნიტების თავიდან ასაცილებლად პირველადი გრაგნილის მიმდევრობით უნდა ჩაირთოს C_μ კონდენსატორი. კონდენსატორის სიდიდე გაიანგარიშება ფორმულით

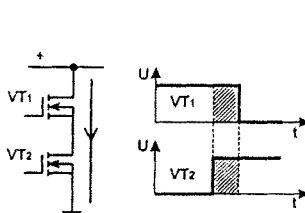
$$C_\mu \geq 0,1 \frac{i_{dmax}}{U_0 f}. \quad (3.54)$$

ბოგური გარდამქმნელის დატყირთვაზე მოქმედი ძაბვის საშუალო მნიშვნელობა, ორფაზა ორტაქტიანი გარდამქმნელის ანალოგურად, ეტოლება

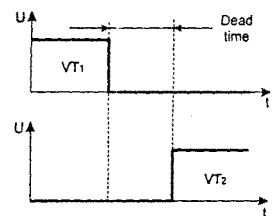
$$E_g = 2mE. \quad (3.55)$$

ნახევრად ბოგურ და ბოგურ გარდამქმნელებში განსაკუთრებულ მნიშვნელობას იძენს მართვის იმპულსების შევსების კოფიციენტის შეზღუდვისა და იმპულსთა შორის პაუზის („მკვდარი დრო“) საკითხი. როგორც 3.20 სურათიდან ჩანს, თუ $\gamma = 0,5$, მაშინ ჩამკეტი იმპულსის მიწოდებისას VT1 ტრანზისტორი ვერ ასწრებს ჩაკეტვას VT2 ტრანზისტორის გაღებამდე. ამიტომ ერთდროულად და მდგომარეობაში აღმოჩენება როგორც VT1, ისე VT2 ტრანზისტორი, ტრანზისტორებში გამოვლის გამჭოლი დენი, რასაც მწყობრიდან

გამოჰყავს ეს ტრანზისტორები. გამჭოლი დენისგან დაცვის მიზნით საკომუტაციო იმპულსები ტრანზისტორებს უნდა მიეწოდოს დროში დაძრულად (პაუზით) (სურ. 3.41).

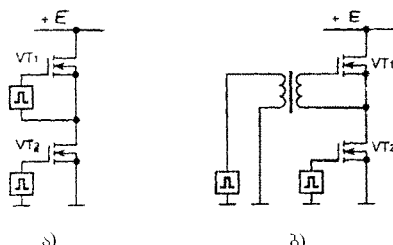


სურ. 3.40. გამჭოლი დენი ორგაქტიან
ნახევრად ბოგურ და ბოგურ სქემაში



სურ. 3.41. გამჭოლი დენისგან დაცვის
მეორედი

ნახევრად ბოგურ და ბოგურ ორგაქტიან გარდამქმნელებში გარევეული პრობლემები წარმოიქნება ძალურ ტრანზისტორულ გასაღებებზე მართვის იმპულსების მიწოდების ტექნიკური რეალიზაციის დროს. მართვის სისტემა ჩვეულებრივ აიგება იმ პრინციპით, რომ მისი გამოსავალის სიგნალის (განედურად მოდულირებული სიგნალი) მიწოდება ხდება გასაღების მართვის ელექტროდსა და საერთო სალტეს (ნულოვანი პოტენციალის სალტე) შორის. როგორც 3.42, ა სურათიდან ჩანს, ეს პრინციპი აღვილად რეალიზებადია VT2 ტრანზისტორისათვის (ჰედა დონის ტრანზისტორი). რაც შევხება VT1 ტრანზისტორის მართვას (ზედა დონის ტრანზისტორი), მისთვის ამ პრინციპის უშეადო განხორციელება შეუძლებელია, რადგან როცა VT2 ტრანზისტორი ჩაკეტილია, ხოლო VT1 ტრანზისტორი დია, მაშინ VT1 ტრანზისტორის სათავის პოტენციალი განისაზღვრება კვების წყაროს ძაბვით (და არა ნულოვანი სალტეს პოტენციალით). აქედან გამომდინარე, VT1 ტრანზისტორის მართვისათვის საჭიროა ნულოვანი სალტისგან გაღვანურად იზოლირებული სქემა. ამ პრობლემის გადაჭრის კლასიკურ მეთოდს მართვის იმპულსების მისაწოდებლად ტრანსფორმატორის გამოყენება წარმოადგენს (სურ. 3.42, ბ).



სურ. 3.42. ორგაქტიან ნახევრად ბოგურ და ბოგურ სქემებში ძალური
გასაღებების მართვის პრობლემის ასახველად

ამ, ესამად, ნახევრად ბოგური და ბოგური ორგაქტიანი გარდამქმნელების ზედა და ქვედა დონის ძალური ტრანზისტორული გასაღებების მართვისათვის დამუშავებულია საეციალიზებული მიკროსქემები (დრაივერები). დრაივერის გამოსავლების მიღება მართვის ძაბვები ზედა და ქვედა დონის ძალური ტრანზისტორებისათვის, მიღებულია ზომები საჭირო მმართველი დონეების უზრუნველსაყოფად და შექმნილია გაღვანური გართვის ექვივალენტი. გარდა ამისა, მიკროსქემა ასრულებს დაცვის დამატებით ფუნქციებსაც.

3.3.5.2. ორგაქტიანი იმპულსური

გარდამქმნელების მართვის ინტეგრალური მიკროსქემები

ორგაქტიანი იმპულსური გარდამქმნელების მართვისათვის დამუშავებულია და პრაქტიკაში გამოიყენება სხვადასხვა ტიპის ინტეგრალური მიკროსქემები. ზოგიერთი მათგანის ძირითადი მახასიათებლები (პარამეტრები) მოცემულია 3.4 ცხრილში.

3.4 ცხრილი

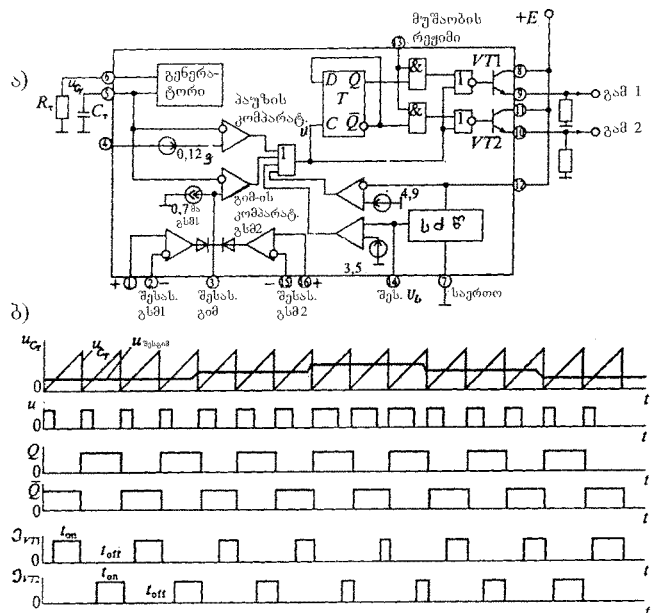
| იმს-ის ტიპი (ანალოგი) | ფუნქციური დანიშნულება | $U_{\text{ფ.}} \text{V}$ | $I_{\text{დამ.}} \text{A}$ | $f_{\text{e.}} \text{Hz}$ |
|--------------------------|--|--------------------------|----------------------------|---------------------------|
| SG1524 (1114 EY1) | ორგაქტიანი ბიმ კონტროლერი | 36 | 0.10 | 200 |
| TL494 (1114EY3/4) | ორგაქტიანი ინვერტორის ბიმ კონტროლერი | 36 | 0.20 | 400 |
| TL495 (1114EY5) | ორგაქტიანი ინვერტორის ბიმ კონტროლერი | 40 | 0.20 | 300 |
| UC3825 (1156EY2) | ორგაქტიანი ინვერტორის მაღალისიზორული ბიმ კონტროლერი | 30 | 1.50 | 1000 |
| UC3875 (1156EY4) | ბოგური ინვერტორის ფაზის წამნაცვლებული მართვის რეზონანსული კონტროლერი | 8...10 | 0.03 | 50 |

ცხრილში მითითებული ყველა მიკროსქემა გამოიმუშავებს ერთმანეთისგან პაუზით განცალებებულ მმართველი იმპულსების ორ თანამიმდევრობას. მიკროსქემის გამოსავალი (მართვის) იმპულსების სიმეტრიულობას უზრუნველყოფს მიკროსქემის სტრუქტურაში შემავალი ტრიგერული სისტემის გამოყოფი. მიკროსქემის გამოსასვლელზე მიღებული იმპულსთა სიხშირე თრაქე ნაკლებია დამკვეთი გენერატორის სიხშირეზე. ცხრილში ნაჩვენები მიკროსქემების გამოყენება შესაძლებელია ერთგაქტიანი გარდამქმნელების

მართვისთვისაც, თუ ამ მიკროსქემის ორივე გამოსახულებს გავაერთოანებთ. ამ შემთხვევაში გამოსახადი იმპულსების სიხშირე გაუტოლდება დაქვეთი გენერატორის სიხშირეს.

უნდა აღინიშნოს, რომ ერთგაქტიანი გარდამქმნელების მართვის ინტეგრალური მიკროსქემისგან განსხვავებით, ორტაქტიანი გარდამქმნელების მართვის იმსები არ შეიცავს ჩაშენებულ ძალურ ტრანზისტორულ გასაღებებს.

3.43. ა) სურათზე მოცემულია IBM-PC ტიპის კომიუტერების კვების ბლოკებში შემავალი ორტაქტიანი ინვერტორების მართვისთვის ფართოდ გამოყენებული TL494 ტიპის მიკროსქემის გამარტივებული სტრუქტურული სქემა (რუსული ანალოგი 1114ERY4).



სურ. 343. ორტაქტიანი გარდამქმნელების მართვისთვის გამოყენებული TL494 ტიპის მიკროსქემის სტრუქტურული სქემა (ა) და მისი შემაობის მაილუსტრირებელი გრაფიკები (ბ)

მიკროსქემის შემადგენლობაში შედის შემდეგი კვანძები:

- დამკვეთი გენერატორი გარეშე სიხშირულაგადებელი C_T, R_T კლემენტებით;
- საერთო გამოსახულების მქონე გაუთანხმოების (ჭყვილის) სიგნალის თრი მაძლიერებელი ბსმ1 და ბსმ2;
- ბიტის და პაუზის კომიტატორები, რომლებიც გამოიმუშავებენ გარანტირებულ პაუზიან მართვის იმპულსებს;
- იმპულსთა თრი თანამიმდევრობის მაფორმირებელი ტრიგერი – სიხშირის გამყოფი;

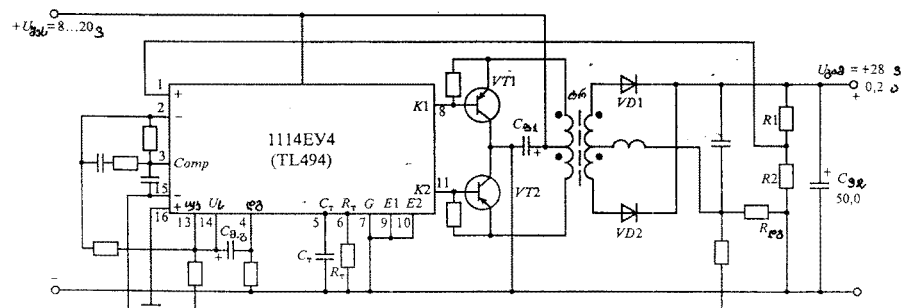
•+5 ვ საყრდენი ძაბეის წყარო;

- კვებისა და საყრდენი ძაბების მომეტებული შემცირებისგან დაცვის სქემები;
- იმპულსთა თრი თანამიმდევრობის მაძლიერებელი გამოსახალი მძლავრი (მძლავრი) კასკადები (დრაივერები).

TL494 მიკროსქემა შემდეგნაირად მუშაობს. დამკვეთი გენერატორი (RC გენერატორი) გამოიმუშავებს ხერხისებურ ძაბვას, რომლის სიხშირის დაუცილდება 0.05-ის მუხლის და მუხლის გამომყვანებული C_T და R_T გარეშე კლემენტების საშუალებით.

გამოსახალი იმპულსების სიგანის მოდულაცია მიიღწევა ხერხისებური ძაბეისა და გაუთანხმოების მაძლიერებლების გამოსახალი სიგნალის შედარების გზით (სურ. 343, ბ). შედარების შედევად მიიღია სიგანის მიხედვით მოდულირებული იმპულსთა U_c ერთი თანამიმდევრობა, რომლიც მიეწოდება ტრიგერს T. ტრიგერის გამოსახულებიდან გამოდის იმპულსთა თრი თანამიმდევრობა Q და \bar{Q} , რომლებიც დოგიური სქემის დახმარებით გარდაიქმნება სიგანის მიხედვით მოდულირებულ თანამიმდევრობებად. იმპულსთა ეს თანამიმდევრობები ანხორციელებენ VT1 და VT2 ტრანზისტორების (დრაივერების) მართვას. ამ ტრანზისტორების კოლექტორობებისა და ემიტორების წრეები გახსნილია, ამიტომ გამოსახალი სიგნალი შეიძლება მოიხსნას როგორც პირდაპირ, ისე ინვერსული სახით. 343, ბ სურათზე ნაჩვენებია VT1 და VT2 ტრანზისტორების ემიტორებიდან მოხსნილი სიგნალების თანამიმდევრობები.

3.44 სურათზე წარმოდგნილია ორფაზა (push-pull) გარდამქმნელის სქემა, რომელშიც მართვის ფუნქციის შესასრულებლად გამოყენებულია TL494 მიკროსქემა.



სურ. 344. ორტაქტიანი ორფაზა (push-pull) გარდამქმნელი მართვის TL494 მიკროსქემის გამოყენებით

სქემის შემაობის არსი შემდეგში მდგომარეობას:

• დანის გადამწოდის R_{I_3} წრედში ჩართულია $R_{T_3} C_T$ ფილტრი, რომელიც ახდენს VT1, VT2 ძალური ტრანზისტორების კომუნიკაციის პროცესში აღმრული დაბრკოდებების შესუსტებას;

• გარდამწნელის გამოსასვლელზე მიღებული ძაბვის სიდიდე განისაზღვრება ფორმულით

$$U_{\delta} = U_{bd} \left(1 + R_1/R_2\right),$$

სადაც $U_{bd}=5$ ვ.

• მართვის იმპულსთა ჭრის პაუზის ხანგრძლივობის დაუქნება ხდება 0მს-ის მე-4 გამომყვანისა და საყრდენი ძაბვის წყაროს (0მს-ის მე-14 გამომყვანი) ჭრის მიერთებული ძაბვის R_{31}, R_{32} გამჭოფის საშუალებით;

• პაუზის ფარდობითი სიდიდე განისაზღვრება შემდგომ ფორმულის მიხედვით

$$D_{\delta} = \frac{t_{\delta}}{T} = \left[45 - 80 \left(\frac{1}{1 + R_{31}/R_{32}} \right) \right] \%,$$

იგი არ უნდა იყოს დამკვეთი გენერატორის გამოსავალი სიგნალის პერიოდის T 4%-ზე ნაკლები;

• დამკვეთი გენერატორის რხევების პერიოდის T დაფურება ხდება 0მს-ის მე-5 და მე-6 გამომყვანებითან მიერთებული R_T, C_T ელემენტების პარამეტრთა შერჩევის გზით.

• დამკვეთი გენერატორის რხევების სიხშირე

$$f_s = \frac{1}{T} = 1.1 / (R_T C_T) \leq 100 \text{ გპ.}$$

• გაუთანხმოების სიგნალის მაძლიერებლის სიხშირეზე კორექციისათვის გამოყენებულია იმს-ის მე-3 და მე-4 გამომყვანებს ჭრის მიერთებული გარეშე R_{δ}, C_{δ} ელემენტები;

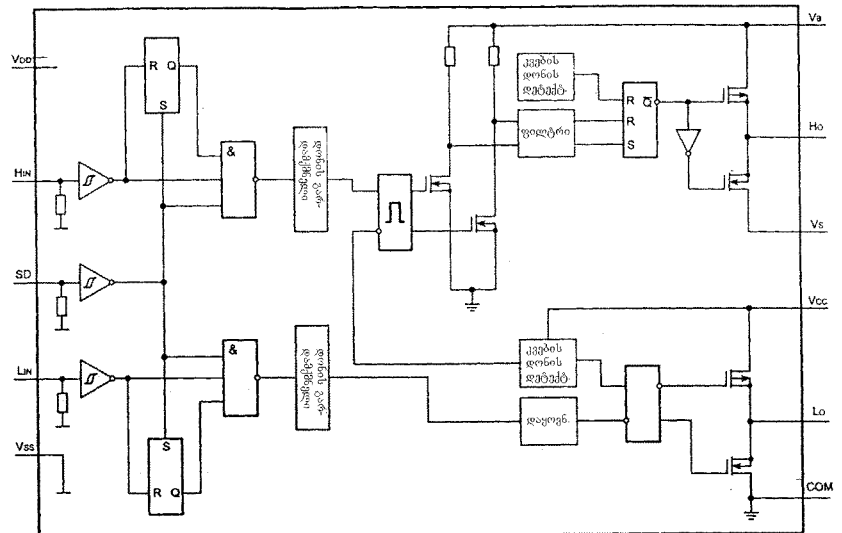
• გარდამწნელის მდორე გაშვების მიზნით, პაუზის რეგულირების შესასვლელსა (0მს-ის მე-4 გამომყვანი) და საყრდენი ძაბვის წყაროს U_{bd} (0მს-ის მე-14 გამომყვანი) ჭრის ჩართულია C_{a_3} კონდენსატორი;

• მდორე გაშვების დროს მეშვეობის გასვლის დრო განისაზღვრება ფორმულით

$$t_{a_3} = 2C_{a_3}R_{32}.$$

ნახვრად ბოგური და ბოგური ორტაქტიანი გარდამწნელების ძალური გასასვლების მართვისათვის შექმნილია და პრაქტიკაში ფართოდ გამოიყენება სპეციალიზებული მიკროსკემი – დრაივერები.

345 სურათზე მოცემულია IR2113 ტიპის დრაივერული მიკროსკემის სტრუქტურული სქემა. ამ მიკროსკემას უშევბს ფირმა International Rectifier.



სურ. 345. IR2113 ტიპის დრაივერული მიკროსკემის ფუნქციური კვანძები

როგორც სტრუქტურული სქემიდან ჩანს, ორტაქტიანი დრაივერი შედგება ორი დამოუკიდებელი არხისაგან. დრაივერის გამოსასვლელებზე მიღება ბოგას ზედა (Ho) და ქვედა (Lo) დონის ძალური ტრანზისტორული გასასვლების მართვის ძაბვები. მიკროსკემის შესავალ სიგნალს წარმოადგენს მართვის სტანდარტული ამპლიტუდის ლიგიკური დონე დრაივერში შემავალი სიგნალი მიეწოდება შემოტკიცირებულ გაერტყოდ იმპულსთა მაფორმიტებლების. მიკროსკემის V_{ce} და V_{dd} გამომყვანების მიუერთდება ქვებავი წყაროს ძაბვა, ხოლო ძალური წრედისა და მართვის წრედის დამიტებული სალტენები (V_{ss} და V_{com} გამომყვანები) გაღვანებისად გართულია. მიკროსკემაში გათვალისწინებულია ძალური და მართვის წრედების განცალკევებითი კვებაც. მიკროსკემის გამოსასვლი კასკადები აგებულია ველით მართული ტრანზისტორების კომპლექტაციულ წყვილებზე.

დრაივერის ჩართვის ტიპური სქემა წარმოდგენილია 346 სურათზე.

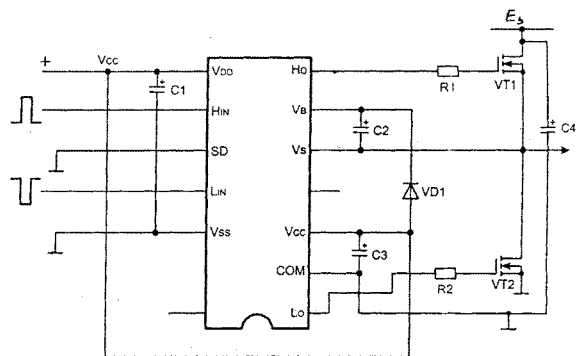
მიკროსკემას დამატებული აქვს გარეშე სქემური ელემენტები:

C_1 და C_3 - დრაივერის ფილტრის კონდენსატორები;

C_4 - ძალური წრედის ძაბვის მფილტრაცი კონდენსატორი;

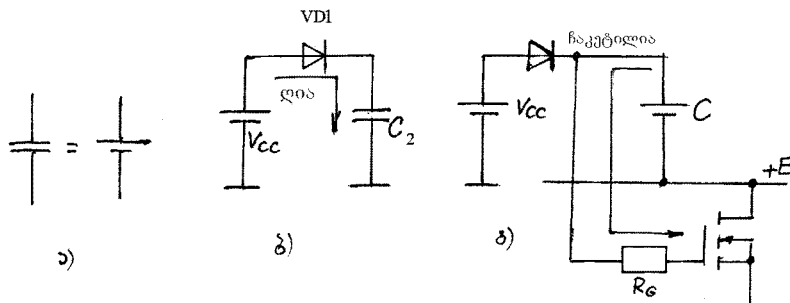
R_1 და R_2 - ძალური ველით მართული ტრანზისტორების საკეტის მიმდევრობით ჩართული რეზისტორები;

C_2 და $VD1$ - დრაივერის იმ ნახევრის ეკვივალენტური წყაროს კლუმპები, რომელიც განკუთვნილია ზედა დონის ტრანზისტორული გასაღების მართვისათვის.



სურ. 3.46. IR2113 დრაივერული მიკროსქემის ჩართვის ტიპური სქემა

მართვის ეკვივალენტური წყაროს მუშაობის არის შემდეგში გამოიხატება. როდესაც ჰქედა დონის ტრანზისტორული გასაღები ატარებს დენს, მაშინ ზედა დონის ტრანზისტორის სათავე მოუქრთდება საერთო სალტებს, $VD1$ დოოდი გაიღება და C_2 კონდენსატორი იმუხტება (სურ. 3.47, ბ).



სურ. 3.47. ეკვივალენტური წყაროს მოქმედების პრინციპის ასახვები: კონდენსატორი, როგორც ძაბვის წყაროს ეკვივალენტი (ა); C_2 კონდენსატორის დამუხტება გარეშე წყაროდან (ბ); C_2 კონდენსატორის განმუხტვა ზედა დონის ტრანზისტორული გასაღების მართვის კლუმპროდნე (გ)

როდესაც ჩაიკეტება ჰქედა დონის ტრანზისტორული გასაღები და იწყებს გადებას ზედა დონის ტრანზისტორული გასაღები $VD1$ დოოდი აღმოჩნდება ჩაკეტილ

მდგომარეობაში და ზედა დონის ტრანზისტორის მართვის წრედი მხოლოდ დამუხტებლი და მდგრადი დონის ტრანზისტორის მართვის წრედი მხოლოდ დამუხტებლი

C_2 კონდენსატორის განმუხტების დენით იკვებება (სურ. 3.47, გ).

3.4. სიმძლავრის კოეფიციენტის იმპულსური კორექტორები

3.4.1. სიმძლავრის კოეფიციენტი და მისი როლი იმპულსური კვების წყაროებში

სიმძლავრის კოეფიციენტი ა ეწოდება ვატუტრის მიერ გაზომილი ცვლადი და კულსირებული დენის აქტიური სიმძლავრის P ფარდობას მოჩვენებით (სურ. 3.47) სიმძლავრებთან S , რომელიც განისაზღვრება ვოლტმეტრისა და ამპერმეტრის მიერ გაზომილი მაბვისა და დენის მოქმედი მნიშვნელობების ნამრავლით

$$\alpha = \frac{P}{S} = \frac{P}{IU} . \quad (3.56)$$

წმინდა აქტიური დატყირთვის დროს $P = IU$, ე.ი. სიმძლავრის კოეფიციენტი მაქსიმალურია – $\alpha=1$.

როდესაც დატყირთვა არ არის წმინდა აქტიური ხასიათის, მაშინ სინუსოიდური ფორმის დენისა და ძაბვის შემთხვევაში

$$P = IU \cos \varphi , \quad (3.57)$$

ე.ი. $\alpha = \cos \varphi$, სადაც φ ქსელის ძაბვასა და დენს შორის ფაზური ძვრის კუთხეა.

კვრობაში საერთაშორისო კლემპტრიტექნიკური კომისიის (სურ.) მიერ შემუშავებულია სტანდარტი IEC-555, რომელიც აღგენს მოთხოვნებს კლემპტრონული აპარატურის მიერ ცვლადი დენის ქსელში წარმოქმნილი მაღალი რიგის პარმონიკების, დაბრკოლებებისა და ძაბვის რევენტების დონეზე. ამავე დროს, სიმძლავრის კოეფიციენტის მითხოვნილი მნიშვნელობის უზრუნველყოფა სავალდებულოა ნებისმიერი კლემპტრომოწყობილობისათვის, რომელიც ქსელიდან მოითხოვს 300 გტ-ზე მეტ სიმძლავრეს. მათ შორისაა: საფორცებოვრებო სელსაწყოები, სამდინცინო კლემპტრონული მოწყობილობები, მკროპროცესორები და კომპიუტერები, კლემპტრონული მაკონტროლებული აპარატურა, მეორეული კლემპტროკვების წყაროები.

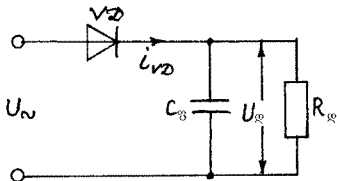
ამგამად მოქმედებაში შედის სეპის ასალი სტანდარტი IEC-1000-3-2 (IEC-555-ის ნაცვლად), რომლითაც მკერრად არის გამაცარტებული მოთხოვნები კლემპტრონერგიის მომხმარებლების სიმძლავრის კოეფიციენტის ნორმებზე ამ სტანდარტის მოთხოვნების დაცვა სავალდებულოა ყველა ფირმისა და ორგანიზაციისათვის, რომელთა კლემპტრონული პროდუქცია გადის საერთაშორისო ბაზარზე.

კარგადაა ცნობილი ქნერგიის ის მომხმარებლები, რომლებიც აუარესებენ სამრეწველო ქსელის სიმძლავრის კოეფიციენტს. ასეთ მომხმარებელთა ჯგუფის მიეკუთვნება: ინდუქციური ბალასტის შემცველი ლემინესცენციური ნათურები, იმპულსური კვების წყაროები ტევადობითი შესავალი ფილტრით და სხვა.

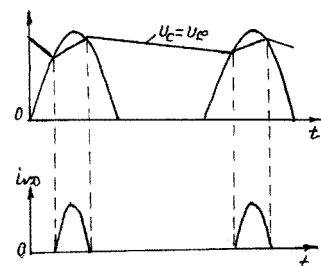
ზემოაღნიშვნულიდან გამომდინარე, უაღრესად აქტუალურია ამ მოწყიბილობების მიერ სამრეწველო ქსელიდან მოთხოვნილი სიმძლავრის ხარისხის გაუმჯობესების საკითხი. ამ საკითხის გადაჭრის მიზნით შექმნილია სიმძლავრის კოეფიციენტის პასიური და აქტიური კორექტორები.

3.4.2. სიმძლავრის კოეფიციენტის კლეპტონული კორექტორები

პირველ რიგში გავარდეთ, თუ როგორი იქნება სიმძლავრის კოეფიციენტის სიდიდე იმპულსური კევის წყაროებში, რომელთა შესასვლელზე ჩართულია ტევადობითი მაგლუვებელი ფილტრი (ქსელის გამართველის ფილტრი). სიმარტივისათვის ჩავთვალით, რომ ქსელის გამართველი აწყობილია ნახევარპერიოდიანი სქემის მიხედვით (სურ. 3.48). თუ სქემიდან ამოვრთავთ ფილტრის C_2 კონდენსატორს, მაშინ დატვირთვაზე (იმპულსური გარდამქმნელის შესასვლელზე) იმპულსებს გამართველი ძაბვა, რომელსაც უქნება ნახევარსინუსოდის ფორმა. როგორსაც R_L -ს პარალელურად ჩართულია კონდენსატორი C_2 , მაშინ იგი იმუხტება დროის იმ მინაკვეთში, როცა VD დიოდი დაი მდგომარეობაშია. VD დიოდის და მდგომარეობაში გადართვას კი განაპირობებს ანოდზე მოქმედი ცვლადი ძაბვის დადებითი ნახევარტალიდის მეტს მნიშვნელობასა და კათოდზე მოქმედი კონდენსატორის ნარჩენი ძაბვის მნიშვნელობას შორის თანაფარდობა (სურ. 3.49). დოოდი გაიღება, როცა ანოდზე მოქმედი ძაბვის დადებითი მეტი მნიშვნელობა გადააჭარბებს კონდენსატორის ნარჩენი ძაბვის სიდიდეს. ამის გამო, დიოდისა და მაშასადამეტ, ქსელიდან მოთხოვნილი დენი წარმოსდგება სანოკლე იმპულსების სახით. ასეთი სქემის სიმძლავრის კოეფიციენტი არ არემატება 0,5...0,7. სიმძლავრის კოეფიციენტი რომ გაიზარდოს აუცილებელია ქსელიდან მოთხოვნილი დენის ფორმა მიუახლოვდეს სინუსოდას. ამ ამოცანის შესრულება დაკისრებული აქვს სიმძლავრის კოეფიციენტის კლეპტონულ კორექტორებს.

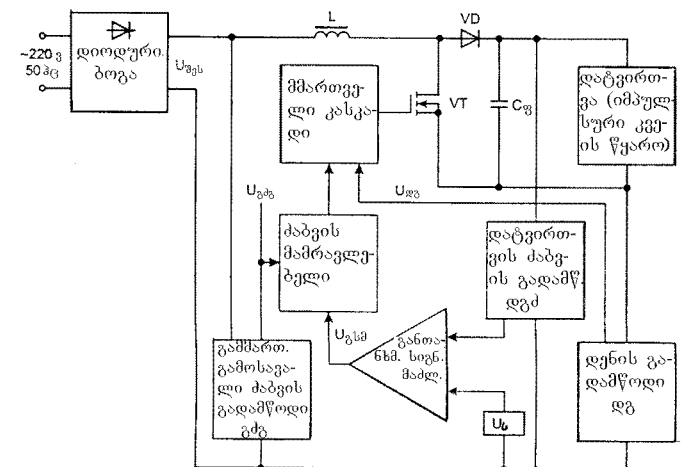


სურ. 3.48. იმპულსური წყაროების სიმძლავრის კოეფიციენტის განსაზღვრისათვის



სურ. 3.49. იმპულსური წყაროს ქსელის გამართველის გამოსავალი ძაბვისა და დენის ფორმები

3.50 სურათზე წარმოდგენილია სიმძლავრის კოეფიციენტის კორექტორის (სპ3) უმარტივესი სახის სტრუქტურული სქემა. სიმძლავრის კოეფიციენტის იმპულსური კორექტის იდეა შემდგები გამოიხტება. ქსელის გამართველის გამოსასვლელზე ტევადობითი ფილტრის ნაცვლად მიერთებულია ძაბვის ამამაღლებელი იმპულსური სტაბილიზატორი. სტაბილიზატორის შესასვლელზე ჩართულია მცირე ინდუქციურობას მქონე დროსელი და იგი მუშაობს უწყვეტი დენის ზღვრულ რეჟიმში (ინდუქციურობაში გამავლი დენის უწყვეტი და წყვეტადი რეჟიმების სახლვარზე).

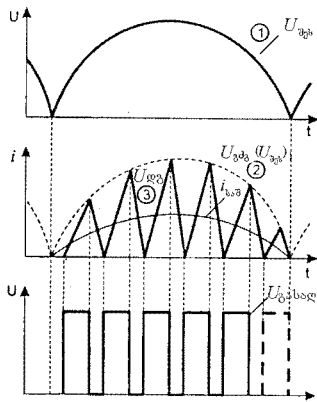


სურ. 3.50. სიმძლავრის კოეფიციენტის იმპულსური კორექტორის ტიპური ბლოკ-სქემა

ძაბვის ამამაღლებელი იმპულსური სტაბილიზატორის სქემა L დროსელის გარდა შეიცავს VT ტრანზისტორულ გასაღებს, VD დიოდსა და მაღლუვებელი ფილტრის კონდენსატორს. ძაბვის ამამაღლებელი იმპულსური სტაბილიზატორის მოქმედების პრინციპის თანახმად, VT ტრანზისტორის ჩართვისას (გაღებისას) ინდუქციურობაში წყვეტა დენის გავლა, რომელიც წრფივი კანონით იზრდება. ტრანზისტორის გამორთვის (ჩაკეტვის) შემდეგ L ინდუქციურობაში გამავალი დენი მცირდება ასევე წრფივი კანონით და VD დიოდის გავლით მუხტავს C_2 კონდენსატორს.

ტრანზისტორულ გასაღების ჩართვა-გამორთვას ანხორციელებს მართვის მოწყობილობა, რომელიც შედგება გამართველის გამოსავალი ძაბვის გადამზრდისაგან

(ზმდ), ინდუქციურობის ერთაში გამავალი დენის გადამწოდისაგან (დბ) და მართვის იმპულსების მაფორმირებელი სქემისაგან (შხ). მართვის იმპულსების ფორმირების პროცესი იღუშებრიორებულია 3.51 სურათზე ნაჩვენები დიაგრამებით. როგორც დიაგრამებიდან ჩანს, VT ტრანზისტორი ჩაირთვება დენის გადამწოდიდან მოხსნილი სიგნალის ნელოან გატოლების მომენტში (ე.ი. ინდუქციურობაში გამავალი დენი ეცემა ნულამდე). ტრანზისტორის გამორთვა კი მოხდება იმ მომენტში, როცა დენის გადამწოდიდან მოხსნილი წრფვი კანონით ზრდადი ძაბვა გაუტოლდება ძაბვის გადამწოდიდან მოხსნილი სინუსოდეული კანონით ცვალებადი ძაბვის მყის მნიშვნელობას. L ინდუქციურობის სიდიდე ისეა შერჩეული, რომ დენის გადამწოდება ძაბვის ზრდის სიჩქარე გაცილებით აღემატება გამართველის გამოსავალი ძაბვის მყის მნიშვნელობის ზრდის სიჩქარეს.



სურ. 3.51. სიმძლავრის კოუფიციენტის კორექტორში მომდინარე პროცესების დაგრამები

ტრანზისტორის გამორთვის შემდეგ L ინდუქციურობაში გამავალი დენი და, მაშასადამე, დენის გადამწოდიდან მოხსნილი ძაბვა, მცირდება წრფვი კანონით. როდესაც ეს ძაბვა ნედს გაუტოლდება VT ტრანზისტორი კვალვ ჩაირთვება და პროცესი მეორდება მაღალი სიხშირით.

ამგვარად, სქემის მიერ ქსელიდან მოთხოვნილი დენი წარმოსდგება ცვლადი ამპლიტუდის მქონე ხანძოებე იმპულსთა სახით. დენის იმპულსების ამპლიტუდათა მომცვლებს (წვეტილი წირი) აქვთ გამართველიდან სქემის შესავლელზე მიწოდებული ძაბვის (ამპლიტუდების მართლებული ძაბვა) ფორმა.

სიმძლავრის კოუფიციენტის კორექტორის სქემის მიერ მოთხოვნილი დენის საშუალო მნიშვნელობა $I_{\text{вх}}$ იცვლება სინუსოდეული კანონით და როგორც ფორმით, ისე ფაზით ემთხვევა სქემის შესასვლელზე მოქმედ ძაბვას (მართლებულ ძაბვას), როგორც ეს გაქვს

აქტიური დატვირთვის შემთხვევაში. აქვდან გამომდინარე სიმძლავრის კოუფიციენტის კორექტორი მაღალი სიმძლავრის კოუფიციენტის მიღების საშუალებას იძლევა.

სიმძლავრის კოუფიციენტის კორექტიის ამ შედარებით მარტივ მეორდს გააჩნია სურიოზული ნაკლი. როდესაც იცვლება სქემის შესასვლელზე ქსელის გამართველიდან მიწოდებული ძაბვა (ქსელის ძაბვის არასტაბილობის გამო), შეიცვლება დენის საშუალო მნიშვნელობაც (დენის იმპულსების ამპლიტუდის შეცვლის გამო). გარდა ამისა, ყორექტორის დატვირთვის წინაღობის ცვლილება გაფლენას ახდენს სქემის გამოსასვლელზე მიღებული ძაბვის სიღიდეზე, რადგან ინდუქციურობაში დაგროვილი წნევგის განმცხეტა დატვირთვის სხვადასხვა წინაღობის დროს სხვადასხვა სისწრაფით მოხდება. ზემოაღნიშვნიდან გამომდინარე, სიმძლავრის კოუფიციენტის კორექტორის სქემაში საჭირო ხდება დამატებითი ზომების მიღება გამოსავალი ძაბვის სტაბილიზაციის მიზნით. სიმძლავრის კოუფიციენტის ყველა თანამედროვე კორექტორი შეიცავს ძაბვის სტაბილიზაციის დამატებით კვნძებს.

350 სურათზე წარმოდგენილ სიმძლავრის კოუფიციენტის კორექტორის ბლოკ-სქემაში სტაბილური გამოსავალი ძაბვის მისაღებად გამოყენებულია დატვირთვის ძაბვის გადამწოდისა (დბ) და გაუთანხმოების სიგნალის მაღლიერებლის (შხ) კვანძები. დატვირთის ძაბვის გადამწოდიდან მოხსნილი ძაბვისა ($U_{\text{лж}}$) და საყრდენი (ეტალონური) ძაბვის სხვაობის პროპორციული სიგნალი ($U_{\text{вх}}$) გაუთანხმოების სიგნალის მაღლერებლის გამოსასვლელიდან მიეწოდება ძაბვის მართლებულ კვანძს. ამავე კვანძს მიეწოდება შესავალი ძაბვის გადამწოდიდან მოხსნილი ძაბვაც ($U_{\text{вх}}$).

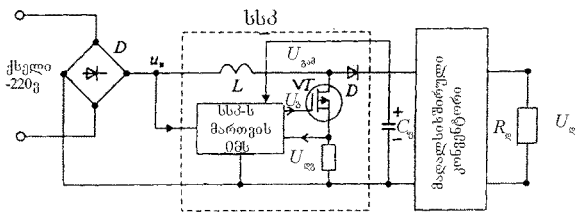
მამარავლებლის გამოსასვლელზე მიღებული სიგნალი ტრანზისტორული გასაღების მართვის სისტემის გამოსასვლელზე აფორმირებს სანგრძლივობის მიხედვით მოდულირებულ იმპულსებს (განვითარებული მოდულაცია).

გამოსასავალი ძაბვის მიხედვით უკუკვშირი განსახილებელ სქემაში უარყოფითა, ამიტომ გამოსასავალი ძაბვის გაზრდისას გაუთანხმების სიგნალი შემცირდება. შესაბამისად შემცირდება იმპულსური დენის ამპლიტუდის მაღლებლი ძაბვის ($U_{\text{лж}}, U_{\text{вх}}$) ამპლიტუდა, რაც გამოიწვევს ინდუქციურობაში გამავალი იმპულსური დენის ამპლიტუდების შემცირებას და, მაშასადამე, საშუალო დენის ($I_{\text{вх}}$) შემცირებასაც. ამის გამო, შემცირდება გამოსასავალი ძაბვაც (აღგება საჭირო მნიშვნელობა).

გამოსასავალი ძაბვის შემცირების დროს მიღინარებოს საპრისპორო პროცესი, რის შედეგადაც კვლავ აღდგება გამოსასავალი ძაბვის საჭირო მატგარად, ქსელის ძაბვის ან დატვირთვის წინაღობის ცვლილება გაფლენას არ მოახდენს გამოსასავალ ძაბვაზე.

სიმძლავრის კოუფიციენტის კორექტიის და გამოსასავალი ძაბვის სტაბილიზაციის ზემოაღწერილი პროცედურა გამოყენებულია მართვის სპეციალიზებულ მიკროსქემებში.

3.52 სურათზე ნაჩვენებია იმპულსურ კვების წყაროში სიმძლავრის კოეფიციენტის კორექტორის ჩართვის სქემა. აქ სკპ თო ფუნქციას ასრულებს: ახდენს სიმძლავრის კოეფიციენტის ამაღლებას და გამოიმუშავებს სტაბილიზებულ ძაბვას U_s , რომელიც ფილტრის C_2 კონდინსატორიდან მიეწოდება მაღალსიხშირულ გარდამქმნელს.



სურ. 3.52. იმპულსურ კვების წყაროში სპპ-ს ჩართვის სქემა

ასე, მაგალითად, თუ იმპულსური კვების წყარო იკვებება 220 ვ ცვლადი დენის ქსელიდან, მაშინ სპპ-ს შესასვლელზე იმოქმედებს დაახლოებით 300 ვ ამძლიტუდის გამართული ძაბვა. სპპ-ს სქემის ამამაღლებელი სტაბილიზატორის გამოსასვლელზე მიიღება დაახლოებით 400 ვის ტოლი ძაბვა, რომელიც მაღალსიხშირული კონკვერტორით გარდაიქმნება დატყირთვის საჭირო სიდიდის U_s სტაბილურ ძაბვად.

სპპ-ს მართვისათვის სხვადასხვა ფირმის მიერ დამაზუშავებელია სპეციალიზებული მიკროსქემები. ყველა ასეთი მიკროსქემა შესაძლებელია დაჯგუფდეს მოქმედების პრინციპის, ფუნქციური დანიშნულების, მართვის გამოსასვლი დენის და სხვა ნიშის მიხედვით. 3.5 ცხრილში მოცემულია სპპ-ს მართვის მიკროსქემების ძირითადი მონაცემები.

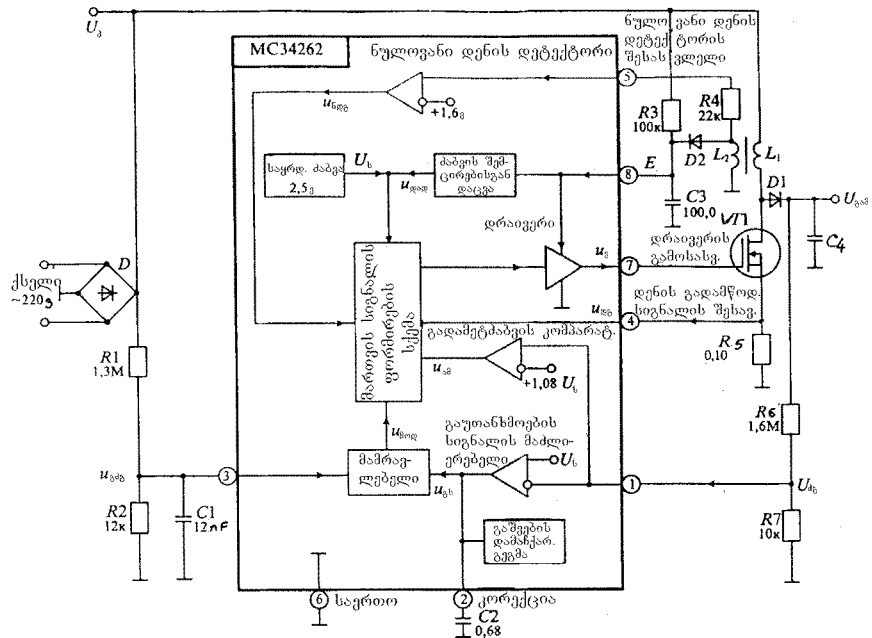
მაგალითის სახით განვიხილოთ MC34262 ტიპის მიკროსქემაზე აწყობილი სიმძლავრის კოეფიციენტის კორექტორი. ამ მიკროსქემის სტრუქტურული სქემა წარმოდგენილია 3.53 სურათზე.

3.5. ცხრილი

| იმს-ის ტიპი (ანალოგი) | ფირმა | ფუნქციური დანიზნულება | კვების ძაბვა, ვ | გამოსასვლი დენი, ა |
|--------------------------|--------------|---|--------------------|-----------------------|
| ML 4812 (1033EY4) | Micro Linear | ამამაღლებელი სტაბილიზატორის კონტროლერი სიმძლავრის კოეფიციენტით | 12...25 | 0,2 |
| ML 4819 (1033EY6) | იგვე | სპპ-ს და ერთბაქტიანი გარდამქმნელის მართვის გიგ | 12...35 | 1,0 |
| TDA4814 | Siemens | ამამაღლებელი სტაბილიზატორის გიგ კონტროლერი სიმძლავრის კოეფიციენტი | 12...25 | 0,5 |

| | | ტიპის კორექტორით | | |
|---------|-----------|------------------|---------|-----|
| TDA4862 | იგვე | იგვე | 12...35 | 0,5 |
| MC34261 | Motorolla | იგვე | 10...30 | 0,2 |
| MC34262 | იგვე | იგვე | 10...30 | 0,2 |

გამართული ძაბვა U_d გაფილტვრის გარეშე L_1 დროსელის გავლით მიეწოდება ძალურ ტრანზისტორს. მიკროსქემას კვების ძაბვა მიეწოდება R_3 , C_3 ფილტრის გავლით. როდესაც კვების ძაბვა 7გ-ს გაუტოლდება, გაეშვება გარდამქმნელი და მიკროსქემის კვება განსორციელდება დროსელის L_2 მეორეული გრაგნილიდან D_2 დიოდის გავლით. ამ შემთხვევაში მიკროსქემის კვების ძაბვა დაახლოებით 12 ვის ტოლია.



სურ. 3.53. MC34262 ტიპის მიკროსქემის სტრუქტურული სქემა

ძალური $VT1$ ტრანზისტორიდან მოხსნილი 75 ბრ სიხშირის იმპულსური ძაბვა გაიმართება $D1$ დიოდით და ეს ძაბვა ახდენს $C4$ კონდენსატორის დამუხტვას. ძაბვის გამოყოფილი მოხსნილი უარყოფითი უკუკაშირის ძაბვა კი განაპირობებს სპპ-ს გამოსასვლზე სტაბილური ძაბვის მიღებას. ეს ძაბვა მიეწოდება მიკროსქემის 1 გამომცვანს. ეს გამომცვანი დაგავშირებულია გაუთანხმოების სიგნალის მაძლიერებლის მანვერსირფ-

პერ შესახლებულთან. ამავე მაძლიერებლის არამაინცერებულ შესახლებულზე მიერთვა ბულია საყრდენი (ეტალონური) ძაბვის წყარო ($U_1 = 2,5$ გ). უცუპაგშირისა და საყრდენი ძაბვის შედარების შედეგად მაძლიერებლის გამოსასახლებულზე მთიღება სიგნალი $U_{\text{ამ}}$.

უარყოფითი უცუპაგშირის წრფეში ჩართული ძაბვის გამყოფის წინაღობის განსაზღვრა, გამოსასახლებლი ძაბვის მოცემული მნიშვნელობის დროს, შესაძლებელია შემდეგი უორმულების გამოყენებით:

$$I_{\text{ამ}} = \frac{U_{\text{ამ}}}{R6 + R7}; \quad R7 = \frac{2,5}{I_{\text{ამ}}}. \quad (358)$$

ასე მაგალითად, როცა $U_{\text{ამ}} = 400$ გ, თუ დაკუშებეთ, რომ $I_{\text{ამ}} = 0,25$ მა, მივიღეთ: $R7 = 2,5 / 0,25 \cdot 10^{-3} = 10$ კომ; $R6 \approx 1,6$ მომ.

გაუთანასმოების სიგნალის მაძლიერებლის გამოსახლი ძაბვა მიეწოდება მამრავლებულს, რომლის მეორე შესახლებლის მიერთებული აქს ქსელის გამზართვებლის ძაბვის $R1$, $R2$ გამყიფიდან მოხსნილი ძაბვა. მამრავლებლის გამოსასახლებულზე გამომუშავდება ნახევარსინუსოდის ფორმის მამოღულებელი ძაბვა U_s , რომლის ამჰლიტუდა განისაზღვრება სიმძლავრის კოფიციენტის კორელაციის როგორც გამოსახლი, ისე შესახლი ძაბვით.

ძალური ტრანზისტორის მართვის სიგნალის მაფორმირებულ სქემას მიეწოდება ორი მირითადი სიგნალი: მამრავლებელი სქემიდან მოხსნილი მამოღულებელი სიგნალი და ძალური ტრანზისტორის (L1 დროებელის) დენის გადამწოდიდან მოხსნილი ძაბვა $U_{\text{ამ}}$. მართვის სიგნალის მაფორმირებულ სქემას სიგნალები მიეწოდება აგრესუა კვების პლოკის დაცვის კვანძებითან. ეს კვანძებია: საყრდენი ძაბვისა და კვების ძაბვის დასაშეებულზე მეტად შემცირებისგან დაცვის კვანძი, სპპ-ს გადამტბრივისგან დაცვის კვანძი და ნულოვანი დენის დეტექტორის კვანძი. მართვის სიგნალის მაფორმირებლის სქემაში არსებული ლოგიკური ბლოკი დაცვის რომელიმე კვანძის ამოქმედების შემთხვევაში გამოიმუშავებს აქტრანსის სიგნალს, რომელიც ახდენს სპპ-ს გამორთვას.

მიკროსქემის გაშეების დასაჩქარებლად მას დამატებული აქს დამატებებული სქემა, რომელიც უზრუნველყოფს მაკორექტირებელი C2 კონდენსატორის სწრაფ დამუხტებას 1,7 კმდე.

მიკროსქემის გამომავალი კასკადი - დრაივერი უზრუნველყოფს ძალური ტრანზისტორის მართვისათვის საჭირო სიდიდის ძაბვასა და დენს დრაივერის გამოსასახლებლიდან მოიხსება 0,3 და 8,4 გ ამჰლიტუდის ლოგიკური სიგნალი, როდესაც დენის მაქსიმალური მოხმარება არ აღემატება 0,2 ა. ასეთი სიგნალით შესაძლებელია ველით მართული ტრანზისტორების მართვა, მაგრამ იგი არ არის საქმარისი ძალური ბიპოლარული ტრანზისტორების მართვისათვის.

დროსების შესახლი გრამილის ინდუქციურობის შემთხვევა. სიმძლავრის კოეფიციენტის კორექტორის სქემის ცენტრალურ პასიურ ელემენტებს ინდუქციურობის კოჭა (დროსები). თუ ამ კოჭას ინდუქციურობა ძალიან პატარაა, მაშინ სქემის შესახლი დენ მნიშვნელოვნადაა დამახიჯებული, რაც სიმძლავრის კოეფიციენტის შემცირებას გამოიწვევს, რადგან მცირე ინდუქციურობის კოჭაში დაგროვილი ენერგია სწრაფად განიმუშებება და კოჭაში გამავალი დენ წყვეტილი სახის გახდება.

თუ კოჭას ინდუქციურობა დიდი სიდიდისა, მაშინ კოჭაში გროვდება ჭარბი ენერგია, რამაც შესაძლოა გამოიწვიოს გამოსახლი ძაბვის მნიშვნელოვანი გაზრდა. გარდა ამისა, იზრდება დროსების მასა და გაბარიტება.

დროსების ინდუქციური მარტივური სიდიდის შესარჩევად საჭირო გაანგარიშებას ახდენენ შემდეგი მეთოდიებს მიხედვით. ინდუქციურობის საჭირო სიდიდეს შეირჩევენ შემდეგი საწყისი მონაცემების გათვალისწინებით: შესავალი ძაბვის მინიმალური $U_{\text{ამ},\min}$ და მაქსიმალური $U_{\text{ამ},\max}$ მნიშვნელობები, გამოსახლი ძაბვა $U_{\text{ამ}}$, გამოსახლი სიმძლავრე და გარდაქმნის სიხშირე. გარდა ამისა, დროსებული არსებული დანაკარგების გათვალისწინება უნდა მოხდეს მდგრ-ის სიდიდის დაკვითით. ამ მონაცემების მიხედვით კოჭას ინდუქციურობის განსაზღვრის დროს შეიძლება ვისარგლებლოთ შემდეგი გამოსასაზღვრებით.

$$L < \frac{U_{\text{ამ},\max}^2 (U_{\text{ამ}} - U_{\text{ამ},\min}) \eta}{U_{\text{ამ}} f \cdot 4P_{\text{ამ}}} \quad (359)$$

ან

$$L < \frac{U_{\text{ამ},\min}^2 (U_{\text{ამ}} - U_{\text{ამ},\min}) \eta}{U_{\text{ამ}} f \cdot 4P_{\text{ამ}}} \quad (360)$$

(359) და (360)-ის მიხედვით განსაზღვრული ინდუქციურობებიდან უნდა შეირჩეოს უცირესი.

მაბალიტი ქსელის ძაბვა იცვლება 90-დან 270 კ-მდე გამოსახლი ძაბვა $U_{\text{ამ}} = 400_3$, ხოლო გამოსახლი სიმძლავრე $P_{\text{ამ}} = 150$ კტ. გარდაქმნის სიხშირე $f_a = 25$ კჰც. $\eta = 0,9$.

პირველ რიგში გამოულობოთ შესახლი ძაბვის ამჰლიტუდის მინიმალურ და მაქსიმალურ მნიშვნელობების:

$$U_{\text{ამ},\min} = \sqrt{2} \cdot 90 = 127_3, \quad U_{\text{ამ},\max} = \sqrt{2} \cdot 270 = 382_3.$$

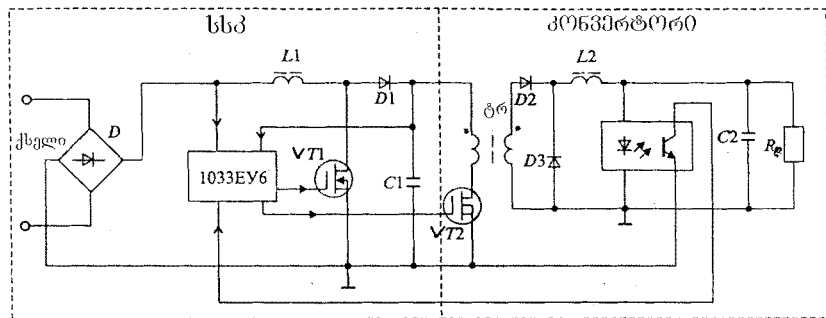
(359) და (360)-ის მიხედვით დაგადგენოთ ინდუქციურობის მნიშვნელობებს:

$$L < \frac{382^2 (410 - 382) \cdot 0,9}{410 \cdot 25 \cdot 10^3 \cdot 4 \cdot 150} = 598 \text{ მჰპ.}$$

$$L < \frac{127^2 (410 - 127) \cdot 0,9}{410 \cdot 25 \cdot 10^3 \cdot 4 \cdot 150} = 668 \text{ მჰპ.}$$

შევირჩევთ $L = 600$ მჰპ.

სიმძლავრის კოფიციენტის კორექტორის (სპ) გამოყენება იმპულსური კვების წყაროებში დაკავშირებულია დამატებით დანახასარჯებოთან. ამიტომ მიზანშეწონილია ან კვების მთელი სისტემის ცენტრალურაცია ერთი სპ-ს გამოყენებით, ანდა სპ-ს შერწყმა იმპულსური კვების წყაროს მართვის ერთ მიკროსქემაში. ამ მიზნით შექნილია სპცო-ალინებული მიკროსქემები, რომლებიც ერთდროულად ანხორციელებენ როგორც სპ-ს, ისე კვების წყაროს იმპულსური გარდამქნელის მართვას. ერთ-ერთი ასეთი სახის მიკროსქემას წარმოდგენს Micro Linear ფირმის ML4819 ტიპის მიკროსქემა. 3.54 სურათზე წარმოდგენილია სიმძლავრის კოფიციენტის კორექტორიანი პირდაპირსკლიანი ერთტაქტიანი გარდამქნელის შემცველი კვების წყაროს სქემა ML4819 მიკროსქემის ბაზაზე.

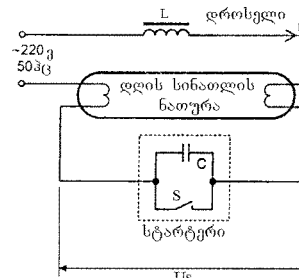


სურ. 3.54 სპ-ს და ერთტაქტიანი პირდაპირსკლიანი გარდამქნელის
მართვის ML4819 მიკროსქემის ჩართვის გამატივებული სქემა

მიკროსქემა უზრუნველყოფს სპ-ს და პირდაპირსკლიანი ერთტაქტიანი გარდამქნელის სინქრონულ მართვას. იმპულსური კვების წყაროების მარტივი სქემებისგან განსხვავებით, წარმოდგენილ სქემაში ძაბვის ამამაღლებელი სტაბილიზატორს დამატებული აქვს შემდეგი კლემენტები: VT1 ტრანზისტორი, VD1 დიოდი და L1 დროსელი. სქემის დანარჩენი კლემენტები გამოყენებულია პირდაპირსკლიან ერთტაქტიან გარდამქნელში ოპტრონული უძუპარშირით.

4. ლუმინესცენციური ნათურების ელექტრონული ბალასტი

ლუმინესცენციური (დღის სინათლის) ნათურების ასათვებად საჭიროა დამატებითი კლემენტები (დროსელი, კონდენსატორი, სტარტერი), რომელთაც კლემპტრული ბალასტი ეწოდება. კლემპტრობალასტის მუშაობის არსები გარკვევის მიზნით განვიხილოთ ლუმინესცენციური ნათურების კლასიკური სქემა (სურ. 3.55).

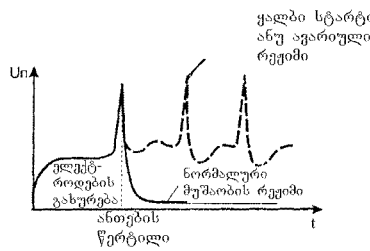


სურ. 3.55. კლემპტრობალასტის კლასიკური სქემა

სტარტერი წარმოდგენს აირით ავსებულ კოლბას, რომელშიც მოთავსებულია ბიმეტალის ფირფიტა. როდესაც კოლბაში მოთავსებული აირი დაიონებულია, მაშინ ბიმეტალის ფირფიტა თბება და იგი შეერავს კონტაქტს. აირის დაუიონებელი მდგომარეობის დროს ბიმეტალის ფირფიტა კონტაქტს გათიშავს.

გამორთული (ცივი) ლუმინესცენციური ნათურის კლემპტროდებსშორისი აირის წინაღობა ძალზე დიდი სიღრიძისაა. ამიტომ ნათურის ქსელის ძაბვასთან მიერთებისას, ქსელის მთელი ძაბვა სტარტერს მოვდება. ეს ძაბვა მოახდენს კოლბაში არსებული აირის იონიზაციას, ბიმეტალის ფირფიტა ცხელდება და შეერავს კონტაქტს. სტარტერის კონტაქტით ჩაკატებილი წრედის დროსელში და ლუმინესცენციური ნათურის გარვარის სპრალში გაივლის დენი. ამიტომ დაიწყება დროსელში ენერგიის დაგროვება, ხოლო გახურებული გარვარის სპრალიდან - კლემპტრონების ემისია. ნათურის შიგნით თავისუფალი მუხტების წარმოქმნისას მცირდება კლემპტროდებსშორისი შუალედის წინაღობა. ამის გამო, შემცირდება პოტენციალთა სხევაბა სტარტერის კლემპტროდებს შორის და შეტყობინება კოლბაში არსებული აირის იონიზაციის პროცესის დაგროვებით გნერგიის სარჯებზე იწყება კლემპტრული ენერგიის ცლეპტრული მუხტის დაგროვება კონდენსატორში. დროსელის ინდუქციურობა დიდი სიღრიძისა, ხოლო კონდენსატორის ტემპერატურა - შედარებით მცირე სიღრიძის. ამიტომ ბიმეტალის ფირფიტის მიერ კონტაქტის გაწვევის მომენტში კონდენსატორზე და, მაშასადამე, ლუმინესცენციური ნათურის კლემპტროდებს შორის ადგილი ექნება დიდი ამპლიტუდის ძაბვის რეზონანსული ამონატორცნს (სურ. 3.56), რომელიც მოხდენს

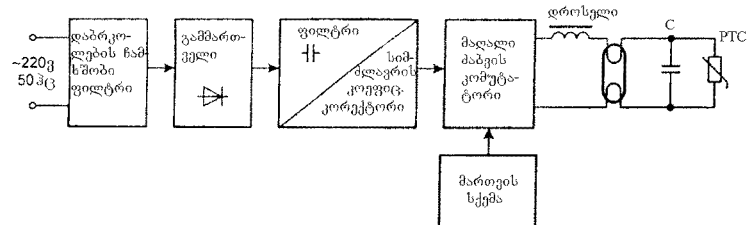
ნათურის ელექტროდთაშორისი აირის სრულ იონიზაციას და მის ანოებას. ნათურის ანოების შემდეგ მკვეთრად ეცემა ლუმინესცენციური ნათურის ელექტროდთაშორისი წინაღობა, სტარტერი დაშუნებდება და გამოირთვება. მუშაობაში დარჩენილი დროსები, თავისი ინდუქციური წინაღობით, ხელს უწყობს ნათურის ელექტროდებს შორის მუშა ძაბვის შენარჩუნებას. თუ რამე მიზეზით ნათურა არ აინთ (მაგალითად, დროზე ადრე მოხდა ბიმეტალის ფირფიტით კონტაქტის გათიშვა), მაშინ ალიმპრება ავარიული რეჟიმი, რომელსაც თან ახლავს ყალბ-სტარტები და ნათურა ნააღრევად გამოდის მწყობრიდან (სურ. 3.56).



სურ. 3.56 ლუმინესცენციური ნათურის მუშაობის რეჟიმების
მაილუსტრირებელი გრაფიკი

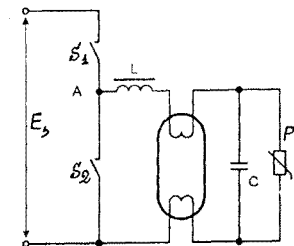
ლუმინესცენციური ნათურის დაბალი სიხშირის ცვლადი დენის ქსელიდან კვების დროს, ძაბვის ნულზე გავლის მომენტში ნათურაში არსებული აირი ასწრებს ნაწილობრივ დეიონიზაციას, რასაც თან ახლავს თვალისათვის შესამჩნევი ციმციმი. გარდა ამისა, ნათურის ასანთქად გამოყენებულ კლასიკურ ბალასტის გააჩნია დიდი გაბარიტები (პირველ რიგში დროსელს). სტარტერი არასაიმდოა მუშაობაში. მისი მწყობრიდან გამოსვლის დროს აღმრუდი ყალბ-სტარტები მკვეთრად ამცირებს ნათურის ხანგამდლეობას. ლუმინესცენციური ნათურის სიმძლავრის კოეფიციენტი დაბალია.

ყველა ზემოაღნიშვნული ნაკლი გამოსწორებულია იმპულსურ რეჟიმში მომუშავე ელექტრონული ბალასტის გამოყენების შემთხვევაში. ელექტრონული ბალასტის ზოგადი სტრუქტურული სქემა წარმოდგენილია 357 სურათზე.



სურ. 357 ელექტრონული ბალასტის ტიპური სტრუქტურული სქემა

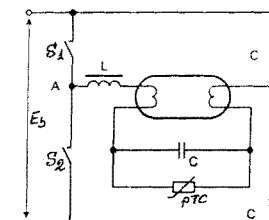
როგორც სტრუქტურული სქემიდან ჩას, ლუმინესცენციური ნათურა ცვლადი დენის ქსელს უერთდება დაბრკოლებების ჩამხმობი ფილტრის, გამართველისა და მაღალი ძაბვის კომუტატორის საშუალებით. სიმძლავრის კოეფიციენტის კორელაციი უმრავლეს შემთხვევაში არ გამოიყენება, რადგან ლუმინესცენციური ნათურების სიმძლავრე 100 ვტ-ს არ აღემატება. სპეციალური მიზანით შემთხვევაში, თუ ელექტრონული ბალასტი გათვალისწინებულია რამდენიმე (3...4) ერთიანური ნათურის ასანთქად. ზოგიერთ ელექტრონულ ბალასტს არ გააჩნია აგრეთვე დაბრკოლებების ჩამხმობი ფილტრი. მის ნაცვლად გამოიყენება არაპლარული, მცირე ტეპუატორის მქონე კონდენსატორი.



სურ. 3.58 ელექტრონბალასტის აგების ფართოდ გაერცელებული გარიანტი

3.58 სურათზე მოცემულია ელექტრობალასტის გამარტივებული სქემა. L დროსების გროვ ბოლო (A წერტილი) S1 და S2 გასაღებების საშუალებით პერიოდულად მოუკრთდება ან კვების ძაბვას, ანდა საერთო სალტეს (ნულფან სალტეს). ამის გამო, A წერტილისა და საერთო სალტეს შორის იმოქმედებს მაღალი სიხშირის ერთი პოლარობის იმპულსური ძაბვა (გასაღების კომუტაციის სიხშირე 20...120 ჰეც ფარგლებშია). ეს იმპულსური ძაბვა, ერთის მხრივ, ახდენს ნათურის ანოებას, მეორეს მხრივ გამორიცხავს დაბალი სიხშირის ძაბვით კვების დროს არსებულ ნათურის ციმციმს. გარდა ამისა, მოლიანად გამოირიცხება ყალბ-სტარტები, ხოლო იმპულსობრივ შეცვების კოეფიციენტის რეგულირების გზით იცვლება ნათების სიკაშაშე, მკვეთრად მცირდება ბალასტის სქემაში გამოყენებული ინდუქციური ელემენტის ზომები.

პრაქტიკაში გამოიყენება ელექტრონული ბალასტის ნახევრად პოგური სქემაც.



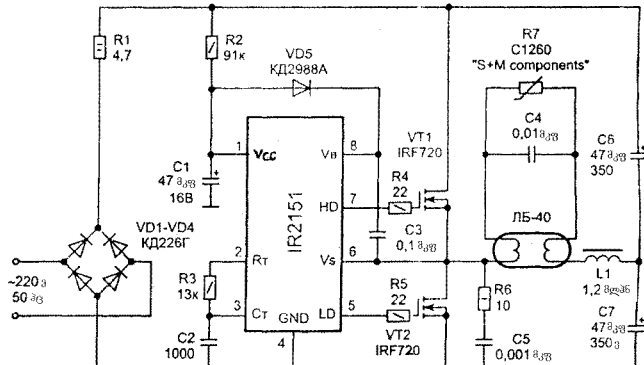
სურ. 3.59. ელექტრონული ბალასტის ნახევრად პოგური სქემა

დაუმინესცვნცოური ნათურის პრეცედადი ანოგბისათვის აუცილებელია ვარგარის საირალის საწყისი გახურება. მისი გამო, რომ კლემტრონული ბალასტის სტარტი აღარ გამოიყენება, ძალური წრედის შეკვრა უნდა განხორციელდეს სხვა მეთოდის გამოიყენებით. ამ ფუნქციის შესრულება დაგისრებული აქვს კონდენსატორის პარალელურად შეერთიებულ დადგბითი ტემპერატურული კოეფიციენტის მქონე თერმისტორის (სურ. 3.58). ციფრი თერმისტორის წინაღობა მცირება, ამიტომ თერმისტორის საჭალებით ნათურის ვარგარის საირალში გაივლის მისი ნორმალურ ტემპერატურამდე გახურებისათვის საჭირო დწნი. ერთდროულად თბება თერმისტორიც და როდეზაც მისი ტემპერატურა მიაღწევს ზღვრულ სიღრიებს, მისი წინაღობა მკვეთრად გაიზრდება, ხოლო წრედში გამავალი დწნი მკვეთრად შემცირდება. დწნის მკვეთრი შემცირების გამო ინდუქციურიაში დაგროვდი ქერგია გამოიწვევს კონდენსატორზე ძაბვის რეზონანსულ ამოტყორცნას (სურ. 3.56), რომელიც აანთებს ნათურას. ანთეპული ნათურის მცირე შიგა წინაღობა დაშუნებებს თერმისტორს და იგი გამოითხება.

თანამედროვე კლემტრონული ბალასტის როგორც ძალური გასაღები, ისე მათი მართვის სისტემა ინტეგრებულია მიკროსქემის ერთ კორპუსში. ასეთი ბალასტი იმდენად მინიატურულია, რომ იგი თავისუფლად თავსედება ხვიაჭრილიან ვაზნაში ჩასახრანი ნათურის ცოკოლში. ჩაშენებულბალასტიანი ლუმინესცენციური ნათურები ფართოდ გამოიყენება პრაქტიკაში. ასეთ ნათურებს გააჩნიათ გაზრდილი ხანგამდლება და მოიხსარებ შემცირებული კლემტრონერების.

ბოლო დროს შეიქმნა კლემტრონული ბალასტის მართვის მიკროსქემების მეორე თაობა, რომელთაც შექმდიათ სხვადასხვა სერვისული და დაცვითი ფუნქციების შესრულება. ასე, მაგალითად, ფირმა International Rectifier აწარმოებს მიკროსქემებს როგორც ინტეგრირებული ძალური გასაღებით (IR51Hxx), ისე ძალური გასაღებების გარეშე (IR215x). ფირმა SGS-Thomson აწარმოებს L6569, L6571, L6574 ტიპის მიკროსქემებს და სხვ.

განვიხილოთ კლემტრონული ბალასტის სქემა, რომელშიც გამოიყენება IR2151 მიკროსქემა



სურ. 3.60 კლემტრონული ბალასტის პრინციპული სქემა IR2151 მიკროსქემის ბაზაზე

სქემა აგებულია ნახევრად ბოგური პრინციპის მიხედვით. ბალასტი გათვალისწინება 220 ვ, 50 ჰს ცვლადი დწნის ქსელიდან 40 ვტ სიმძლავრის ნათურის კვებისათვის.

ქსელის ძაბვა გაიმართება VD1-VD4 დორდური ბოგათი და გაგლუვდება C6 და C7 კონდენსატორით. მიკროსქემის შიგა გენერატორი წარმოადგენს 555 სერიის ტაიმერის გენერატორის წუსტ ასლი.

მიკროსქემის გენერატორის სიხშირე განისაზღვრება R3 და C2 კლემებზების პარამეტრებით

$$f_s = \frac{1}{1.4(R3 + R_3)C2}, \quad (3.61)$$

სადაც $R_3 = 75$ ომ.

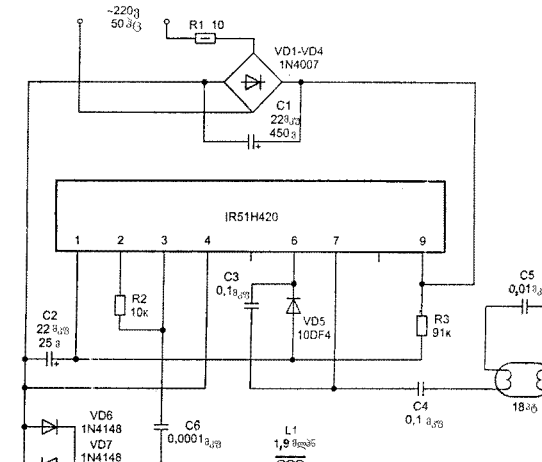
ბალასტის სქემის რეზონანსული სიხშირე

$$f_s = \frac{1}{2\pi\sqrt{L1C4}}. \quad (3.62)$$

დამაქმაყოფილებელი რეზონანსის უზრუნველსაყოფად მიზანშეწონილია შემდეგი პირობის დაცვა $f_s \approx f_s$. კლემბნების იმ ნომინალებისათვის, რომელიც სქემაშია მითითებული, ეს სიხშირე დაახლოებით 40 ჰც-ის ტოლია.

R2-C1 წრედი ანხორციელებს მიკროსქემის კვებას, ხოლო VD5-C3 წრედი განკუთვნილია ზედა დონის ტანხისებორული გასაღების მართვისათვის.

3.61 სურათზე ნახევრებია კლემტრონული ბალასტის კიდვე ერთი სქემა, რომელშიც გამოყენებულია პიპრიდული მიკროსქემა IR51H420, რომელშიც ჩაშენებულია ტრანზისტორული გასაღებები.



სურ. 3.61 მინიატურული კლემტრონული ბალასტი IR51H420 მიკროსქემის ბაზაზე

მიკროსქემას დამატებული აქს შემხვედრაპარალელურად ჩართული VD6-VD7 დიორგები მიმღვრობითი რეზონანსის აღმცირის მომენტში ნულოვანი დენის მისაღებად. ამ ღონისძიების გატარება აუცილებელია მიკროსქემის გენერატორისა და რეზონანსული წრების სინკრონული მუშაობისთვის, რაც საჭიროა ნათურის ასანოებად 110 გ ცვლადი ძაბვით კვების შემთხვევაში. 220 გ ძაბვით კვების დროს VD6-VD7 დიორგების ჩართვა აღარა აუცილებელი. სქემაში გამოყენებული სხვა დამატებით კლემენტების ნომინალები გაანგარიშებულია 18 გატიანი ნათურისათვის.

5. პერსონალური კომპიუტერების პლატები

5.1. სისტემური მოდულის კვების წყაროები. ზოგადი ცნობები

კვების ბლოკი წარმოადგენს პერსონალური კომპიუტერის სისტემური მოდულის უმნიშვნელოვანეს ნაწილს, რომლის ძირითადი დანიშნულებაა სისტემური მოდულის ფანჯების (პროცესორი, მემსიერება, ვიზუალური, დისკის შემტანი) მკენავი ძაბვებით მომარაგება. კვების ბლოკის ფუნქციონირების თვისებრიობა განაპირობებს კომპიუტერის გამართული მუშაობის ხარისხს. განსაკუთრებულ მნიშვნელობას პერსონალური კომპიუტერების მაღალი საიმურიბის სტაბილური ძაბვის კვების ბლოკებით აღჭურვა იძნეს ჩვენი კლემბრული ქსელის პირობებში, სადაც დაცული არ არის ელექტრონული ნორმებიც კი მომხმარებლების ელექტროუსაფრთხოების თვალსაზრისით.

კვების ბლოკი წარმოადგენს კომპიუტერის საკუთხოს, ე.ო. ჩაშენებულია მის კორპუსში. ამიტომ პერსონალური კომპიუტერების მსგავსად, კვების ბლოკები შეიძლება დაიყოს შემდეგ ტიპებად:

- PC/XT (eXTended);
- PC/AT (Advanced Technology);
- PC/ATX (AT extensions).

კომპიუტერების კვების ბლოკი განთავსებულია ლითონის კორპუსში, მის ფუძეზე მიმაგრებულია მმართველი პლატა, უკანა კედელზე ჩაყენებულია ვენტილატორი, ზემოდან ბლოკს გაეკთებული აქს სახურავი. გამოსასვლელი საკონტაქტო გასართვები გაერთიანებულია ჩაღიანაში, რომელიც სპეციალური მომზერით ხისტადაა მიმაგრებული კორპუსზე. არსებობს კვების ბლოკების შესრულების შემდგენი სტანდარტები:

- PC/TX;
- AT/Desktop;
- AT/Tower;
- Baby AT;
- Slimline;
- ATX.

| კვების ბლოკის ტიპი | ზომა, მმ |
|-----------------------|-------------|
| PC/XT | 120X142X222 |
| Baby AT | 150X150X165 |
| AT/Desktop | 150X150X213 |
| Slimline | 86X140X150 |
| AT/Tower | 150X150X213 |
| ATX | 86X140X150 |

კვების ბლოკს ქსელის ძაბვა მიეწოდება კორპუსის უკანა კედელზე დამაგრებული ამომრთველით. AT/Tower სისტემის ამომრთველი დაყენებულია წინა პანელზე და კვების ბლოკთან მიერთებულია ოთხძარღვიანი კაბელით. კორპუსიდან გამოდის გასართიანი ჩაღიანა სისტემურ პლატასა და საგროვებელ დისკთან მისაერთებლდ. სისტემური პლატის კვება ხორციელდება ორი ერთგაროვანი ექსეპტორიანი P8, P9 გასართებით. გასართის

კონტაქტების დანიშნულება მოცემულია 5.2 ცხრილში. საგროვებელი დისკის კვებისათვის განკუთხილი გასართის გამომყვანების დანიშნულება ნაჩვენებია 5.3. ცხრილში.

5.2. ცხრილი

| გასართი P8, გამომყვანი | ფერი | დანიშნულება | გასართი P9, გამომყვანი | ფერი | დანიშნულება |
|---------------------------|--------------|-------------|---------------------------|--------|-------------|
| 1 | შავი | კორპუსი | 1 | წითელი | +5ვ |
| 2 | შავი | კორპუსი | 2 | წითელი | +5ვ |
| 3 | მწვანე | -12ვ | 3 | წითელი | +5ვ |
| 4 | ყვითელი | +12ვ | 4 | თეთრი | -5ვ |
| 5 | წითელი | +5ვ | 5 | შავი | კორპუსი |
| 6 | ნარინჯისფერი | P.G | 6 | შავი | კორპუსი |

5.3. ცხრილი

| გამომყვანი | ფერი | დანიშნულება |
|------------|---------|-------------|
| 1 | ყვითელი | +12ვ |
| 2 | შავი | კორპუსი |
| 3 | შავი | კორპუსი |
| 4 | წითელი | +5ვ |

ATX (AT extension) ფორმატის სისტემურ ბლოკსა და კორპუსის კონსტრუქციაში შეტანილია გარკეშული ცვლილებები. რამაც გაფლენა მოხდინა კვების ბლოკზე. პირველ რიგში ეს ცვლილება შეეხო სისტემური ბლოკის გასართის. გასართის კონსტრუქცია გამორიცხავს მის არასწორ ჩართვას სისტემური პლატის საკონტაქტო ბუდეში.

კვების ბლოკის სრულ გამორთვას ანთრიცველებს კორპუსის უკანა კედებზე განთავსებული ამომრთველი. დამხმარე გენერატორისა და დისტანციური მართვის ბრძანებით შესაძლებელია კომპიუტერის გამორთველ რეჟიმში გადაყვანა, რომლის დროსაც სისტემური პლატა გადადის მცირე სიმძლავრის რეჟიმში (გაიცემა მხოლოდ +5ვ-SB ძაბვა). ტრანზისტორების სიდიდის ძაბვების გარდა (ცხრილი 5.2), ამ ფორმატის კვების წყაროს დამატებული აქსეული დანიშნულება 5.2 ცხრილში მოცემულია TX ფორმატის სისტემური პლატის გასართის გამომყვანების დანიშნულება.

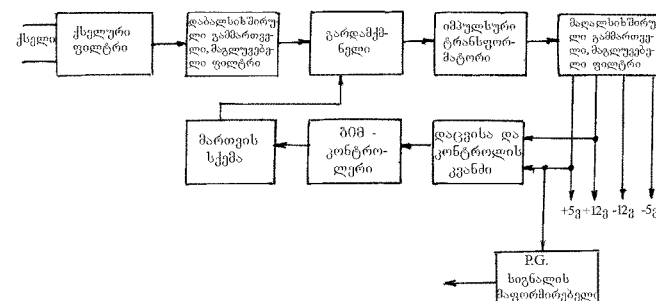
5.4. ცხრილი

| კონტაქტის ნომერი | სიგნალი, ვ | ფერი | კონტაქტის ნომერი | სიგნალი, ვ | ფერი |
|---------------------|--------------------------|--------------|---------------------|------------|---------|
| 1 | +3,3 | ყვითელი | 11 | +3,3 | ყვითელი |
| 2 | +3,3 | ყვითელი | 12 | -12 | ცისფერი |
| 3 | საერთო | შავი | 13 | საერთო | შავი |
| 4 | +5 | წითელი | 14 | PS-ON | რუსი |
| 5 | საერთო | შავი | 15 | საერთო | შავი |
| 6 | +5 | წითელი | 16 | საერთო | შავი |
| 7 | საერთო | შავი | 17 | საერთო | შავი |
| 8 | კვების ნორმაში (P.G.) | ნარინჯისფერი | 18 | -5 | თეთრი |
| 9 | +5-SB | იისფერი | 19 | +5 | წითელი |
| 10 | +12 | ყვითელი | 20 | +5 | წითელი |

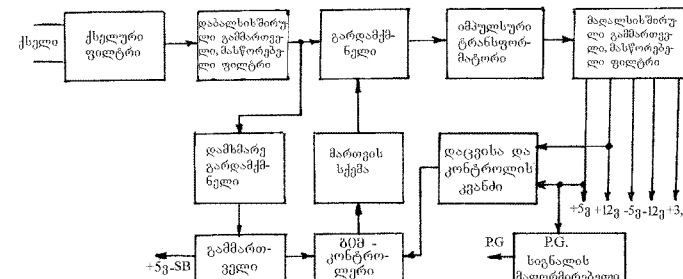
შენიშვნა: 1. აქტიური მდგომარეობის დროს PS-ON სიგნალს აქსეული დოკუმენტის შესაბამისი დონე არ იყოს დანიშნულება +3,3 ვ, +5ვ, -5ვ, +12ვ და მინუს 12ვ გამოსაგადი ძაბვების ჩართვა; 2. +5-SB სიგნალი წარმოადგენს მორიგე რეეიმის ძაბვას. იგი ემსახურება კვების წყაროს პროგრამული მართვის წრედს, უნარჩუნებს მას მუშაობის უნარს, როდესაც ძირითადი ძაბვები გამორთულია; 3. P.G (PW-OK) სიგნალი („კვების ნორმაში“): თუ ეს სიგნალი დოგიური ერთის შესაბამისი დონისაა ეს იმას ნიშავრს, რომ მოხდა +5-SB და 3,3 ვ ძაბვების ნორმალური ფორმირება. მაგრამ თუ ეს ძაბვები აღმოჩნდა გარკვეულ ქვედა ზღურბლურ მნიშვნელობაზე ნაკლები, მაშინ P.G სიგნალს ექნება ლოგიკური ნულის შესაბამისი დონე.

5.2. კომპიუტერის სისტემური მოდულის კვების წყაროს ფუნქციური კვანძები

სისტემური მოდულის კვების წყაროების ფუნქციონირებისა და სტრუქტურაში გარკვევის მიზნით განვიხილოთ 5.1 და 5.2 სურათებზე წარმოდგენილი AT, ATX ფორმატის კვების წყაროების სტრუქტურული სქემა.



სურ 5.1. AT ფორმატის კვების წყაროს სტრუქტურული სქემა



სურ 5.2. ATX ფორმატის კვების წყაროს სტრუქტურული სქემა

AT ფორმატის კვების წყაროში განმრთველის (დაბაგრულია სისტემური მოდულის გორუებები) საშუალებით ქსელის ძაბვა მიეწოდება ფილტრს (ქსელური ფილტრი) და დაბალი სიხშირის გამართველის. 300 ვ-მდე გამართული ძაბვა ნახევრად ბოგური გარდამქნელით გარდაიქმნება მაღალი სიხშირის იმპულსურ ძაბვად. დატვირთვისა და პირველადი ქსელის გადავარურ გართვას ახდენს იმპულსური ტრანსფორმატორი. ამ ტრანსფორმატორის მეორეული გრანილები მიერთებულია ± 5 ვ და ± 12 ვ მაღალსიხშირულ გამართველის და შესაბამის მაგლუცებელ ფილტრებით.

სიგანალი Power Good („კვება ნორმაში“) $+5$ ვ ძაბვის წარმოქმნიდან 0,1...0,5 წმ-ის შემდეგ ზემოქმედებს სისტემურ მოდულზე და ახდენს პროცესორის საწყის რეჟიმში ჩაუქცებას. ძალურ წრედში ავარიული რეჟიმის აღმარის შემთხვევაში P.G სიგნალი შეწყდება.

ავარიული რეჟიმების დროს ძალურ წრედს დაზიანებისგან იცავს დაცვისა და ბლოკირების კვანძი. ნორმალური მუშაობის რეჟიმში იგივე კვანძი ზემოქმედებს 80მ-კონტროლერზე, ე.ი. მონაწილეობს მაღალსიხშირული გარდამქნელის მართვის პროცესში.

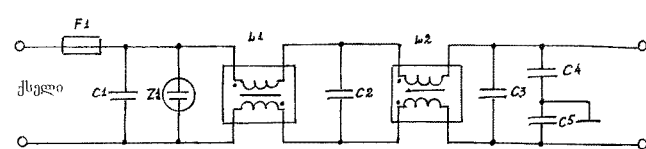
მაღალსიხშირული გარდამქნელის გასაღებების ლია მდგომარეობის ხანგრძლივობა განაპირობებს გამოსავალი ძაბვების სიდიდეს. გამოსასვლელებზე მიღებული ძაბვების სტაბილიზაციის მიზნით გარდამქნელის მართვის სისტემა ჩართულია უკუკავშირის წრედში. გაუთანხმების სიგნალად გამოყენება $+5$ წყაროს გამოსაგალი ძაბვის ნორმალური მიშვნელიბიდან გადახრა.

ATX ფორმატის კვების წყაროს სტრუქტურულ სქემაში შეტანილია შემდეგი ცვლილებები:

- გამოყენებულია დამხმარე გარდამქნელი;
- ჩამატებულია მირიგე რეჟიმის წყაროს გამართველი $+5$ SB;
- შექმნილია $+3$ ვ ძაბვის დამატებითი წყარო;
- რეალიზებულია კვების ბლოკის დისტანციური ჩართვა PS-ON სიგნალის საშალებით.

განვიხილოთ სტრუქტურულ სქემებში შემავალი ცალკეული კბანძები.

სტრუქტური ზოლტრი. კომპიუტერის კვების ბლოკი წარმოადგენს დაბრკოლებების სერიოზულ წყაროს საყოფაცხოვრებო ტელედა რადიოაპარატურისათვის. ლეპტოპულ ქსელში დამაპროლებელი იმპულსების გაღწევის თავიდან ასაცილებლად კვების წყაროს შესასვლებზე, როგორც წესი, ჩაირთვება გადამღობი ფილტრი. გადამღობი ფილტრის ტიპური სქემა მოცემულია 5.3 სურათზე.

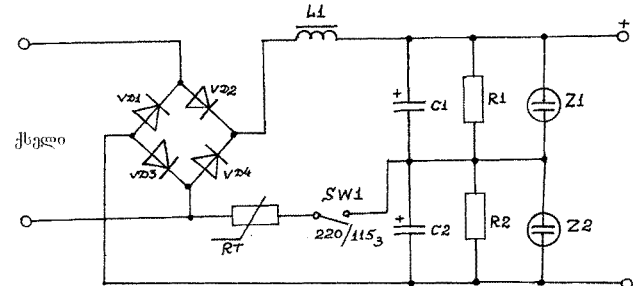


სურ. 53. გადამღობი ფილტრის სქემა

ფილტრის შემდგენლობაში ჩართული გლემენტების დანიშნულებაა დაბრკოლებების სინფაზური და დიფერენციალური შემდგენების ჩასრობა. ფილტრის შესაცდებები ჩართულია C1 კონდენსატორი, ხოლო შემდეგ ქსელის ძაბვა სისტემური მოდულის კვების ბლოკს გადაეცემა ინდუქტორ-ტევადობითი ფილტრის გაცვლით. C2 კონდენსატორი და L1 დროსები ახშობს დაბრკოლებების დიფერენციალურ შემდგენს, ხოლო L2 დროსები და C3...C5 კონდენსატორები - როგორც დიფერენციალურ, ისე სინფაზურ შემდგენებს.

დენური გადატვირთვებისაგან დაცვა ხორციელდება F1 დრობადი მცველით, ხოლო კვების ბლოკის გადამეტაბელისგან (ქსელის მხრიდან) დაცვას უზრუნველყოფს Z1 გარისტორი. როდესაც ქსელის ძაბვა კრიტიკულ დონეს გადაჭარბებს, გარისტორის წინაღობა მცველობად შემცირდება და გაზრდილი დენი აამოქმდებს დრობად მცველს.

დაბალი სიხშირის გამართველი. კვების ბლოკის მაღალსიხშირული გარდამქნელი გნერგიას დებულობს დაბალი სიხშირის გამართველიდან (სურ. 5.4)



სურ. 54. დაბალი სიხშირის გამართველი

VD1...VD4 დიოდებზე აგებული ბოგური სქემა უზრუნველყოფს შესაბამისი ხარისხის მუდმივი ძაბვების მიღებას, რომელიც შემდგებ გაგლუვდება L1 დროსებითა და C1, C2 კონდენსატორებისგან შედგენილი ფილტრით. R1, R2 რეზისტორები ქმნიან ამ კონდენსატორების განმუხტვის წრედს ბლოკის ქსელიდან გამორთვის შემდეგ.

გამართველს შეუძლია იმუშაოს როგორც 220 ვ, ისე 115 ვ ვერცხლი ძაბვებზე. სქემაში გამოყენებულია კვების ძაბვის ამორჩევის გადამრთველი (SW1). როდესაც SW1 ჩართულია, მაშინ გამართველს მიეწოდება 115ვ-ის ტოლი შესავალი ძაბვა. ამ შემთხვევაში გამართველი მუშაობს ძაბვის გაორმატების რეჟიმში, რადგან ცვლადი შესავალი ძაბვის დადგებითი და უარყოფითი ნახევარპერიოდების დროს იმუშატება როგორც C1, ისე C2 კონდენსატორი. ამიტომ გამოსასვლელზე აღმოჩნდება C1 და C2 დამუხტული კონდენსატორების ჯამური ძაბვა. როდესაც SW1 გამორთულია, მაშინ გამართველი იმუშავებს 220ვ-ის ტოლი შესავალი ძაბვით.

გამართველში, კონდენსატორის დამუხტების წრედის მიმღებრობით, ჩართულია უარყოფითი ტემპერატურული კოეფიციენტის მქონე წინაღობაზე ოერმისტორი (NTCR),

რომელიც ახდენს დამუხტვის საწყისი დენის შეზღუდვას (თერმისტორს „ცივ“ მდგომარეობაში აქვს გაზრდილი წინაღობა, ხოლო დენის გატარების შემდეგ მისი წინაღობა 20...50-ჯერ მცირდება). გამმართველის სქემაში გამოყენებულია აგრეთვე Z1, Z2 გარისტორები, რომლებიც ქსელის ძაბვის შეზღუდვაზე გაზრდის დროს კვების ბლოკს იცავენ გადამეტაბეჭისგან.

008-კონტროლერი. სისტემური მოდულის კვების წყაროების მაღალისიტურული იმპულსური გარდამქნელი აგებულია ნახევრად ბოგური თრტაქტიანი სქემის შესაბამისად. გარდამქნელის ძალური გასაღებების მართვის ელექტროდებს სიგნალები შეიძლება მიეწოდოს შემათანხმებელი ტრანზორმატორით, რომლის როლს ზოგიერთ კვების ბლოკში ასრულებს ტრანსფორმატორა დამოუკიდებული წყვილი.

008-კონტროლერი. ნახევრად ბოგური სქემის ტრანზისტორული გასაღებების მართვის ელექტროდებს მიეწოდება სანგრძლივობის მიხედვით მოდულირებული იმპულსთა თანამიმდევრობა. ასეთ სიგნალს გამოიმუშავებს მიზ-კონტროლერი TL494 მიკროსქემის ბაზაზე.

დამხმარე გარდამქნელი. დამხმარე გარდამქნელი გამოიყენება ATX ფორმატის კვების ბლოკებში. ეს გარდამქნელი გამოიმუშავებს +5V SB ძაბვას, როდენსაც სისტემური მოდული გამორთულ მდგომარეობაშია. გარდამქნელის მიზანია ელემენტებს წარმოადგენს აგტორსევით რეგისტრი მომუშავე ბლოკიზ-გვერდატორი, რომელიც რჩება მუშა მდგომარეობაში მოყლი იმ დროის მანილზე, როდენსაც ქსელის ამომრთველი ჩართულ მდგომარეობაშია.

POWER GOOD სიგნალის მაცორმირებელი. კომპიუტრის გამომთვლელი სისტემის კორექტული გაშევისათვეს საჭიროა სისტემურ პლატაზე კვების მიწოდების დაყოვნება იმ დროის ინტერვალში, რომელიც საჭიროა ჩართვის დროს კვების ბლოკში აღმდეგი გარდამავალი პროცესებისა და კვების ბლოკის გამოსასვლელებზე ძაბვების ნომინალური შემცნელების დასამყარებლად. ამ მიზნით კვების ბლოკი გამოიმუშავებს სპეციალურ სიგნალს Power-Good („ძველი ნორმაში“), 0,1...0,5 წ-ით შეყვინებული Power-Good სიგნალი წარმოადგენს ლოგიკური ერთის შესაბამის დონეს (დაახლოებით +5V), რომელიც მიეწოდება სისტემურ პლატას.

არა ნაკლები მნიშვნელობის ფუნქცია აკისრია ამ სიგნალის მაფორმირებელს გამოსავალი ძაბვების კონტროლის თავდასაზისითაც.

Power-Good სიგნალის მაფორმირებელი შესაძლოა აიგოს როგორც დისკრეტულ, ისე ინტეგრალურ ელემენტებზე. მეორე შემთხვევაში სიგნალის მაფორმირებლად ფართოდ გამოიყენება NATIONAL SEMICONDUCTOR CORP და SAMSUNG ELECTRONICS ფირმების ინტეგრალური კომპარატორები: LM339, KA339 (ოთხი კომპარატორი ერთ კორპუსში); LM393, KA393 (ორი კომპარატორი ერთ კორპუსში) ან სპეციალიზებული მიკროსქემა M5195A.

დაცვისა და კონტროლის ურთის. კვების წყაროების დაცვა აუცილებელია შუშაობის კრიტიკული რეკიმების დროს, აგრეთვე იმ შემთხვევაში, როდენსაც უკუკავშირის ხემოქმედებამ შესაძლებელია გამოიწვიოს სქემის დირექტული ელემენტების დაზიანება.

დაცვის წრედების ამიერებების შედეგად მიზ-კონტროლერს მოეხსენება მართვის იმპულსები, გარდამქნელის ტრანზისტორული გასაღებები გამოირთვება და კვების ბლოკის გამოსასვლელებზე ძაბვები არ იქნება.

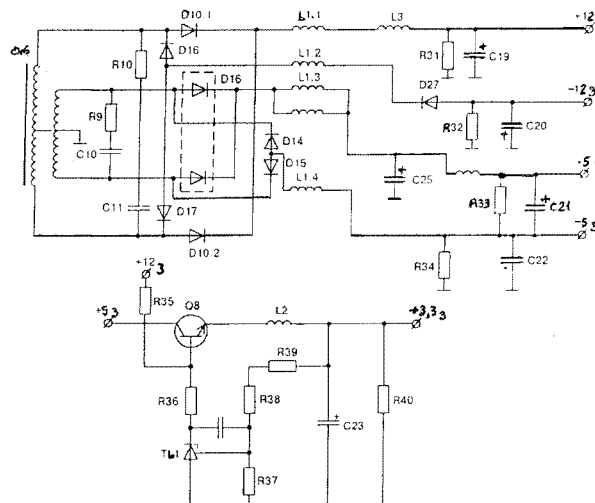
გამოიყენება დაცვის შედეგი წრედები:

- დაბფირთვის მოკლედ ჩართვისაგან დაცვა;
- ნახევრად ბოგური გარდამქნელის ძალური ტრანზისტორების ზედენებისაგან დაცვა;
- გადამეტაბეჭისაგან დაცვა.

მაღალისიტურული (გამოაგალი) გამმართველი. კვების წყაროს გამომავალი გამმართველები ერთმანეთისაგან უნდა განვისევოთ გამოსავალი არსის ძაბვის მნიშვნელობის მიხედვით. გამოსავალი ძაბვის მნიშვნელობებია: ±12V და ±5V.

გამმართველში გამოიყენება ელემენტური ბაზა, რომელსაც შეუძლია ნორმალური ფუნქციონირება მაღალი სიხშირის წრედში და მაღალ ტრეპრატურაზე ასეთი ელემენტებია, მაგალითად შეოცის სწრაფულები დონეები და მცირედანაკარგიანი კონდენსატორები.

მაგალითის სახით 5.5 სურათზე მოცემულია ATX ფორმატის კვების წყაროს მაღალისიტურული გამმართველის სქემა.



სურ. 5.5. PM-230 w კვების წყაროს მაღალისიტურული გამმართველი

გამართველის თოთოული არხი აგებულია ორნახევარპერიოდიანი სქემის მიხედვით. გამოსავალი ძაბვების ფილტრაციას ანხორციელებს C19, C20, C21, C22 და C25 კონდენსატორები. ტრანსფორმატორის გრაგნილების არალელურად ჩართული მიმღვრობითი წრედები: R9, C10 და R10, C11, საშუალებას იძლევა შეიხლულოს კვების წყაროში აღმრული დაბრკოლებები. დატვირთვის გამორთვის დროს გამოსასვლელებზე ძაბვების კატასტროფული ამაღლებისგან დაცვის მიზნით ჩართულია R31, R32, R33, R34 რეზისტორები.

ATX ფორმატის კვების წყაროში +3,3 მაბვის მისაღებად გამოყენებულია კომპენსაციური სტაბილიზატორის მარტივი სქემა (სურ. 5.5)

5.3. მონიტორების კვების წყაროები

5.3.1. მონიტორების ფუნქციონირების ზოგადი საკითხები

მონიტორების კვების წყაროების ქონსტრუირების დროს გამოყენებულია საერთაშორისო ორგანიზაციების მიერ დაწესებული სტანდარტები. მათგან ძირითადია:

• DPMS (Display Power Management Signaling) - სტანდარტი, რომელიც შემუშავებულია VESA-ს (Video Electronics Standards Association) მიერ. სტანდარტი ითვალისწინებს მონიტორის სანგამძლეობის გაზრდას არამუშა მდგომარეობის დროს მომხმარებული სიმბლავრის შემცირების გზით. ამ მიზნით, მონიტორის მუშაობის მართვისათვის გამოყენებულია მისი ვიდეოგრაფიული ადაპტერის სტრიქინული და კადრული სინქრონიზაციები. სინქრონიზაციებით შესაძლებელია მონიტორის ჩაჟენება 4 სხვადასხვა რეჟიმში: ძირითად, ანუ მუშა რეჟიმში (NORMAL), მხადვოვნის რეჟიმში (STANBY), დოდინის რეჟიმში (SUSPEND) და გამორთულ მდგომარეობაში (OFF). კომპიუტერით სარგებლობის გრაფიკის მიხედვით, მონიტორი გადაირთვება ზემოჩამოთვლილიდან ერთ-ერთ რეჟიმში. ეს რეჟიმი ერთმანეთისაგან განსხვავდება კვების წყაროდან მოთხოვნილი სიმბლავრისა და მონიტორის მუშა მდგომარეობის აღდაგნისათვის საჭირო დროის ხანგრძლივობის მიხედვით (იხ. ცხრილი 5.5).

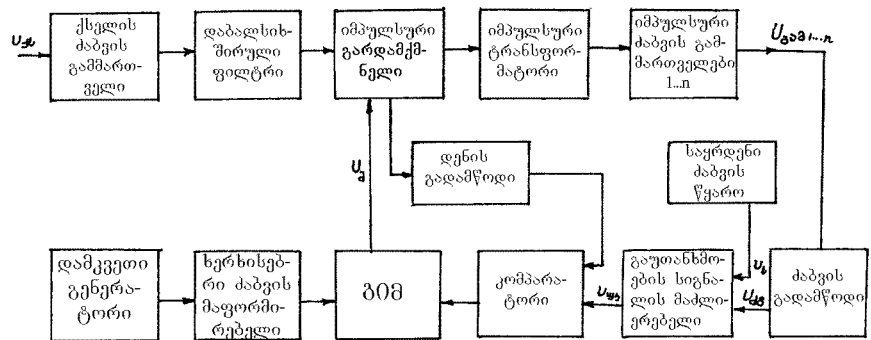
5.5 ცხრილი

| რეჟიმი | სიმბლავრე ვწ | ადგენის დრო წმ | ქნერგიის მომხმარებლები |
|------------------------|-----------------|-------------------|---|
| მუშა (NORMAL) | <100 | 0 | ყველაფერი ჩართულია და სწორული ფილტრ მუშაობს |
| მხადვოვნის (STANBY) | <100 | 0 | ჩართულია დისპლეი, ჩართულია კვების წყარო (კერანის შენარჩუნების რეჟიმი) |
| დოდინი (SUSPEND) | <0,7 | 2 | დისპლეი გამორთულია, კვების წყარო გამორთულია |
| გამორთული (OFF) | <2,5 | 20 | ჩართულია მონიტორის დამხმარე წრედები |

• NUTEK (The National Board for Industrial and Technikal Development in Swiden) - სამრეწველო და ტექნიკური განვითარების შეკვეთის საბჭო მოითხოვს მონიტორების ელექტრომომარაგების სამსაფეხურის პროცედურის ზუსტ დაცვას. NUTEK-ის მოთხოვნების მიხედვით არამეტება მდგომარეობაში მყოფი მონიტორის მოხმარებული სიმბლავრე არ უნდა აღემატებოდეს 8ვტ-ს, STANDBY რეჟიმში - 30 ვტ-ს, POWER OFF რეჟიმში - 15 ვტ-ს

5.2. მონიტორების კვების წყაროების სქემოტექნიკური თავისებურებები

მონიტორებისათვის ძირითადად გამოიყენება იმპულსური კვების წყაროები, რომელთა გამოსავალი ძაბვები მიიღება დაბალი სიხშირის ქსელის ძაბვის გამართვის, გამართული ძაბვის მაღალი სიხშირის იმპულსურ ძაბვად გარდაქმნის, ტრანსფორმაციისა და მაღალი სიხშირის იმპულსური ძაბვის გამორთვა-გაგლუვების შედეგად. მონიტორის კვების ბლოკში მაღალსიხშირული გარდაქმნების ფუნქციის შესასრულებლად გამოიყენება აგტორსევფი რეჟიმში მოზრულებები ბლოკინგ-გენერატორი ან უკუსვლიანი ერთტაქტიანი გარდამქნელი, რომლის მართვას ანხორციელებს გარეშე მცირე სიმძლავრიანი გენერატორი. ბლოკინგ-გენერატორიან გარდამქნელში გამოყენებულია ძაბვის სიხშირე-იმპულსური რეგულირება, ხოლო გარეშე გენერატორიან გარდამქნელში - ძაბვის განედურ-იმპულსური რეგულირება. მონიტორების კვების წყაროს ტიპური სტრუქტურული სქემა წარმოდგენილია 5.6 სურათზე



სურ. 5.6 მონიტორების კვების ბლოკის ტიპური სტრუქტურული სქემა

სტრუქტურულ სქემაში, ძალური ნაწილის გარდა (ქსელის ძაბვის გამართველი, დაბალი სიხშირის ფილტრი, იმპულსური გარდამქნელი, იმპულსური ტრანსფორმატორი და მაღალსიხშირული გამართველი), შედის განედურ-იმპულსური მოდულაციის პრინციპით მომუშავე იმპულსური მოწყობილობისთვის აუცილებელი კვანძები: დამკვეთი გენერატორი (დგ), ხერხისებრი ძაბვის მაფორმირებელი (ხმ), განედურ-იმპულსური მოდულატორი (გიმ),

გაუთანხმოების სიგნალის მაძლირებელი (გსმ), კომპარატორი (K), საყრდენი ძაბვის წყარო (სძვ), ძაბვის გადაწმოდი (ძმ) და დენის გადაწმოდი (დგ).

კონსტრუქციულად მონიტორების კვების წყარო ორი დამოუკიდებელი წყაროსაგან შედგება:

• მირითადი წყარო - ფუნქციონირებს და უზრუნველყოფს მონიტორის მუშაობას სრულყოფილად ჩართულ მდგომარეობაში (NORMAL, STANDBY რეჟიმებში);

• დამხმარე წყარო (მცირე სიმძლავრის) - კვებაც მონიტორს, როდესაც ის გადადის SUSPEND და POWER OFF რეჟიმებში.

მონიტორის კვების წყაროების სქემოტკნიკაში უპირატესი გაფრცელება პპოვა განედურ -იმპულსური რეგულირების პრინციპზე მომუშავე გარდამქნელება. კველაზე ხშირად გირ - რეგულატორების საბაზისო კლემენტად გამოყენებულია UC3842/43 სერიის მიკროსქემები და მათი ანალოგები KA3842, DBL3842 და SG3842. აღნიშნული მიკროსქემების გარდა, Panasonic-ის მონიტორების კვების წყაროებში გამოიყენება ანალოგიური დანიშნულების M62281FP მიკროსქემა. ბოლო პერიოდის SAMSUNG-ის მონიტორების კვების წყაროში გამოიყენება ორტაქტიანი კვაზიორგონანსული გარდამქნელი, რომელიც იკვებება სიმძლავრის კოეფიციენტის კორექტორიანი გამართველიდან. გარდამქნელში გამოიყებულია MC34067 და MC34262 მიკროსქემები. ეს მიკროსქემები აღრე გვინდა განხილული.

კომპიუტერის სისტემური მოდულის კვების წყაროებისგან განსხვავებით, მონიტორის კვების წყაროს გარდამქნელში ძალურ გასაღებად ფართოდა გამოყენებული მძლავრი კვლიოთ მართვადი ტრანზისტორები (MOSFET).

მონიტორების კვების წყაროებში განსაკუთრებული ჭრადღება ექცევა გარდამავალი პროცესების დროს წარმოქმნილი გადამეტაბებების ჩატობას. ამ მიზნით ფართო გამოყენება პპოვა ძალური გასაღებების კლემპროდების პარალელურად TRANSIL დოოდების ჩართვის მეთოდმა.

6. უზრუნველყოფის კვების სამართლები

ცვლადი დენის ქსელი, როგორც წესი, კერ უზრუნველყოფს მომხმარებლების კვების მაღალი ხარისხის უწყვეტი კლემპროგერგით. კლემპროგერგის ხარისხსა და მის უწყვეტობას კი განსაკუთრებული მნიშვნელობა კნიჭება ქვირად დირექტული მაღალტეჭნილოვაზე რადიო-ელექტრონული მოწყობილობების უსაფრთხო მუშაობისათვის. ამიტომ ამ სახის მომხმარებლივისათვის გამოიყენება სპეციალური უწყვეტი კვების წყაროები (UPS-Uninterruptible Power Supply).

ამჟამად ამ კლასის მოწყობილობებზე შენარჩუნებულია საკმაოდ მაღალი სამოშმარებლო ფასები: რამდენიმე ათეული ცენტიდან რამდენიმე დოლარამდე ყოველ ერთ ვარ გამოსავალ სიმძლავრეზე. მიუხედავად ამისა, კლემპროგერგის მაღალი ხარისხი და ძირიად დირექტული აპარატების დაუზიანებელი მუშაობა განუზომლად შეტი დირექტულების შემცველია, ვიდრე UPS-ის შეძენაზე გაღმბული დანახარჯი.

6.1. უწყვეტი კვების წყაროების კლასიფიკაცია და მუშაობის პრინციპი

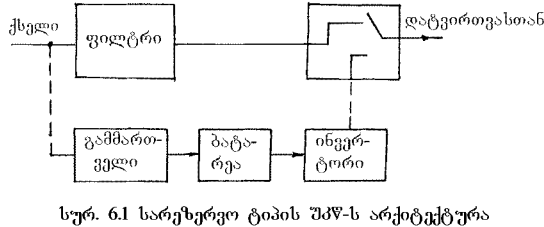
IEC6014-4 მოქმედი სტანდარტის მიხედვით უწყვეტი კვების წყაროების კლასიფიკაციას ახდენებ სამ ჯგუფად:

- Of-Line/stand -By/back - uf UPS;
- Line -Interactive;
- On-Line

6.1.1. Of-Line ტიპის უწყვეტი კვების წყაროები (უპ)

სტანდარტის მიხედვით ამ სახის უძრავი განისაზღვრება როგორც პასური, სარეზერვო მოქმედების (UPS-PSO). მისი მოქმედების ზოგადი პრინციპი მდგომარეობს შემდეგში. როდესაც პრეველადი ქსელის ძაბვა და სისმირე ნორმის ფარგლებშია, დატვირთვას მიეწოდება პირველადი ქსელის გაფილტრული ძაბვა. თუ პირველადი ქსელის პარამეტრები გამოდის დასაშვები ფარგლებიდან, ჩაირთვება შპრ-ს ინვერტორი (პირველადი ქსელი გამოირთვება), რომელიც გააგრძელებს დატვირთვის უწყვეტ კვებას. ინვერტორი ენერგიის დატვირთვის აპულატორის ბატარეიდან. ამ პრინციპით მუშაობს შემდგენ ფირმების უპ-

- APC - სერია Back;
- Best Power - სერია Patriot;
- MGE - სერია Ellipse.



სურ. 6.1 სარეზერვო ტიპის უპ-ს არქიტექტურა

Off-Line არქიტექტურის უპ-ში წარმოადგენს ყველაზე მარტივ და იაფად ღირებულ მოწყობილობას. იგი შედგება ორი პარალელური შტოსაგან (სურ. 6.1):

- ფილტრი - დატვირთვა;
- გამმართველი - აკუმულატორის ბატარეა - ინვერტორი - დატვირთვა.

დატვირთვას ძაბვა მიეწოდება დაბრკოლებების შემთხვევი ფილტრის და კლეპტონული გადამრთველის გაცლით. ერთდროულად აკუმულატორის ბატარეა იმუსტება გამმართველიდან. დატვირთვაზე ძაბვის შეწყვეტის, მომატების ან შემცირების (დასაშვებზე მეტად) დროს ელექტრონული გადამრთველის საშუალებით დატვირთვა მიუურთდება ინვერტორს (სარეზერვო წყაროს).

დატვირთვის სარეზერვო კვების წყაროზე გადართვას ელექტრონული გადამრთველი უზრუნველყოფს 4...15 მლწ-მ-ის განმავლობაში. უნდა აღინიშნოს, რომ დროის ასეთ ინტერვალში ენერგიის შეწყვეტა კომპიუტერულ სისტემაზე შესამნევ უქმოქმდებას არ ახდენს, რადგან აღნიშული სისტემა აღვილად იტანს კვების შეწყვეტას 10...20 მლწ-მ-ის მანძილზე.

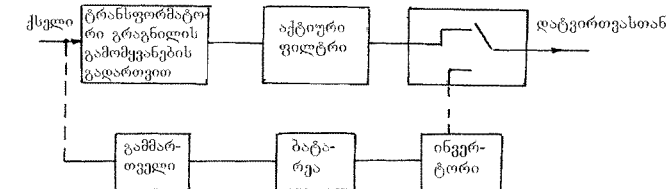
Off-Line ტიპის უპ-ებს უნარი შესწევთ პირველად ქსელში ძაბვის შეწყვეტის შემდეგ შეუნარებული პერსონალურ კომპიუტერს ნორმალური მუშაობის რეჟიმი 5...10 წთ-ის განმავლობაში.

6.12. Line-Interactive ტიპის უწყვეტი კვების წყაროები

ამ ტიპის უპ-ებში შერწყმულია Off-Line-ის მარტივი არქიტექტურა სარეზერვო წყაროს გაზრდილ საიმუღობასა და კვებტურიბასთან. Off-Line არქიტექტურისგან განსხვავებით, ამ სახის უპ-ს დატვირთვის კვების პირდაპირ წრედში (პირველადი ქსელი) ჩართულია ძაბვის საფეხუროვანი ავტომატური რეგულატორი, რომელიც მუშაობს აგტოტრანსფორმატორის პრინციპზე (ტრანსფორმატორი გრაგნილის სვეულების გადართვით). ზოგ მოდელში გამოყენებულია ქსელის ძაბვის სტაბილიზატორიც.

ასეთი არქიტექტურის უპ-ში ინვერტორი მიერთებულია დატვირთვასთან და მუშაობს ქსელის სტაბილიზებულ ძაბვასთან პარალელურ რეჟიმში. ინვერტორი, რომელსაც მიუერთდება დაბალი შესავალი ძაბვა, არეგულირებს აკუმულატორის ძაბვას და მისი

შემუხტების პროცესს (მუშაობს გამართვის რეჟიმში) სანამ პირველად ქსელის ძაბვის შეწყვეტის გამო არ მოხდება დატვირთვის სრული გადართვა ინვერტორიდან კვებაზე სარეზერვო კვების წყაროსა და პირველად ქსელს შორის ასეთი ურთიერთქმედება განაპირობებს უპ-ს სახელწოდებას - „Interaction“ (ურთიერთქმედება).

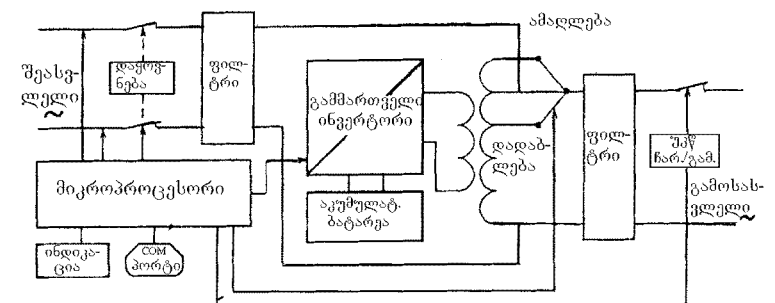


სურ. 6.2. Line-Interactive ტიპის უპ-ს არქიტექტურა

Line-Interactive ტიპის უპ-ში გამოყენებულია ეწ. ცეროტექნიკულობით დამზადებული ტრანსფორმატორი, რომელიც აგლუვებს ქსელის ძაბვის ამოვარდნებს (ნახტომბებს), ამიტომ დატვირთვა იშვიათად გადადის აკუმულატორის ბატარეადნ კვებაზე, რაც ხელს უწყობს აკუმულატორის ბატარეის ხანგამდებობის გაზრდას. დატვირთვის გადართვა აკუმულატორის ბატარეიდან კვებაზე ან პირიქით ხდება 2 მლწ-მ-ის განმავლობაში.

ტრანსფორმატორის მეორეულ გრაგნილ აქც რამდენიმე გამომყვანი. დატვირთვაზე მოქმედი ძაბვის პარამეტრების ნორმიდან გამოსვლის დროს მიკროპროცესორიდან (მიკროპროცესორიდან) გაცემული ბრძანების საფუძვლებზე მოხდება ტრანსფორმატორის გრაგნილის გამომყვანების გადართვა დატვირთვაზე ძაბვის საჭირო სიდიდის შესანარჩუნებლად. აკუმულატორის დამუხტებაზე მოწყობილობა (გამართველი) კონსტრუქციულადაა შერწყმული ინვერტორულ გარდამქნელთან.

განვიხილოთ IMV ფორმის Line-Interactive ტიპის უპ-ს მუშაობის პრინციპი 6.3 სურათზე წარმოდგენილი ბლოკ-სქემის მიხედვით.



სურ. 6.3. MATCH (IMV) სერიის Line-Interactive ტიპის უპ-ს ბლოკ-სქემა

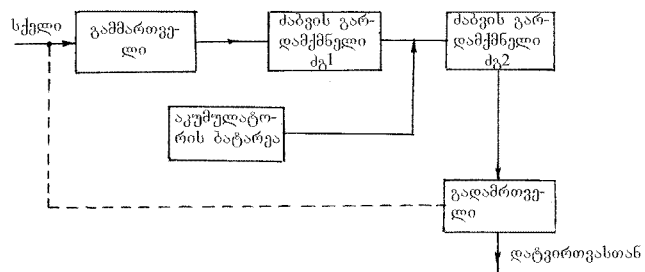
პირველადი ქსელის ძაბვა გადამღობი ფილტრის საშუალებით უერთდება ფერო-გერმნოლოგის მიხედვით დამზადებული ტრანსფორმატორის პირველადი გრაგნილის ერთ-ერთ გამომეცვანს. ამავე დროს, მიკროპროცესორი ანხორციელებს ქსელის ძაბვის კონტ-როლს. ქსელის ძაბვის დადგენილ ფარგლებში შენარჩუნება ხდება მიკროპროცესორის დახმარებით, რომელიც გასცემს ბრძანებას ძაბვის ამწვევი ან დამწვევი გრაგნილის ჩართვაზე. ტრანსფორმატორის მეორეული გრაგნილი მიერთებულია გამმართველთან, საიდანაც ხდება აკუმულატორის ბატარეის დამუხტვა.

პირველად ქსელში ძაბვის დიდ ფარგლებში ცვლილების დროს უპყ გამოირთვება პირველადი ქსელიდან, ხოლო გამმართველი გადადის ინგენიერების რეჟიმში, გარდამწნის რა აკუმულატორის მუდმივ ძაბვას დატვირთვისათვის საჭირო სტანდარტული სიდიდისა და სიხშირის ცვლად ძაბვად. უპყ-ს მუშაობის რეჟიმისა და აკუმულატორის ბატარეის მდგრამართის დისტანციურ კონტროლს ახდენს COM-პორტი, რომელიც უპყ-ს აკავშირებს კომპიუტერთან. უპყ-ს შესაცვლელზე და გამოისახვლელზე ჩართვები ფილტრები უზრუნველყოფებ სხვადასხვა წარმოშობის დაბრკოლებებისაგან დაცვას.

Line-Interactive ტიპის უპყ-ში განსაკუთრებულად ფართო გამოყენება პპოვა კომპიუტერული ქსელების დაცვის სისტემებში.

6.13. ON-Line უწყვეტი კვების წყაროები

ON-Line არქიტექტურის მიხედვით დამზადებული უპყ ითვლება ყველაზე საიმედო წყაროდ. იგი შემდეგნაირად ფუნქციონირებს. პირველადი ქსელის გამართული ძაბვა მიეწოდება პირველ გარდამტნებლს (ძგ1). ეს გარდამტნები მაღალი დონის გამართულ (მუდმივ) ძაბვას გარდამწნის შედარებით დაბალი დონის მუდმივ ძაბვად (DC-DC გარდამტნები). ამ გარდამტნებითავ მიერთებულია მეორე გარდამტნები (ძგ2), რომელიც მუშაობს დენის ინგენიერების რეჟიმში. იგი გარდაქნის პირველი გარდამტნების გამოსავალ მუდმივ ძაბვას და დატვირთვას აწვდის ცვლად ძაბვას (სურ 6.4).



სურ. 6.4. On-Line ტიპის უპყ-ს არქიტექტურა

ინვერტორულ რეჟიმში მომუშავე ძაბვის გარდამტნები (ძგ2) ენერგიას ღებულობს ძგ1 გარდამტნებითან პარალელურად მიერთებული აკუმულატორიდან. კერძოდ:

- როდესაც პირველადი ქსელის ძაბვა ნორმის ფარგლებშია, მაშინ ინვერტორი (ძგ2) იკვებება გამმართველიდან (ძგ1-ის გაცვლით);

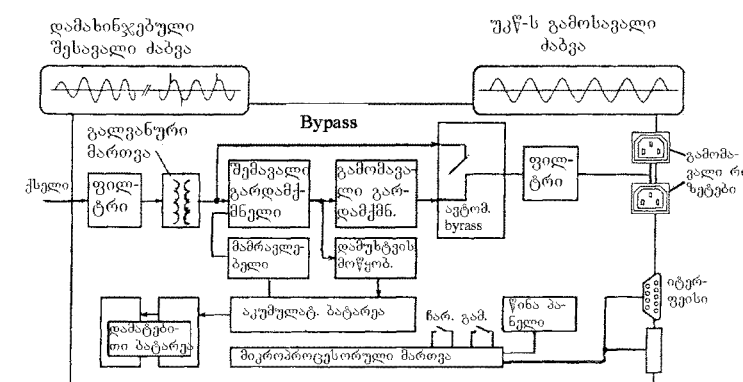
- პირველადი ქსელის ძაბვის პარამეტრების ნორმიდან გადახრის დროს ინვერტორის შესასვლელს ძაბვას აწვდის აკუმულატორის ბატარეა.

5 კვა-მდე სიმძლავრის უპყ-ებში ინვერტორთან მიერთებული აკუმულატორის ნაცვლად, სქემაში ჩართულია მუდმივი დენის სარგენტოვო გარდამტნები (DC-DC კონვენტორი), რომელიც ამოქმედდება პირველად ქსელში წარმოშნილი შეფერხებების დროს და ახდენს დაბალძაბვიანი აკუმულატორის ბატარეას დუბლირებას.

On-Line არქიტექტურა ითვლისწინებს შემოსაცვლელ წრედსაც (bypass), რომელიც პირველად ქსელთან დატვირთვის უშუალო მიერთების საშუალებას იძლევა, ე.ი. ამ წრედით შექმნილია დატვირთვაში ენერგიის გადაცემის დამატებითი არხი. On-Line რეჟიმში გადართვა ხდება აგრძომატურად, გამოსავალი ძაბვების პარამეტრების ნორმის ფარგლებიდან გადახრის ან აგარიული რეჟიმის შემთხვევაში.

On-Line არქიტექტურის უპყ-ის მიერ დატვირთვისადმი გადაცემული ენერგიის ხარისხი და მუშაობის სამედოობა მნიშვნელოვნად აძლევატება ადრე განხილული უპყ-ების იგივე მაჩვენებლებს. პირველადი ქსელის ძაბვების პარამეტრების ნორმიდან მნიშვნელოვნანი გადახრების დროს წყაროს გამოისახვლელზე მიღებული ძაბვა არ გამოდის ნომინალური მნიშვნელობის $\pm 1\ldots 3\%$ ფარგლებს გარეთ.

გავეცნოთ On-Line უპყ-ს მუშაობის პრინციპს IMV ფირმის NetPro სერიის აპარატის ბლოკ-სქემის მაგალითზე (სურ. 6.5).



სურ. 6.5. NetPro (IMV) კვების წყაროს ბლოკ-სქემა

ძაბგის მეორე გარდამქნელი (ინვერტორი) მუდმივად უუნქციონირებს და გამოიმუშავებს სტაბილური ამპლიტუდისა (ნორმალური მნიშვნელობიდან გადახრა არ აღემატება 2%) და სისტემის ცვლად ძაბგას, რომელიც არ არის დამოკიდებული ჰპტ-ს მუშაობის რეეიმზე (ქსელი, აკუმულატორი), აგრეთვე პირველადი ქსელის ძაბგის პარამეტრების ცვალებადობაზე.

NetPro სერიის ჸპტ-ს ქსელია მოახდინოს გამოსავალი სინუსოიდური ძაბგის დამოკიდებული სინოუზი, იყნებს რა ამ ღროს პირველადი ქსელის ან აკუმულატორის ქნერგიას. მხოლოდ, ამ შემთხვევაში, შემოსავლები წრედის (bypass) ფუნქციონირება აქრძალულია. ზემოაღნიშული განსაკუთრებით მნიშვნელოვანია იმ შემთხვევაში, როდესაც უპტ უკრთდება ელექტროკების ავტონომურ წყაროს (მაგალითად, დიზელ-გენერატორს) ან უაღრესად არასტაბილურ პარამეტრებიან ცვლადი ძაბგის ქსელს.

გამომავალი გარდამქნელის (ინვერტორის) გარდა ჸპტ-ს შემადგენლობაშია:

- აკუმულატორის ბატარეიის ძაბგის მამრავლებული, რომელიც აკუმულატორის ბატარეიის ძაბგას ამაღლებს პირველი გარდამქნელის (შემავალი გარდამქნელი)

- შემავალი გარდამქნელი (პირველი გარდამქნელი). ეს გარდამქნელი წარმოადგენს ქნერგიის გარდაქმნის ჯაჭვის განუყოფელ ნაწილს. მას შემდეგი ფუნქციების შესრულება უხდება: ქსელის ცვლადი ძაბგის გამართვა და გაგლუვება, გამმართველის ან მამრავლებლის ძაბგის სტაბილიზაცია, სიმძლავრის კოეფიციენტის კორექცია;

- დამშეტავი მოწყობილობა. იგი ახდენს აკუმულატორის ბატარეიის არა მარტო შემუხტგას, არამედ გამოიყენება მთელი ჸპტ-ს შიგა წრედების კვებისათვის;

- დაცვის ეკანი, რომელიც ანხორციელებს ჸპტ-ს დაბრკოლებებისაგან და გადამეტ-ძაბგებისაგან დაცვას. უპტ-ს შესასვლელზე და გამოსასვლელზე ჩართულია: დნობადი მცველი, *LC*-ფილტრი, ვარისტორი, განმეობრებული;

- შემოსავლები წრედის საღრე (bypass), რომელსაც აკისრია ჸპტ-ს მუშაობის საიმედოობის გაზრდა.

ჸპტ-ს ცვლა გარდამქნელი მუშაობს განედურ-იმპულსური მოდულაციის პრინციპზე 30...70 ჯეტ სისტემებზე და ჩაირთვებიან მიკროპროცესორიდან გაცემული ბრძანებით.

ლიტერატურა

1. Микросхемы для импульсных источников питания и их применению- М. Додека, 1997.
2. Д.П. Кучеров. Источники питания ПК и периферии.-наука и техника, Санкт-Петербург,2005.
3. Б.Ю. Семенов. Силовая электроника для любителей и профессионалов.-М СОЛОН-Р, 2001.
4. Колесниченко О.В, Шишигин И.В, Обрученков В.А. Интегральные микросхемы зарубежной бытовой видеопартируры. Справочное пособие. Сант-Петербург., 1996.

| | |
|---|----|
| შესაბამისობა..... | 3 |
| 1. მეორეული მლექორცვების წყაროების აგენტის პრინციპები | 5 |
| 1.1. მეორეული კლექტორების წყაროების კლასიფიკაცია | 5 |
| 1.2. მეორეული მართვადი მახასიათებლები | 6 |
| 1.3. მეორეული ტიპები სტრუქტურული სქემები | 10 |
| 2. ძაბვის სტაბილიზატორები და მათი შესაბამის სემინარი | 14 |
| 2.1 სტაბილიზატორების სახეები, მახასიათებლები და პარამეტრები | 14 |
| 2.2. ძაბვის პარამეტრული სტაბილიზატორები | 16 |
| 2.3. ძაბვის კომპენსაციური სტაბილიზატორები | 26 |
| 2.3.1. კომპენსაციური სტაბილიზატორების მუშაობის ზოგადი საკითხები | 26 |
| 2.3.2. უწყვეტი ქმედების ძაბვის კომპენსაციური სტაბილიზატორები | 28 |
| 2.3.3. უწყვეტი ქმედების ძაბვის სტაბილიზატორიანი კების ბლოკის მაგალითი | 32 |
| 3. მლექტორცვების იმპულსური წყაროები | 34 |
| 3.1. კლექტორების იმპულსური წყაროების სახეები და მუშაობის თავისებურებები | 34 |
| 3.2. ძაბვის იმპულსური სტაბილიზატორები | 38 |
| 3.2.1. ძაბვის დამადაბლებელი იმპულსური სტაბილიზატორი | 38 |
| 3.2.1.1. ძაბვის დამადაბლებელი იმპულსური სტაბილიზატორის რეგულირების მახასიათებლები | 45 |
| 3.2.1.2. ძაბვის დამადაბლებელი იმპულსური სტაბილიზატორის დროსედის დაპრეცენტება | 46 |
| 3.2.2. ძაბვის ამამაღლებელი იმპულსური სტაბილიზატორი | 48 |
| 3.2.2.1. ძაბვის ამამაღლებელი იმპულსური სტაბილიზატორის სქემის კლემების პარამეტრების განსაზღვრა | 50 |
| 3.2.2.2. ძაბვის ამამაღლებელი იმპულსური სტაბილიზატორის რეგულირების მახასიათებლები | 52 |
| 3.2.2.3. ძაბვის ამამაღლებელი იმპულსური სტაბილიზატორის დროსედის დაპრეცენტება | 53 |
| 3.2.3. ძაბვის მაინვერსირებელი იმპულსური სტაბილიზატორი | 56 |
| 3.2.4. მიკროსქემები ძაბვის იმპულსური სტაბილიზატორებისათვის | 58 |
| 3.3. ტრანსფორმატორული იმპულსური გარდამქნელები | 63 |
| 3.3.1. ერთაქტიანი იმპულსური გარდამქნელების მუშაობის ზოგადი საკითხები | 63 |

| | |
|--|-----|
| 33.2. ძალური ტრანსსტორული გასაღების პოტენციალური გარდამჟანება დაცვა | 66 |
| 33.3. ტრანსფორმატორული ერთაქტიანი იმპულსური გარდამქნელები | 67 |
| 33.4. ერთაქტიანი იმპულსური გარდამქნელების მართვის მიკროსქემები | 71 |
| 33.5. ორტაქტიანი იმპულსური გარდამქნელები | 75 |
| 33.5.1. ორტაქტიანი იმპულსური გარდამქნელების ბაზისური სქემები | 75 |
| 33.5.2. ორტაქტიანი იმპულსური გარდამქნელების მართვის ინტეგრალური მიკროსქემები | 84 |
| 34. სიმძლავრის კოფიციენტის იმპულსური კორექტორები | 90 |
| 34.1. სიმძლავრის კოფიციენტი და მისი როლი იმპულსური კების წყაროებში | 90 |
| 34.2. სიმძლავრის კოფიციენტის კლექტორული კორექტორები | 91 |
| 4. ლაუმინეცენციური ნაიურმბის მლექტოროული ბალასტი | 100 |
| 5. პერსონალური კომპიუტერების კვების ბლოკები | 106 |
| 5.1. სისტემური მოდულის კების წყაროები. ზოგადი ცნობები | 106 |
| 5.2. კომპიუტერის სისტემური მოდულის კების წყაროს ფუნქციური კვანძები | 108 |
| 5.3. მონიტორების კების წყაროები | 113 |
| 5.3.1. მონიტორების ფუნქციონირების ზოგადი საკითხები | 113 |
| 5.3.2. მონიტორების კების წყაროების სქემოტექნიკური თავისებურებები | 114 |
| 6. უფავეტი კვების წყაროები (UPS) | 116 |
| 6.1. უწყვეტი კების წყაროების კლასიფიკაცია და მუშაობის პრინციპი | 116 |
| 6.1.1. Of-Line ტიპის უწყვეტი კების წყაროები | 116 |
| 6.1.2. Line-Interactive ტიპის უწყვეტი კების წყაროები | 117 |
| 6.1.3. ON-Line უწყვეტი კების წყაროები | 119 |
| ლიტერატურა | 122 |